Ein und Ausgabe:
Farbmetrisches Drucker-Reflektiv-System ORS20_95a
Daten für jede Farbe:
u^*_e und Nummer *Nr.* = 00 .. 15
Elementar-Bunttontext:
u^*_e = 16 Bunttoene *r00j, r25j, ..., b75r*
Kontrastreduzierungsfaktor:
c_R = 1.0

ORS20_95a; adaptierte CIELAB-Daten

u^*_e	$L^*=L^*_a$	a^*_a	b^*_a	$C^*_{ab,a}$	$h^*_{ab,a}$	u^*_d
r00j	47.06	67.41	32.12	74.67	25	*m84o*
r25j	53.95	53.38	48.38	72.04	42	*o17y*
r50j	63.6	35.87	59.45	69.43	59	*o42y*
r75j	73.37	18.14	70.66	72.95	76	*o68y*
j00g	85.24	−3.4	84.28	84.35	92	*o93y*
j25g	78.53	−25.99	72.23	76.76	110	*y24l*
j50g	68.25	−42.61	56.0	70.37	127	*y55l*
j75g	58.73	−57.99	40.99	71.02	145	*y85l*
g00b	55.66	−58.35	18.71	61.27	162	*l12c*
g25b	58.18	−46.2	−7.82	46.86	190	*l45c*
g50b	60.08	−37.02	−27.87	46.34	217	*l78c*
g75b	55.21	−20.63	−42.98	47.67	244	*c16v*
b00r	41.38	1.37	−45.05	45.07	272	*c58v*
b25r	26.43	27.03	−46.5	53.78	300	*v03m*
b50r	36.22	48.22	−29.42	56.48	329	*v54m*
b75r	47.81	72.75	−3.76	72.85	357	*m10o*

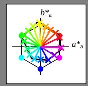

%Umfang
u^*_{rel} = 87
%Regularität
$g^*_{H,rel}$ = 67
$g^*_{C,rel}$ = 59

ORS20_95a; adaptierte CIELAB-Daten

Name	$L^*=L^*_a$	a^*_a	b^*_a	$C^*_{ab,a}$	$h^*_{ab,a}$
O_{Ma}	46.89	66.19	40.28	77.48	31
Y_{Ma}	88.66	−9.62	88.21	88.73	96
L_{Ma}	54.22	−65.29	33.87	73.56	153
C_{Ma}	61.43	−30.53	−42.04	51.96	234
V_{Ma}	25.93	25.95	−47.37	54.01	299
M_{Ma}	47.92	73.53	−9.02	74.08	353
N_{Ma}	20.41	0.0	0.0	0.0	0
W_{Ma}	94.64	0.0	0.0	0.0	0
R_{CIE}	39.92	58.74	27.99	65.07	25
J_{CIE}	81.26	−2.89	71.56	71.62	92
G_{CIE}	52.23	−42.42	13.6	44.55	162
B_{CIE}	30.57	1.41	−46.47	46.49	272

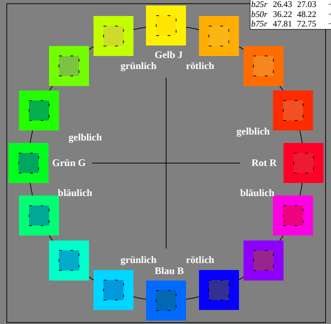

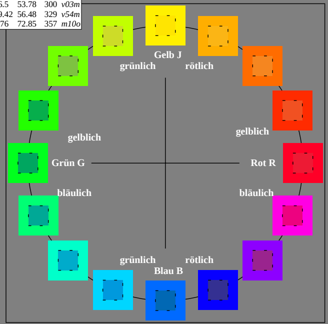

Ein und Ausgabe: Farbmetrisches Drucker-Reflektiv-System ORS20_95, L*=20_95 für relativen CIELAB-Buntton h^* = *lab*h = h_{ab}/360 = 0.071 u^*_e = *r00j***
Daten für jede Farbe:
lab*tch** und *lab*icu*
Bunttontexte:
u^*_e = *r00j* u^*_d = *m84o*
Kontrastreduzierungsfaktor:
c_R = 1.0
Dreiecks-Helligkeit *t**

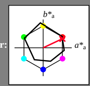

ORS20_95a; adaptierte CIELAB-Daten

u^*_e	$L^*=L^*_a$	a^*_a	b^*_a	$C^*_{ab,a}$	$h^*_{ab,a}$
O_{Ma}	46.89	66.19	40.28	77.48	31
Y_{Ma}	88.66	−9.62	88.21	88.73	96
L_{Ma}	54.22	−65.29	33.87	73.56	153
C_{Ma}	61.43	−30.53	−42.04	51.96	234
V_{Ma}	25.93	25.95	−47.37	54.01	299
M_{Ma}	47.92	73.53	−9.02	74.08	353
N_{Ma}	20.41	0.0	0.0	0.0	0
W_{Ma}	94.64	0.0	0.0	0.0	0
R_{Ma}	39.92	58.74	27.99	65.07	25
J_{Ma}	81.26	−2.89	71.56	71.62	92
G_{Ma}	52.23	−42.42	13.6	44.55	162
B_{Ma}	30.57	1.41	−46.47	46.49	272

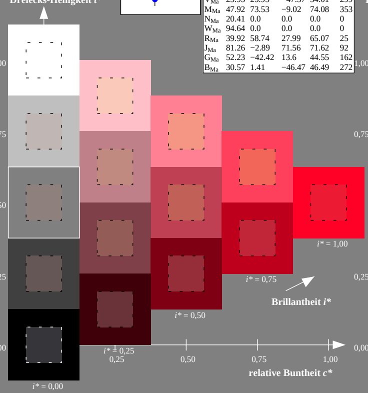

Daten für Maximalfarbe (Ma):
***LAB*LAB**$_{Ma}$: 47 67 32**
***LAB*LCH**$_{Ma}$: 47 75 25**
***lab*rgb**$_{Ma}$: 1.0 0.0 0.0**
***lab*olv**$_{Ma}$: 1.0 0.0 0.15**
Dreiecks-Helligkeit *t**

%Umfang
u^*_{rel} = 87
%Regularität
$g^*_{H,rel}$ = 67
$g^*_{C,rel}$ = 59

ORS20_95a; adaptierte CIELAB-Daten

u^*_e	$L^*=L^*_a$	a^*_a	b^*_a	$C^*_{ab,a}$	$h^*_{ab,a}$	u^*_d
r00j	47.06	67.41	32.12	74.67	25	*m84o*
r25j	53.95	53.38	48.38	72.04	42	*o17y*
r50j	63.6	35.87	59.45	69.43	59	*o42y*
r75j	73.37	18.14	70.66	72.95	76	*o68y*
j00g	85.24	−3.4	84.28	84.35	92	*o93y*
j25g	78.53	−25.99	72.23	76.76	110	*y24l*
j50g	68.25	−42.61	56.0	70.37	127	*y55l*
j75g	58.73	−57.99	40.99	71.02	145	*y85l*
g00b	55.66	−58.35	18.71	61.27	162	*l12c*
g25b	58.18	−46.2	−7.82	46.86	190	*l45c*
g50b	60.08	−37.02	−27.87	46.34	217	*l78c*
g75b	55.21	−20.63	−42.98	47.67	244	*c16v*
b00r	41.38	1.37	−45.05	45.07	272	*c58v*
b25r	26.43	27.03	−46.5	53.78	300	*v03m*
b50r	36.22	48.22	−29.42	56.48	329	*v54m*
b75r	47.81	72.75	−3.76	72.85	357	*m10o*

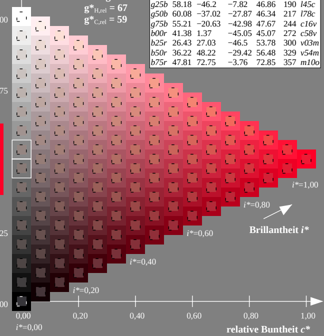

Ein und Ausgabe: Farbmetrisches Drucker-Reflektiv-System ORS20_95, L*=20_95 für relativen CIELAB-Buntton h^* = *lab*h = h_{ab}/360 = 0.117 u^*_e = *r25j***
Daten für jede Farbe:
lab*tch** und *lab*icu*
Bunttontexte:
u^*_e = *r25j* u^*_d = *o17y*
Kontrastreduzierungsfaktor:
c_R = 1.0
Dreiecks-Helligkeit *t**

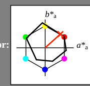

ORS20_95a; adaptierte CIELAB-Daten

u^*_e	$L^*=L^*_a$	a^*_a	b^*_a	$C^*_{ab,a}$	$h^*_{ab,a}$
O_{Ma}	46.89	66.19	40.28	77.48	31
Y_{Ma}	88.66	−9.62	88.21	88.73	96
L_{Ma}	54.22	−65.29	33.87	73.56	153
C_{Ma}	61.43	−30.53	−42.04	51.96	234
V_{Ma}	25.93	25.95	−47.37	54.01	299
M_{Ma}	47.92	73.53	−9.02	74.08	353
N_{Ma}	20.41	0.0	0.0	0.0	0
W_{Ma}	94.64	0.0	0.0	0.0	0
R_{Ma}	39.92	58.74	27.99	65.07	25
J_{Ma}	81.26	−2.89	71.56	71.62	92
G_{Ma}	52.23	−42.42	13.6	44.55	162
B_{Ma}	30.57	1.41	−46.47	46.49	272

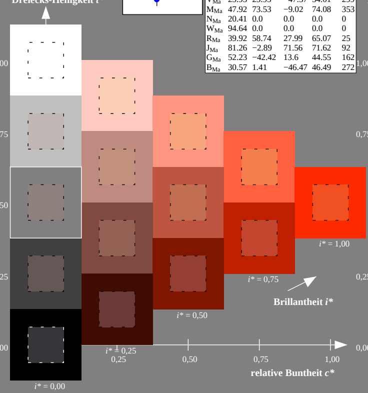

Daten für Maximalfarbe (Ma):
***LAB*LAB**$_{Ma}$: 54 53 48**
***LAB*LCH**$_{Ma}$: 54 72 42**
***lab*rgb**$_{Ma}$: 1.0 0.25 0.0**
***lab*olv**$_{Ma}$: 1.0 0.17 0.0**
Dreiecks-Helligkeit *t**

%Umfang
u^*_{rel} = 87
%Regularität
$g^*_{H,rel}$ = 67
$g^*_{C,rel}$ = 59

ORS20_95a; adaptierte CIELAB-Daten

u^*_e	$L^*=L^*_a$	a^*_a	b^*_a	$C^*_{ab,a}$	$h^*_{ab,a}$	u^*_d
r00j	47.06	67.41	32.12	74.67	25	*m84o*
r25j	53.95	53.38	48.38	72.04	42	*o17y*
r50j	63.6	35.87	59.45	69.43	59	*o42y*
r75j	73.37	18.14	70.66	72.95	76	*o68y*
j00g	85.24	−3.4	84.28	84.35	92	*o93y*
j25g	78.53	−25.99	72.23	76.76	110	*y24l*
j50g	68.25	−42.61	56.0	70.37	127	*y55l*
j75g	58.73	−57.99	40.99	71.02	145	*y85l*
g00b	55.66	−58.35	18.71	61.27	162	*l12c*
g25b	58.18	−46.2	−7.82	46.86	190	*l45c*
g50b	60.08	−37.02	−27.87	46.34	217	*l78c*
g75b	55.21	−20.63	−42.98	47.67	244	*c16v*
b00r	41.38	1.37	−45.05	45.07	272	*c58v*
b25r	26.43	27.03	−46.5	53.78	300	*v03m*
b50r	36.22	48.22	−29.42	56.48	329	*v54m*
b75r	47.81	72.75	−3.76	72.85	357	*m10o*

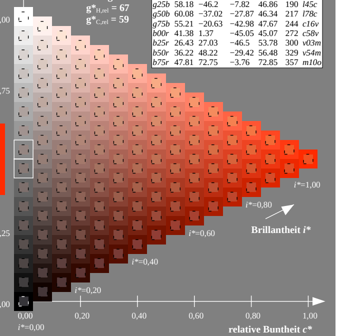

Ein und Ausgabe: Farbmetrisches Drucker-Reflektiv-System ORS20_95, L*=20_95 für relativen CIELAB-Buntton h^* = *lab*h = h_{ab}/360 = 0.164 u^*_e = *r50j***
Daten für jede Farbe:
lab*tch** und *lab*icu*
Bunttontexte:
u^*_e = *r50j* u^*_d = *o42y*
Kontrastreduzierungsfaktor:
c_R = 1.0
Dreiecks-Helligkeit *t**

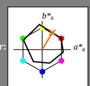

ORS20_95a; adaptierte CIELAB-Daten

u^*_e	$L^*=L^*_a$	a^*_a	b^*_a	$C^*_{ab,a}$	$h^*_{ab,a}$
O_{Ma}	46.89	66.19	40.28	77.48	31
Y_{Ma}	88.66	−9.62	88.21	88.73	96
L_{Ma}	54.22	−65.29	33.87	73.56	153
C_{Ma}	61.43	−30.53	−42.04	51.96	234
V_{Ma}	25.93	25.95	−47.37	54.01	299
M_{Ma}	47.92	73.53	−9.02	74.08	353
N_{Ma}	20.41	0.0	0.0	0.0	0
W_{Ma}	94.64	0.0	0.0	0.0	0
R_{Ma}	39.92	58.74	27.99	65.07	25
J_{Ma}	81.26	−2.89	71.56	71.62	92
G_{Ma}	52.23	−42.42	13.6	44.55	162
B_{Ma}	30.57	1.41	−46.47	46.49	272

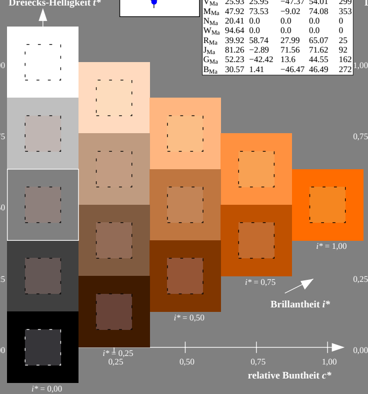

Daten für Maximalfarbe (Ma):
***LAB*LAB**$_{Ma}$: 64 36 59**
***LAB*LCH**$_{Ma}$: 64 69 58**
***lab*rgb**$_{Ma}$: 1.0 0.5 0.0**
***lab*olv**$_{Ma}$: 1.0 0.42 0.0**
Dreiecks-Helligkeit *t**

%Umfang
u^*_{rel} = 87
%Regularität
$g^*_{H,rel}$ = 67
$g^*_{C,rel}$ = 59

ORS20_95a; adaptierte CIELAB-Daten

u^*_e	$L^*=L^*_a$	a^*_a	b^*_a	$C^*_{ab,a}$	$h^*_{ab,a}$	u^*_d
r00j	47.06	67.41	32.12	74.67	25	*m84o*
r25j	53.95	53.38	48.38	72.04	42	*o17y*
r50j	63.6	35.87	59.45	69.43	59	*o42y*
r75j	73.37	18.14	70.66	72.95	76	*o68y*
j00g	85.24	−3.4	84.28	84.35	92	*o93y*
j25g	78.53	−25.99	72.23	76.76	110	*y24l*
j50g	68.25	−42.61	56.0	70.37	127	*y55l*
j75g	58.73	−57.99	40.99	71.02	145	*y85l*
g00b	55.66	−58.35	18.71	61.27	162	*l12c*
g25b	58.18	−46.2	−7.82	46.86	190	*l45c*
g50b	60.08	−37.02	−27.87	46.34	217	*l78c*
g75b	55.21	−20.63	−42.98	47.67	244	*c16v*
b00r	41.38	1.37	−45.05	45.07	272	*c58v*
b25r	26.43	27.03	−46.5	53.78	300	*v03m*
b50r	36.22	48.22	−29.42	56.48	329	*v54m*
b75r	47.81	72.75	−3.76	72.85	357	*m10o*

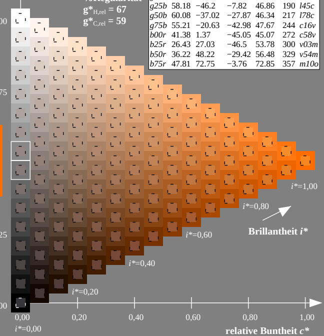

Ein und Ausgabe: Farbmetrisches Drucker-Reflektiv-System ORS20_95, L*=20_95 für relativen CIELAB-Buntton h^* = *lab*h = h_{ab}/360 = 0.21 u^*_e = *r75j***
Daten für jede Farbe:
lab*tch** und *lab*icu*
Bunttontexte:
u^*_e = *r75j* u^*_d = *o68y*
Kontrastreduzierungsfaktor:
c_R = 1.0
Dreiecks-Helligkeit *t**

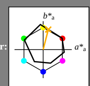

ORS20_95a; adaptierte CIELAB-Daten

u^*_e	$L^*=L^*_a$	a^*_a	b^*_a	$C^*_{ab,a}$	$h^*_{ab,a}$
O_{Ma}	46.89	66.19	40.28	77.48	31
Y_{Ma}	88.66	−9.62	88.21	88.73	96
L_{Ma}	54.22	−65.29	33.87	73.56	153
C_{Ma}	61.43	−30.53	−42.04	51.96	234
V_{Ma}	25.93	25.95	−47.37	54.01	299
M_{Ma}	47.92	73.53	−9.02	74.08	353
N_{Ma}	20.41	0.0	0.0	0.0	0
W_{Ma}	94.64	0.0	0.0	0.0	0
R_{Ma}	39.92	58.74	27.99	65.07	25
J_{Ma}	81.26	−2.89	71.56	71.62	92
G_{Ma}	52.23	−42.42	13.6	44.55	162
B_{Ma}	30.57	1.41	−46.47	46.49	272

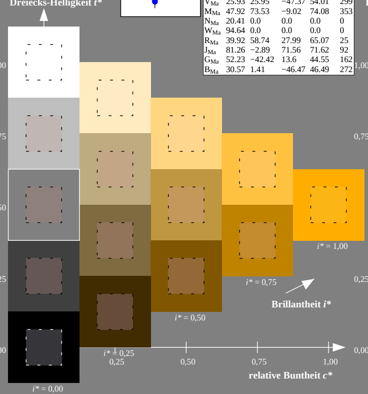

Daten für Maximalfarbe (Ma):
***LAB*LAB**$_{Ma}$: 73 18 71**
***LAB*LCH**$_{Ma}$: 73 73 75**
***lab*rgb**$_{Ma}$: 1.0 0.75 0.0**
***lab*olv**$_{Ma}$: 1.0 0.68 0.0**
Dreiecks-Helligkeit *t**

%Umfang
u^*_{rel} = 87
%Regularität
$g^*_{H,rel}$ = 67
$g^*_{C,rel}$ = 59

ORS20_95a; adaptierte CIELAB-Daten

u^*_e	$L^*=L^*_a$	a^*_a	b^*_a	$C^*_{ab,a}$	$h^*_{ab,a}$	u^*_d
r00j	47.06	67.41	32.12	74.67	25	*m84o*
r25j	53.95	53.38	48.38	72.04	42	*o17y*
r50j	63.6	35.87	59.45	69.43	59	*o42y*
r75j	73.37	18.14	70.66	72.95	76	*o68y*
j00g	85.24	−3.4	84.28	84.35	92	*o93y*
j25g	78.53	−25.99	72.23	76.76	110	*y24l*
j50g	68.25	−42.61	56.0	70.37	127	*y55l*
j75g	58.73	−57.99	40.99	71.02	145	*y85l*
g00b	55.66	−58.35	18.71	61.27	162	*l12c*
g25b	58.18	−46.2	−7.82	46.86	190	*l45c*
g50b	60.08	−37.02	−27.87	46.34	217	*l78c*
g75b	55.21	−20.63	−42.98	47.67	244	*c16v*
b00r	41.38	1.37	−45.05	45.07	272	*c58v*
b25r	26.43	27.03	−46.5	53.78	300	*v03m*
b50r	36.22	48.22	−29.42	56.48	329	*v54m*
b75r	47.81	72.75	−3.76	72.85	357	*m10o*

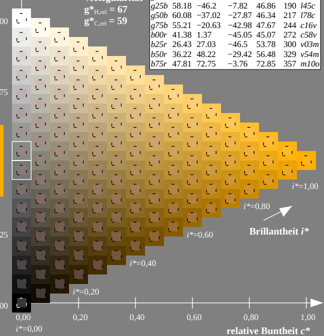

Ein und Ausgabe: Farbmetrisches Drucker-Reflektiv-System ORS20_95, L*=20_95 für relativen CIELAB-Buntton h^* = *lab*h = h_{ab}/360 = 0.256 u^*_e = *j00g***
Daten für jede Farbe:
lab*tch** und *lab*icu*
Bunttontexte:
u^*_e = *j00g* u^*_d = *o93y*
Kontrastreduzierungsfaktor:
c_R = 1.0
Dreiecks-Helligkeit *t**

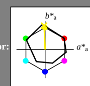

ORS20_95a; adaptierte CIELAB-Daten

u^*_e	$L^*=L^*_a$	a^*_a	b^*_a	$C^*_{ab,a}$	$h^*_{ab,a}$
O_{Ma}	46.89	66.19	40.28	77.48	31
Y_{Ma}	88.66	−9.62	88.21	88.73	96
L_{Ma}	54.22	−65.29	33.87	73.56	153
C_{Ma}	61.43	−30.53	−42.04	51.96	234
V_{Ma}	25.93	25.95	−47.37	54.01	299
M_{Ma}	47.92	73.53	−9.02	74.08	353
N_{Ma}	20.41	0.0	0.0	0.0	0
W_{Ma}	94.64	0.0	0.0	0.0	0
R_{Ma}	39.92	58.74	27.99	65.07	25
J_{Ma}	81.26	−2.89	71.56	71.62	92
G_{Ma}	52.23	−42.42	13.6	44.55	162
B_{Ma}	30.57	1.41	−46.47	46.49	272

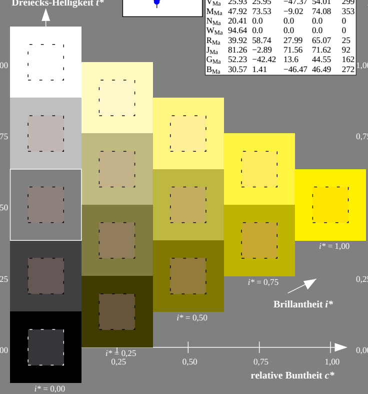

Daten für Maximalfarbe (Ma):
***LAB*LAB**$_{Ma}$: 85 −3 84**
***LAB*LCH**$_{Ma}$: 85 84 92**
***lab*rgb**$_{Ma}$: 1.0 1.0 0.0**
***lab*olv**$_{Ma}$: 1.0 0.94 0.0**
Dreiecks-Helligkeit *t**

%Umfang
u^*_{rel} = 87
%Regularität
$g^*_{H,rel}$ = 67
$g^*_{C,rel}$ = 59

ORS20_95a; adaptierte CIELAB-Daten

u^*_e	$L^*=L^*_a$	a^*_a	b^*_a	$C^*_{ab,a}$	$h^*_{ab,a}$	u^*_d
r00j	47.06	67.41	32.12	74.67	25	*m84o*
r25j	53.95	53.38	48.38	72.04	42	*o17y*
r50j	63.6	35.87	59.45	69.43	59	*o42y*
r75j	73.37	18.14	70.66	72.95	76	*o68y*
j00g	85.24	−3.4	84.28	84.35	92	*o93y*
j25g	78.53	−25.99	72.23	76.76	110	*y24l*
j50g	68.25	−42.61	56.0	70.37	127	*y55l*
j75g	58.73	−57.99	40.99	71.02	145	*y85l*
g00b	55.66	−58.35	18.71	61.27	162	*l12c*
g25b	58.18	−46.2	−7.82	46.86	190	*l45c*
g50b	60.08	−37.02	−27.87	46.34	217	*l78c*
g75b	55.21	−20.63	−42.98	47.67	244	*c16v*
b00r	41.38	1.37	−45.05	45.07	272	*c58v*
b25r	26.43	27.03	−46.5	53.78	300	*v03m*
b50r	36.22	48.22	−29.42	56.48	329	*v54m*
b75r	47.81	72.75	−3.76	72.85	357	*m10o*

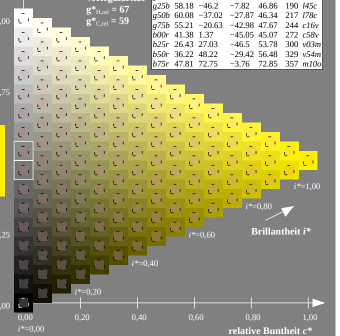

Ein und Ausgabe: Farbmetrisches Drucker-Reflektiv-System ORS20_95, L*=20_95 für relativen CIELAB-Buntton h^* = *lab*h = h_{ab}/360 = 0.305 u^*_e = *j25g***
Daten für jede Farbe:
lab*tch** und *lab*icu*
Bunttontexte:
u^*_e = *j25g* u^*_d = *y24l*
Kontrastreduzierungsfaktor:
c_R = 1.0
Dreiecks-Helligkeit *t**

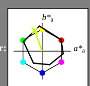

ORS20_95a; adaptierte CIELAB-Daten

u^*_e	$L^*=L^*_a$	a^*_a	b^*_a	$C^*_{ab,a}$	$h^*_{ab,a}$
O_{Ma}	46.89	66.19	40.28	77.48	31
Y_{Ma}	88.66	−9.62	88.21	88.73	96
L_{Ma}	54.22	−65.29	33.87	73.56	153
C_{Ma}	61.43	−30.53	−42.04	51.96	234
V_{Ma}	25.93	25.95	−47.37	54.01	299
M_{Ma}	47.92	73.53	−9.02	74.08	353
N_{Ma}	20.41	0.0	0.0	0.0	0
W_{Ma}	94.64	0.0	0.0	0.0	0
R_{Ma}	39.92	58.74	27.99	65.07	25
J_{Ma}	81.26	−2.89	71.56	71.62	92
G_{Ma}	52.23	−42.42	13.6	44.55	162
B_{Ma}	30.57	1.41	−46.47	46.49	272

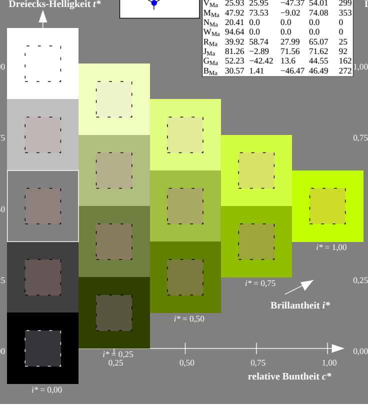

Daten für Maximalfarbe (Ma):
***LAB*LAB**$_{Ma}$: 79 −26 72**
***LAB*LCH**$_{Ma}$: 79 77 109**
***lab*rgb**$_{Ma}$: 0.75 1.0 0.0**
***lab*olv**$_{Ma}$: 0.76 1.0 0.0**
Dreiecks-Helligkeit *t**

%Umfang
u^*_{rel} = 87
%Regularität
$g^*_{H,rel}$ = 67
$g^*_{C,rel}$ = 59

ORS20_95a; adaptierte CIELAB-Daten

u^*_e	$L^*=L^*_a$	a^*_a	b^*_a	$C^*_{ab,a}$	$h^*_{ab,a}$	u^*_d
r00j	47.06	67.41	32.12	74.67	25	*m84o*
r25j	53.95	53.38	48.38	72.04	42	*o17y*
r50j	63.6	35.87	59.45	69.43	59	*o42y*
r75j	73.37	18.14	70.66	72.95	76	*o68y*
j00g	85.24	−3.4	84.28	84.35	92	*o93y*
j25g	78.53	−25.99	72.23	76.76	110	*y24l*
j50g	68.25	−42.61	56.0	70.37	127	*y55l*
j75g	58.73	−57.99	40.99	71.02	145	*y85l*
g00b	55.66	−58.35	18.71	61.27	162	*l12c*
g25b	58.18	−46.2	−7.82	46.86	190	*l45c*
g50b	60.08	−37.02	−27.87	46.34	217	*l78c*
g75b	55.21	−20.63	−42.98	47.67	244	*c16v*
b00r	41.38	1.37	−45.05	45.07	272	*c58v*
b25r	26.43	27.03	−46.5	53.78	300	*v03m*
b50r	36.22	48.22	−29.42	56.48	329	*v54m*
b75r	47.81	72.75	−3.76	72.85	357	*m10o*

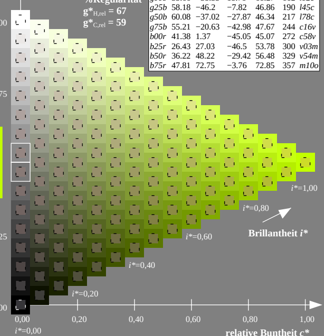

Ein und Ausgabe: Farbmetrisches Drucker-Reflektiv-System ORS20_95, L*=20_95 für relativen CIELAB-Buntton h^* = *lab*h = h_{ab}/360 = 0.354 u^*_e = *j50g***
Daten für jede Farbe:
lab*tch** und *lab*icu*
Bunttontexte:
u^*_e = *j50g* u^*_d = *y55l*
Kontrastreduzierungsfaktor:
c_R = 1.0
Dreiecks-Helligkeit *t**

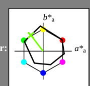

ORS20_95a; adaptierte CIELAB-Daten

u^*_e	$L^*=L^*_a$	a^*_a	b^*_a	$C^*_{ab,a}$	$h^*_{ab,a}$
O_{Ma}	46.89	66.19	40.28	77.48	31
Y_{Ma}	88.66	−9.62	88.21	88.73	96
L_{Ma}	54.22	−65.29	33.87	73.56	153
C_{Ma}	61.43	−30.53	−42.04	51.96	234
V_{Ma}	25.93	25.95	−47.37	54.01	299
M_{Ma}	47.92	73.53	−9.02	74.08	353
N_{Ma}	20.41	0.0	0.0	0.0	0
W_{Ma}	94.64	0.0	0.0	0.0	0
R_{Ma}	39.92	58.74	27.99	65.07	25
J_{Ma}	81.26	−2.89	71.56	71.62	92
G_{Ma}	52.23	−42.42	13.6	44.55	162
B_{Ma}	30.57	1.41	−46.47	46.49	272

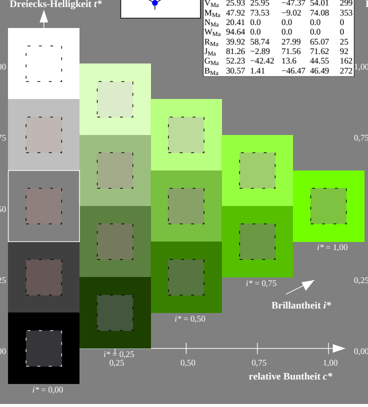

Daten für Maximalfarbe (Ma):
***LAB*LAB**$_{Ma}$: 68 −43 56**
***LAB*LCH**$_{Ma}$: 68 70 127**
***lab*rgb**$_{Ma}$: 0.5 1.0 0.0**
***lab*olv**$_{Ma}$: 0.45 1.0 0.0**
Dreiecks-Helligkeit *t**

%Umfang
u^*_{rel} = 87
%Regularität
$g^*_{H,rel}$ = 67
$g^*_{C,rel}$ = 59

ORS20_95a; adaptierte CIELAB-Daten

u^*_e	$L^*=L^*_a$	a^*_a	b^*_a	$C^*_{ab,a}$	$h^*_{ab,a}$	u^*_d
r00j	47.06	67.41	32.12	74.67	25	*m84o*
r25j	53.95	53.38	48.38	72.04	42	*o17y*
r50j	63.6	35.87	59.45	69.43	59	*o42y*
r75j	73.37	18.14	70.66	72.95	76	*o68y*
j00g	85.24	−3.4	84.28	84.35	92	*o93y*
j25g	78.53	−25.99	72.23	76.76	110	*y24l*
j50g	68.25	−42.61	56.0	70.37	127	*y55l*
j75g	58.73	−57.99	40.99	71.02	145	*y85l*
g00b	55.66	−58.35	18.71	61.27	162	*l12c*
g25b	58.18	−46.2	−7.82	46.86	190	*l45c*
g50b	60.08	−37.02	−27.87	46.34	217	*l78c*
g75b	55.21	−20.63	−42.98	47.67	244	*c16v*
b00r	41.38	1.37	−45.05	45.07	272	*c58v*
b25r	26.43	27.03	−46.5	53.78	300	*v03m*
b50r	36.22	48.22	−29.42	56.48	329	*v54m*
b75r	47.81	72.75	−3.76	72.85	357	*m10o*

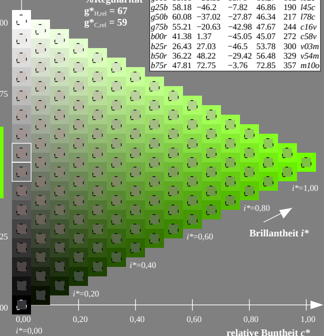

Ein und Ausgabe: Farbmetrisches Drucker-Reflektiv-System ORS20_95, L*=20_95 für relativen CIELAB-Buntton h^* = *lab*h = h_{ab}/360 = 0.402 u^*_e = *j75g***
Daten für jede Farbe:
lab*tch** und *lab*icu*
Bunttontexte:
u^*_e = *j75g* u^*_d = *y85l*
Kontrastreduzierungsfaktor:
c_R = 1.0
Dreiecks-Helligkeit *t**

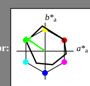

ORS20_95a; adaptierte CIELAB-Daten

u^*_e	$L^*=L^*_a$	a^*_a	b^*_a	$C^*_{ab,a}$	$h^*_{ab,a}$
O_{Ma}	46.89	66.19	40.28	77.48	31
Y_{Ma}	88.66	−9.62	88.21	88.73	96
L_{Ma}	54.22	−65.29	33.87	73.56	153
C_{Ma}	61.43	−30.53	−42.04	51.96	234
V_{Ma}	25.93	25.95	−47.37	54.01	299
M_{Ma}	47.92	73.53	−9.02	74.08	353
N_{Ma}	20.41	0.0	0.0	0.0	0
W_{Ma}	94.64	0.0	0.0	0.0	0
R_{Ma}	39.92	58.74	27.99	65.07	25
J_{Ma}	81.26	−2.89	71.56	71.62	92
G_{Ma}	52.23	−42.42	13.6	44.55	162
B_{Ma}	30.57	1.41	−46.47	46.49	272

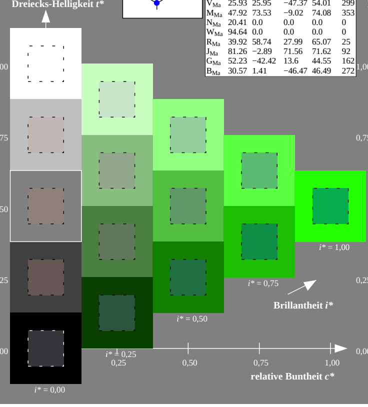

Daten für Maximalfarbe (Ma):
***LAB*LAB**$_{Ma}$: 59 −58 41**
***LAB*LCH**$_{Ma}$: 59 71 144**
***lab*rgb**$_{Ma}$: 0.25 1.0 0.0**
***lab*olv**$_{Ma}$: 0.14 1.0 0.0**
Dreiecks-Helligkeit *t**

%Umfang
u^*_{rel} = 87
%Regularität
$g^*_{H,rel}$ = 67
$g^*_{C,rel}$ = 59

ORS20_95a; adaptierte CIELAB-Daten

u^*_e	$L^*=L^*_a$	a^*_a	b^*_a	$C^*_{ab,a}$	$h^*_{ab,a}$	u^*_d
r00j	47.06	67.41	32.12	74.67	25	*m84o*
r25j	53.95	53.38	48.38	72.04	42	*o17y*
r50j	63.6	35.87	59.45	69.43	59	*o42y*
r75j	73.37	18.14	70.66	72.95	76	*o68y*
j00g	85.24	−3.4	84.28	84.35	92	*o93y*
j25g	78.53	−25.99	72.23	76.76	110	*y24l*
j50g	68.25	−42.61	56.0	70.37	127	*y55l*
j75g	58.73	−57.99	40.99	71.02	145	*y85l*
g00b	55.66	−58.35	18.71	61.27	162	*l12c*
g25b	58.18	−46.2	−7.82	46.86	190	*l45c*
g50b	60.08	−37.02	−27.87	46.34	217	*l78c*
g75b	55.21	−20.63	−42.98	47.67	244	*c16v*
b00r	41.38	1.37	−45.05	45.07	272	*c58v*
b25r	26.43	27.03	−46.5	53.78	300	*v03m*
b50r	36.22	48.22	−29.42	56.48	329	*v54m*
b75r	47.81	72.75	−3.76	72.85	357	*m10o*

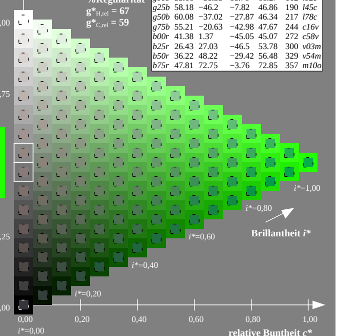

Ein und Ausgabe:
Farbmetrisches Drucker-Reflektiv-System ORS20_95a
Daten für jede Farbe:
u^*_e und Nummer *Nr.* = 00 .. 15
Elementar-Bunttontext:
u^*_e = 16 Bunttoene *r00j, r25j, ..., b75r*
Kontrastreduzierungsfaktor:
c_R = 1.0

ORS20_95a; adaptierte CIELAB-Daten

u^*_e	$L^*=L^*_a$	a^*_a	b^*_a	$C^*_{ab,a}$	$h^*_{ab,a}$	u^*_d
r00j	47.06	67.41	32.12	74.67	25	*m84o*
r25j	53.95	53.38	48.38	72.04	42	*o17y*
r50j	63.6	35.87	59.45	69.43	59	*o42y*
r75j	73.37	18.14	70.66	72.95	76	*o68y*
j00g	85.24	−3.4	84.28	84.35	92	*o93y*
j25g	78.53	−25.99	72.23	76.76	110	*y24l*
j50g	68.25	−42.61	56.0	70.37	127	*y55l*
j75g	58.73	−57.99	40.99	71.02	145	*y85l*
g00b	55.66	−58.35	18.71	61.27	162	*l12c*
g25b	58.18	−46.2	−7.82	46.86	190	*l45c*
g50b	60.08	−37.02	−27.87	46.34	217	*l78c*
g75b	55.21	−20.63	−42.98	47.67	244	*c16v*
b00r	41.38	1.37	−45.05	45.07	272	*c58v*
b25r	26.43	27.03	−46.5	53.78	300	*v03m*
b50r	36.22	48.22	−29.42	56.48	329	*v54m*
b75r	47.81	72.75	−3.76	72.85	357	*m10o*

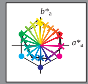

%Umfang
u^*_{rel} = 87
%Regularität
$g^*_{H,rel}$ = 67
$g^*_{C,rel}$ = 59

ORS20_95a; adaptierte CIELAB-Daten

Name	$L^*=L^*_a$	a^*_a	b^*_a	$C^*_{ab,a}$	$h^*_{ab,a}$
O_{Ma}	46.89	66.19	40.28	77.48	31
Y_{Ma}	88.66	−9.62	88.21	88.73	96
L_{Ma}	54.22	−65.29	33.87	73.56	153
C_{Ma}	61.43	−30.53	−42.04	51.96	234
V_{Ma}	25.93	25.95	−47.37	54.01	299
M_{Ma}	47.92	73.53	−9.02	74.08	353
N_{Ma}	20.41	0.0	0.0	0.0	0
W_{Ma}	94.64	0.0	0.0	0.0	0
R_{CIE}	39.92	58.74	27.99	65.07	25
J_{CIE}	81.26	−2.89	71.56	71.62	92
G_{CIE}	52.23	−42.42	13.6	44.55	162
B_{CIE}	30.57	1.41	−46.47	46.49	272

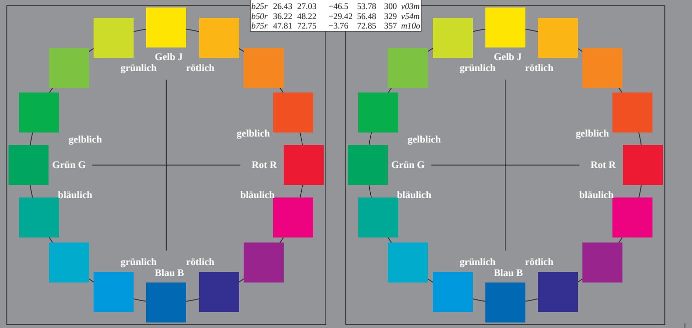

Ein und Ausgabe: Farbmetrisches Drucker-Reflektiv-System ORS20_95, L*=20_95 für relativen CIELAB-Buntton $h^* = lab^*h^* = h_{ab}/360 = 0.071$ $u^*_e = r00j$
Daten für jede Farbe:
*lab*tch** und *lab*icu**
Bunttontexte:
$u^*_e = r00j$ $u^*_d = m84o$
Kontrastreduzierungsfaktor:
c_R = 1.0
Dreiecks-Helligkeit t^*

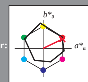

ORS20_95a; adaptierte CIELAB-Daten

u^*_e	$L^*=L^*_a$	a^*_a	b^*_a	$C^*_{ab,a}$	$h^*_{ab,a}$
O_{Ma}	46.89	66.19	40.28	77.48	31
Y_{Ma}	88.66	−9.62	88.21	88.73	96
L_{Ma}	54.22	−65.29	33.87	73.56	153
C_{Ma}	61.43	−30.53	−42.04	51.96	234
V_{Ma}	25.93	25.95	−47.37	54.01	299
M_{Ma}	47.92	73.53	−9.02	74.08	353
N_{Ma}	20.41	0.0	0.0	0.0	0
W_{Ma}	94.64	0.0	0.0	0.0	0
R_{Ma}	39.92	58.74	27.99	65.07	25
J_{Ma}	81.26	−2.89	71.56	71.62	92
G_{Ma}	52.23	−42.42	13.6	44.55	162
B_{Ma}	30.57	1.41	−46.47	46.49	272

Daten für Maximalfarbe (Ma):
*LAB*LAB**$_{Ma}$: 47 67 32
*LAB*LCH**$_{Ma}$: 47 75 25
*lab*rgb**$_{Ma}$: 1.0 0.0 0.0
*lab*olv**$_{Ma}$: 1.0 0.0 0.15
Dreiecks-Helligkeit t^*

%Umfang
u^*_{rel} = 87
%Regularität
$g^*_{H,rel}$ = 67
$g^*_{C,rel}$ = 59

ORS20_95a; adaptierte CIELAB-Daten

u^*_e	$L^*=L^*_a$	a^*_a	b^*_a	$C^*_{ab,a}$	$h^*_{ab,a}$	u^*_d
r00j	47.06	67.41	32.12	74.67	25	*m84o*
r25j	53.95	53.38	48.38	72.04	42	*o17y*
r50j	63.6	35.87	59.45	69.43	59	*o42y*
r75j	73.37	18.14	70.66	72.95	76	*o68y*
j00g	85.24	−3.4	84.28	84.35	92	*o93y*
j25g	78.53	−25.99	72.23	76.76	110	*y24l*
j50g	68.25	−42.61	56.0	70.37	127	*y55l*
j75g	58.73	−57.99	40.99	71.02	145	*y85l*
g00b	55.66	−58.35	18.71	61.27	162	*l12c*
g25b	58.18	−46.2	−7.82	46.86	190	*l45c*
g50b	60.08	−37.02	−27.87	46.34	217	*l78c*
g75b	55.21	−20.63	−42.98	47.67	244	*c16v*
b00r	41.38	1.37	−45.05	45.07	272	*c58v*
b25r	26.43	27.03	−46.5	53.78	300	*v03m*
b50r	36.22	48.22	−29.42	56.48	329	*v54m*
b75r	47.81	72.75	−3.76	72.85	357	*m10o*

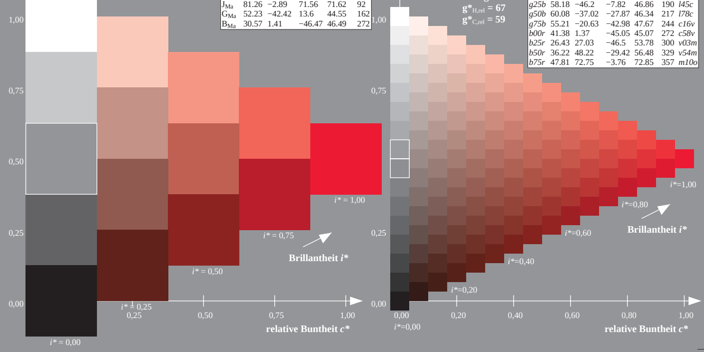

Ein und Ausgabe: Farbmetrisches Drucker-Reflektiv-System ORS20_95, L*=20_95 für relativen CIELAB-Buntton $h^* = lab^*h^* = h_{ab}/360 = 0.117$ $u^*_e = r25j$
Daten für jede Farbe:
*lab*tch** und *lab*icu**
Bunttontexte:
$u^*_e = r25j$ $u^*_d = o17y$
Kontrastreduzierungsfaktor:
c_R = 1.0
Dreiecks-Helligkeit t^*

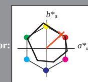

ORS20_95a; adaptierte CIELAB-Daten

u^*_e	$L^*=L^*_a$	a^*_a	b^*_a	$C^*_{ab,a}$	$h^*_{ab,a}$
O_{Ma}	46.89	66.19	40.28	77.48	31
Y_{Ma}	88.66	−9.62	88.21	88.73	96
L_{Ma}	54.22	−65.29	33.87	73.56	153
C_{Ma}	61.43	−30.53	−42.04	51.96	234
V_{Ma}	25.93	25.95	−47.37	54.01	299
M_{Ma}	47.92	73.53	−9.02	74.08	353
N_{Ma}	20.41	0.0	0.0	0.0	0
W_{Ma}	94.64	0.0	0.0	0.0	0
R_{Ma}	39.92	58.74	27.99	65.07	25
J_{Ma}	81.26	−2.89	71.56	71.62	92
G_{Ma}	52.23	−42.42	13.6	44.55	162
B_{Ma}	30.57	1.41	−46.47	46.49	272

Daten für Maximalfarbe (Ma):
*LAB*LAB**$_{Ma}$: 54 53 48
*LAB*LCH**$_{Ma}$: 54 72 42
*lab*rgb**$_{Ma}$: 1.0 0.25 0.0
*lab*olv**$_{Ma}$: 1.0 0.17 0.0
Dreiecks-Helligkeit t^*

%Umfang
u^*_{rel} = 87
%Regularität
$g^*_{H,rel}$ = 67
$g^*_{C,rel}$ = 59

ORS20_95a; adaptierte CIELAB-Daten

u^*_e	$L^*=L^*_a$	a^*_a	b^*_a	$C^*_{ab,a}$	$h^*_{ab,a}$	u^*_d
r00j	47.06	67.41	32.12	74.67	25	*m84o*
r25j	53.95	53.38	48.38	72.04	42	*o17y*
r50j	63.6	35.87	59.45	69.43	59	*o42y*
r75j	73.37	18.14	70.66	72.95	76	*o68y*
j00g	85.24	−3.4	84.28	84.35	92	*o93y*
j25g	78.53	−25.99	72.23	76.76	110	*y24l*
j50g	68.25	−42.61	56.0	70.37	127	*y55l*
j75g	58.73	−57.99	40.99	71.02	145	*y85l*
g00b	55.66	−58.35	18.71	61.27	162	*l12c*
g25b	58.18	−46.2	−7.82	46.86	190	*l45c*
g50b	60.08	−37.02	−27.87	46.34	217	*l78c*
g75b	55.21	−20.63	−42.98	47.67	244	*c16v*
b00r	41.38	1.37	−45.05	45.07	272	*c58v*
b25r	26.43	27.03	−46.5	53.78	300	*v03m*
b50r	36.22	48.22	−29.42	56.48	329	*v54m*
b75r	47.81	72.75	−3.76	72.85	357	*m10o*

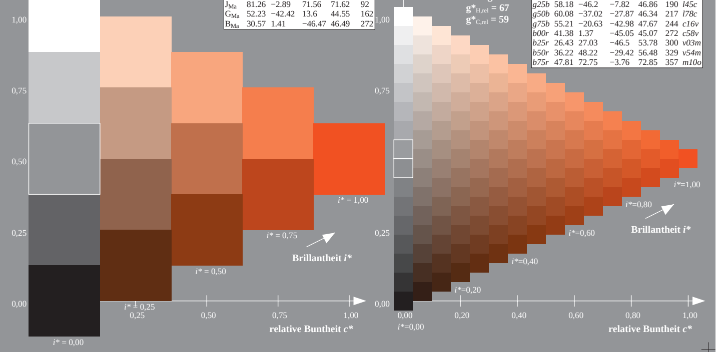

Ein und Ausgabe: Farbmetrisches Drucker-Reflektiv-System ORS20_95, L*=20_95 für relativen CIELAB-Buntton $h^* = lab^*h^* = h_{ab}/360 = 0.164$ $u^*_e = r50j$
Daten für jede Farbe:
*lab*tch** und *lab*icu**
Bunttontexte:
$u^*_e = r50j$ $u^*_d = o42y$
Kontrastreduzierungsfaktor:
c_R = 1.0
Dreiecks-Helligkeit t^*

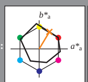

Daten für Maximalfarbe (Ma):
*LAB*LAB**$_{Ma}$: 64 36 59
*LAB*LCH**$_{Ma}$: 64 69 58
*lab*rgb**$_{Ma}$: 1.0 0.5 0.0
*lab*olv**$_{Ma}$: 1.0 0.42 0.0
Dreiecks-Helligkeit t^*

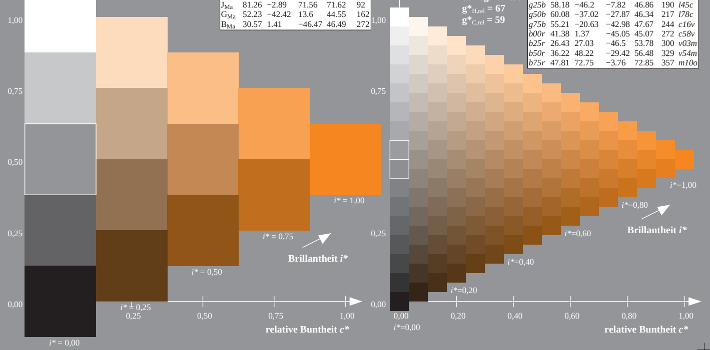

Ein und Ausgabe: Farbmetrisches Drucker-Reflektiv-System ORS20_95, L*=20_95 für relativen CIELAB-Buntton $h^* = lab^*h^* = h_{ab}/360 = 0.21$ $u^*_e = r75j$
Daten für jede Farbe:
*lab*tch** und *lab*icu**
Bunttontexte:
$u^*_e = r75j$ $u^*_d = o68y$
Kontrastreduzierungsfaktor:
c_R = 1.0
Dreiecks-Helligkeit t^*

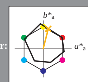

Daten für Maximalfarbe (Ma):
*LAB*LAB**$_{Ma}$: 73 18 71
*LAB*LCH**$_{Ma}$: 73 73 75
*lab*rgb**$_{Ma}$: 1.0 0.75 0.0
*lab*olv**$_{Ma}$: 1.0 0.68 0.0
Dreiecks-Helligkeit t^*

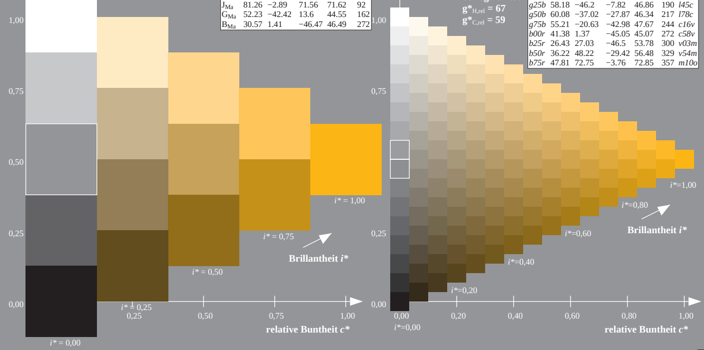

Ein und Ausgabe: Farbmetrisches Drucker-Reflektiv-System ORS20_95, L*=20_95 für relativen CIELAB-Buntton $h^* = lab^*h^* = h_{ab}/360 = 0.256$ $u^*_e = j00g$
Daten für jede Farbe:
*lab*tch** und *lab*icu**
Bunttontexte:
$u^*_e = j00g$ $u^*_d = o93y$
Kontrastreduzierungsfaktor:
c_R = 1.0
Dreiecks-Helligkeit t^*

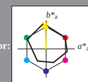

Daten für Maximalfarbe (Ma):
*LAB*LAB**$_{Ma}$: 85 −3 84
*LAB*LCH**$_{Ma}$: 85 84 92
*lab*rgb**$_{Ma}$: 1.0 1.0 0.0
*lab*olv**$_{Ma}$: 1.0 0.94 0.0
Dreiecks-Helligkeit t^*

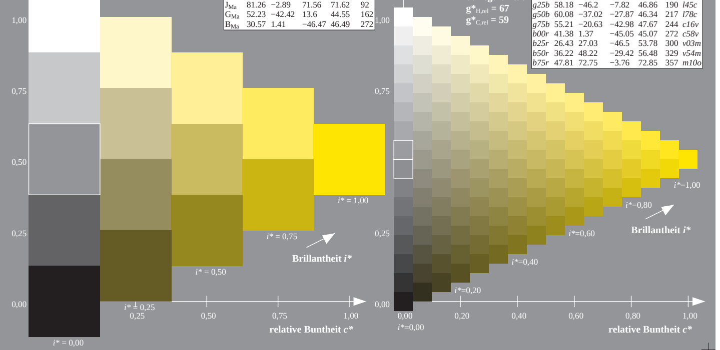

Ein und Ausgabe: Farbmetrisches Drucker-Reflektiv-System ORS20_95, L*=20_95 für relativen CIELAB-Buntton $h^* = lab^*h^* = h_{ab}/360 = 0.305$ $u^*_e = j25g$
Daten für jede Farbe:
*lab*tch** und *lab*icu**
Bunttontexte:
$u^*_e = j25g$ $u^*_d = y24l$
Kontrastreduzierungsfaktor:
c_R = 1.0
Dreiecks-Helligkeit t^*

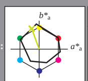

Daten für Maximalfarbe (Ma):
*LAB*LAB**$_{Ma}$: 79 −26 72
*LAB*LCH**$_{Ma}$: 79 77 109
*lab*rgb**$_{Ma}$: 0.75 1.0 0.0
*lab*olv**$_{Ma}$: 0.76 1.0 0.0
Dreiecks-Helligkeit t^*

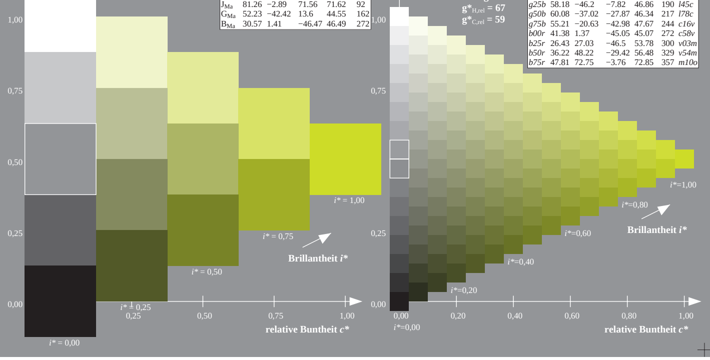

Ein und Ausgabe: Farbmetrisches Drucker-Reflektiv-System ORS20_95, L*=20_95 für relativen CIELAB-Buntton $h^* = lab^*h^* = h_{ab}/360 = 0.354$ $u^*_e = j50g$
Daten für jede Farbe:
*lab*tch** und *lab*icu**
Bunttontexte:
$u^*_e = j50g$ $u^*_d = y55l$
Kontrastreduzierungsfaktor:
c_R = 1.0
Dreiecks-Helligkeit t^*

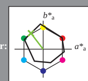

Daten für Maximalfarbe (Ma):
*LAB*LAB**$_{Ma}$: 68 −43 56
*LAB*LCH**$_{Ma}$: 68 70 127
*lab*rgb**$_{Ma}$: 0.5 1.0 0.0
*lab*olv**$_{Ma}$: 0.45 1.0 0.0
Dreiecks-Helligkeit t^*

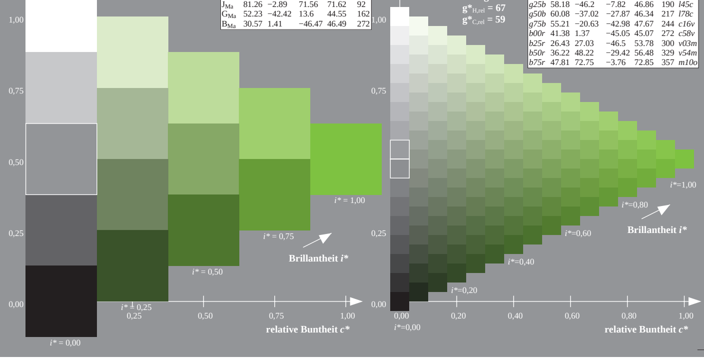

Ein und Ausgabe: Farbmetrisches Drucker-Reflektiv-System ORS20_95, L*=20_95 für relativen CIELAB-Buntton $h^* = lab^*h^* = h_{ab}/360 = 0.402$ $u^*_e = j75g$
Daten für jede Farbe:
*lab*tch** und *lab*icu**
Bunttontexte:
$u^*_e = j75g$ $u^*_d = y85l$
Kontrastreduzierungsfaktor:
c_R = 1.0
Dreiecks-Helligkeit t^*

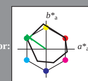

Daten für Maximalfarbe (Ma):
*LAB*LAB**$_{Ma}$: 59 −58 41
*LAB*LCH**$_{Ma}$: 59 71 144
*lab*rgb**$_{Ma}$: 0.25 1.0 0.0
*lab*olv**$_{Ma}$: 0.14 1.0 0.0
Dreiecks-Helligkeit t^*

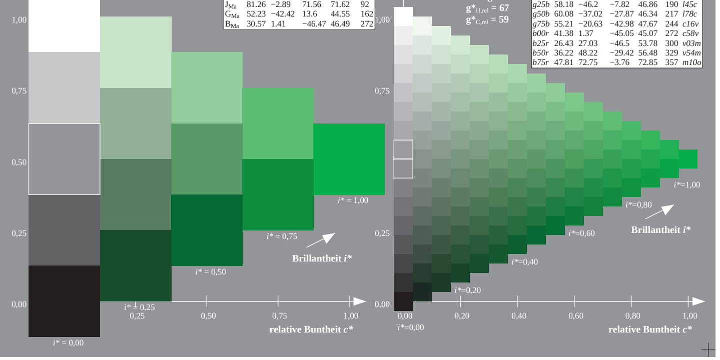

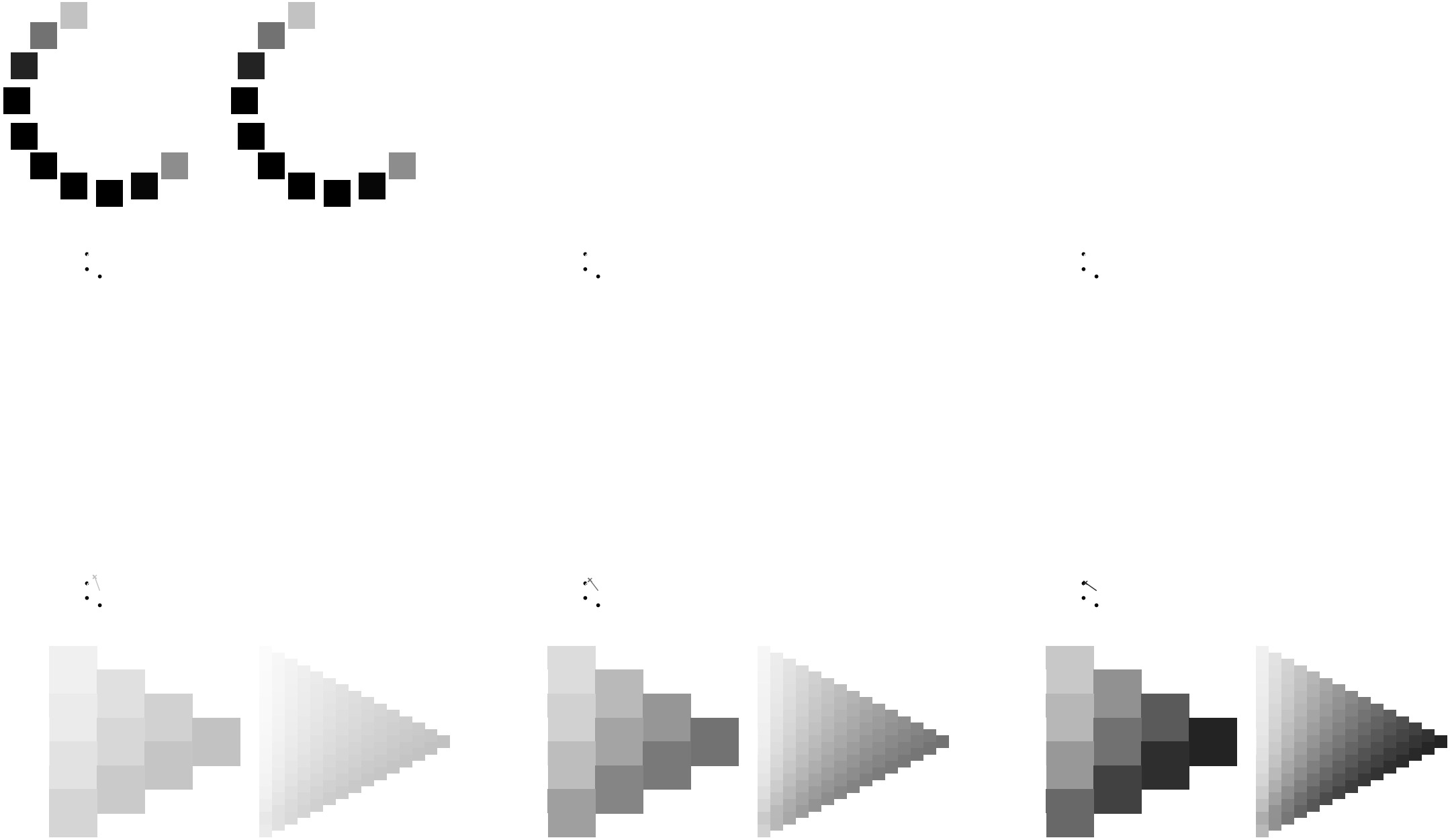

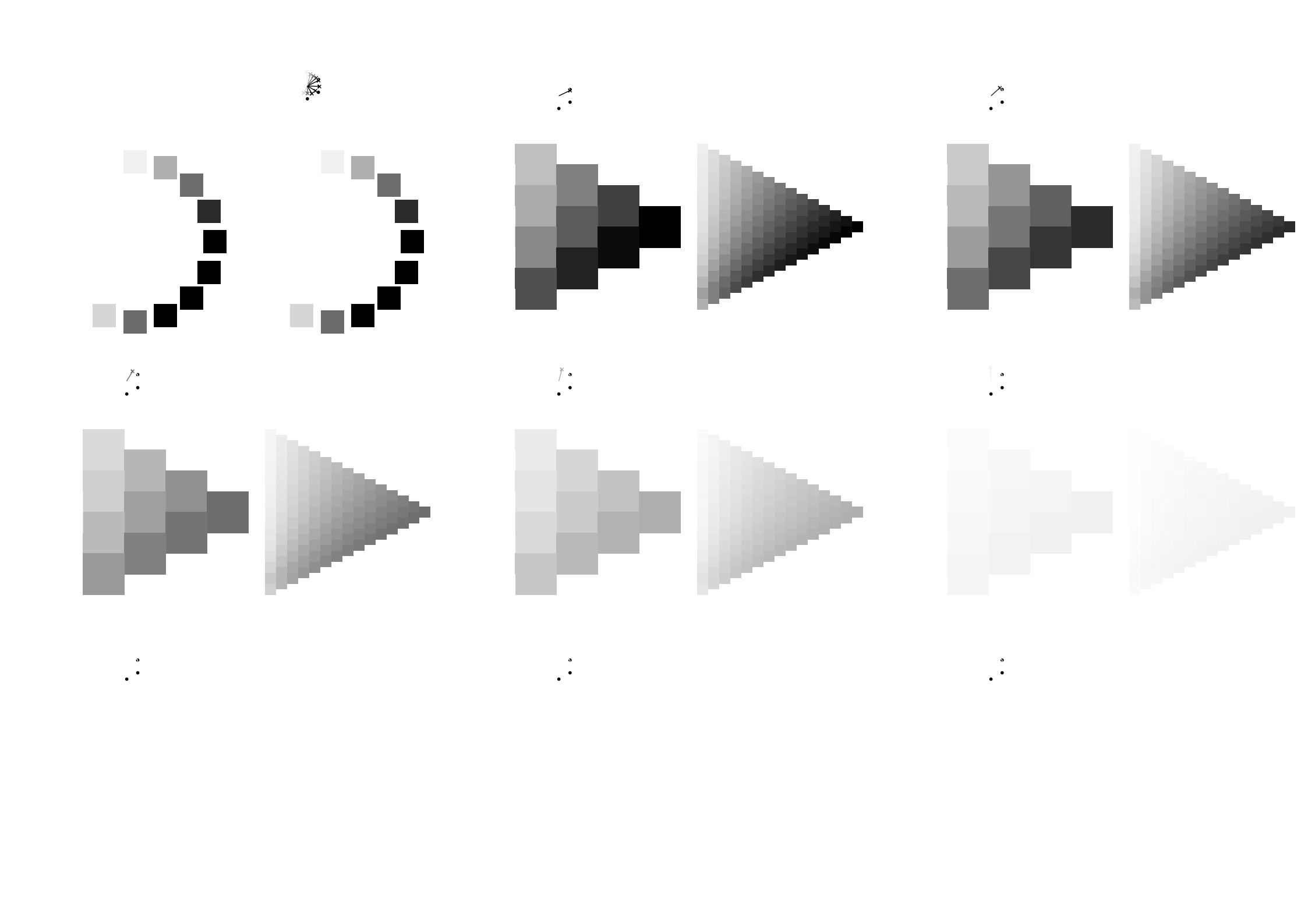

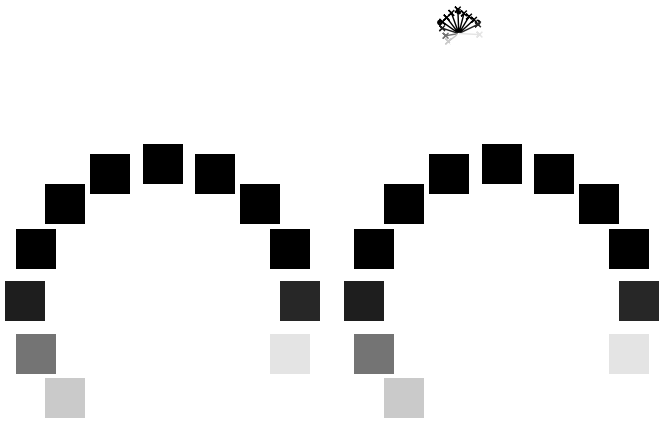

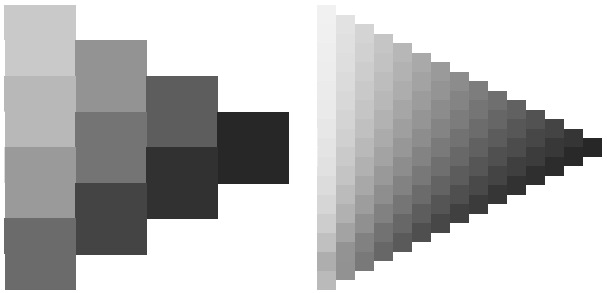

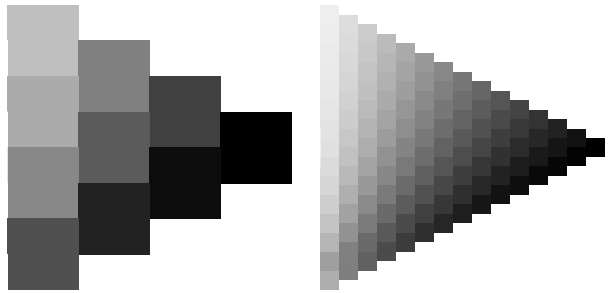

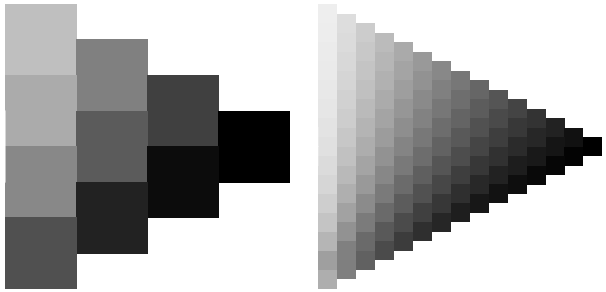

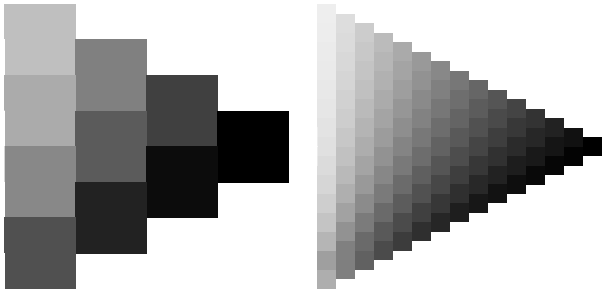

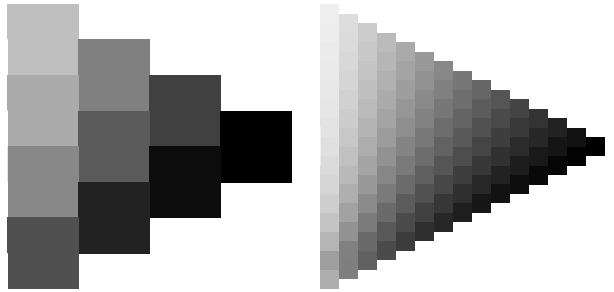

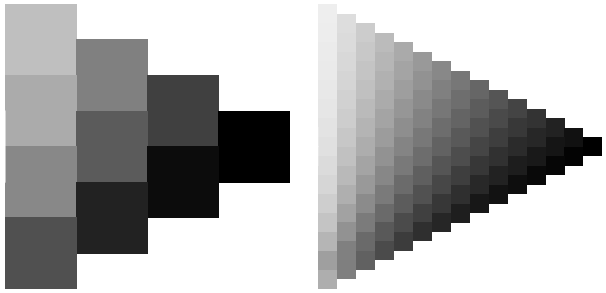

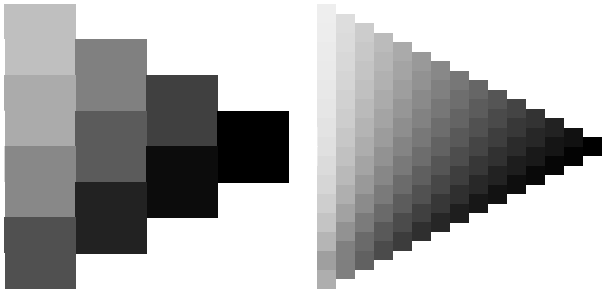

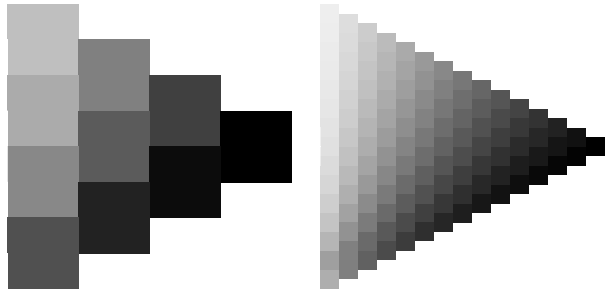

Ein und Ausgabe:
Farbmetrisches Drucker-Reflektiv-System ORS20_95a
Daten für jede Farbe:
u^*_e und Nummer *Nr.* = 00 .. 15
Elementar-Bunttontext:
u^*_e = 16 Bunttoene *r00j, r25j, ..., b75r*
Kontrastreduzierungsfaktor:
c_R = 1.0

ORS20_95a; adaptierte CIELAB-Daten

u^*_e	$L^*=L^*_a$	a^*_a	b^*_a	$C^*_{ab,a}$	$h^*_{ab,a}$	u^*_d
r00j	47.06	67.41	32.12	74.67	25	m84o
r25j	53.95	53.38	48.38	72.04	42	o17y
r50j	63.6	35.87	59.45	69.43	59	o42y
r75j	73.37	18.14	70.66	72.95	76	o68y
j00g	85.24	−3.4	84.28	84.35	92	o93y
j25g	78.53	−25.99	72.23	76.76	110	y24l
j50g	68.25	−42.61	56.0	70.37	127	y55l
j75g	58.73	−57.99	40.99	71.02	145	y85l
g00b	55.66	−58.35	18.71	61.27	162	l12c
g25b	58.18	−46.2	−7.82	46.86	190	l45c
g50b	60.08	−37.02	−27.87	46.34	217	l78c
g75b	55.21	−20.63	−42.98	47.67	244	c16v
b00r	41.38	1.37	−45.05	45.07	272	c58v
b25r	26.43	27.03	−46.5	53.78	300	v03m
b50r	36.22	48.22	−29.42	56.48	329	v54m
b75r	47.81	72.75	−3.76	72.85	357	m10o

%Umfang
u^*_{rel} = 87
%Regularität
$g^*_{H,rel}$ = 67
$g^*_{C,rel}$ = 59

ORS20_95a; adaptierte CIELAB-Daten

Name	$L^*=L^*_a$	a^*_a	b^*_a	$C^*_{ab,a}$	$h^*_{ab,a}$
O_{Ma}	46.89	66.19	40.28	77.48	31
Y_{Ma}	88.66	−9.62	88.21	88.73	96
L_{Ma}	54.22	−65.29	33.87	73.56	153
C_{Ma}	61.43	−30.53	−42.04	51.96	234
V_{Ma}	25.93	25.95	−47.37	54.01	299
M_{Ma}	47.92	73.53	−9.02	74.08	353
N_{Ma}	20.41	0.0	0.0	0.0	0
W_{Ma}	94.64	0.0	0.0	0.0	0
R_{CIE}	39.92	58.74	27.99	65.07	25
J_{CIE}	81.26	−2.89	71.56	71.62	92
G_{CIE}	52.23	−42.42	13.6	44.55	162
B_{CIE}	30.57	1.41	−46.47	46.49	272

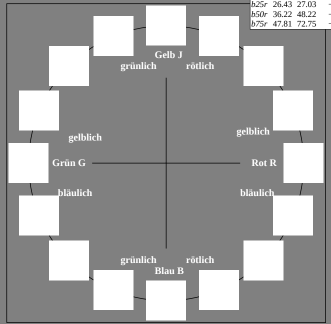

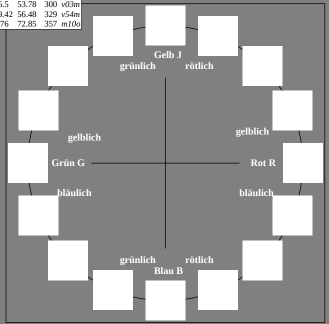

Ein und Ausgabe: Farbmetrisches Drucker-Reflektiv-System ORS20_95, L*=20_95 für relativen CIELAB-Buntton $h^* = lab^*h^* = h_{ab}/360 = 0.071$ **u^*_e = r00j**

Daten für jede Farbe:
*lab*tch** und *lab*icu**
Bunttontexte:
u^*_e = *r00j* u^*_d = *m84o*
Kontrastreduzierungsfaktor:
c_R = 1.0
Dreiecks-Helligkeit *t**

ORS20_95a; adaptierte CIELAB-Daten

u^*_e	$L^*=L^*_a$	a^*_a	b^*_a	$C^*_{ab,a}$	$h^*_{ab,a}$
O_{Ma}	46.89	66.19	40.28	77.48	31
Y_{Ma}	88.66	−9.62	88.21	88.73	96
L_{Ma}	54.22	−65.29	33.87	73.56	153
C_{Ma}	61.43	−30.53	−42.04	51.96	234
V_{Ma}	25.93	25.95	−47.37	54.01	299
M_{Ma}	47.92	73.53	−9.02	74.08	353
N_{Ma}	20.41	0.0	0.0	0.0	0
W_{Ma}	94.64	0.0	0.0	0.0	0
R_{Ma}	39.92	58.74	27.99	65.07	25
J_{Ma}	81.26	−2.89	71.56	71.62	92
G_{Ma}	52.23	−42.42	13.6	44.55	162
B_{Ma}	30.57	1.41	−46.47	46.49	272

Daten für Maximalfarbe (Ma):
*LAB*LAB**$_{Ma}$: 47 67 32
*LAB*LCH**$_{Ma}$: 47 75 25
*lab*rgb**$_{Ma}$: 1.0 0.0 0.0
*lab*olv**$_{Ma}$: 1.0 0.0 0.15
Dreiecks-Helligkeit *t**

%Umfang
u^*_{rel} = 87
%Regularität
$g^*_{H,rel}$ = 67
$g^*_{C,rel}$ = 59

ORS20_95a; adaptierte CIELAB-Daten

u^*_e	$L^*=L^*_a$	a^*_a	b^*_a	$C^*_{ab,a}$	$h^*_{ab,a}$	u^*_d
r00j	47.06	67.41	32.12	74.67	25	m84o
r25j	53.95	53.38	48.38	72.04	42	o17y
r50j	63.6	35.87	59.45	69.43	59	o42y
r75j	73.37	18.14	70.66	72.95	76	o68y
j00g	85.24	−3.4	84.28	84.35	92	o93y
j25g	78.53	−25.99	72.23	76.76	110	y24l
j50g	68.25	−42.61	56.0	70.37	127	y55l
j75g	58.73	−57.99	40.99	71.02	145	y85l
g00b	55.66	−58.35	18.71	61.27	162	l12c
g25b	58.18	−46.2	−7.82	46.86	190	l45c
g50b	60.08	−37.02	−27.87	46.34	217	l78c
g75b	55.21	−20.63	−42.98	47.67	244	c16v
b00r	41.38	1.37	−45.05	45.07	272	c58v
b25r	26.43	27.03	−46.5	53.78	300	v03m
b50r	36.22	48.22	−29.42	56.48	329	v54m
b75r	47.81	72.75	−3.76	72.85	357	m10o

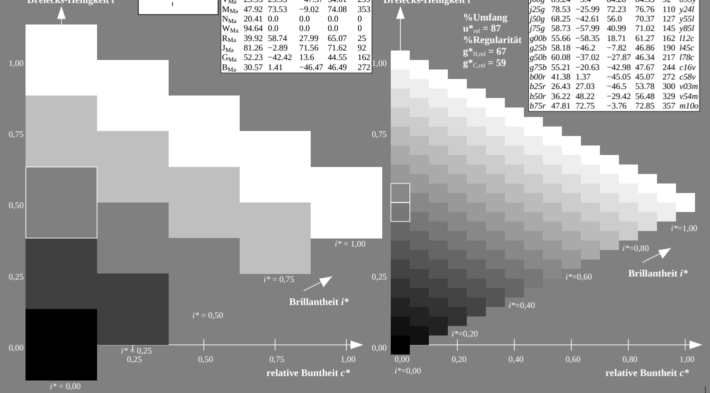

Ein und Ausgabe: Farbmetrisches Drucker-Reflektiv-System ORS20_95, L*=20_95 für relativen CIELAB-Buntton $h^* = lab^*h^* = h_{ab}/360 = 0.117$ **u^*_e = r25j**

Daten für jede Farbe:
*lab*tch** und *lab*icu**
Bunttontexte:
u^*_e = *r25j* u^*_d = *o17y*
Kontrastreduzierungsfaktor:
c_R = 1.0
Dreiecks-Helligkeit *t**

Daten für Maximalfarbe (Ma):
*LAB*LAB**$_{Ma}$: 54 53 48
*LAB*LCH**$_{Ma}$: 54 72 42
*lab*rgb**$_{Ma}$: 1.0 0.25 0.0
*lab*olv**$_{Ma}$: 1.0 0.17 0.0
Dreiecks-Helligkeit *t**

%Umfang
u^*_{rel} = 87
%Regularität
$g^*_{H,rel}$ = 67
$g^*_{C,rel}$ = 59

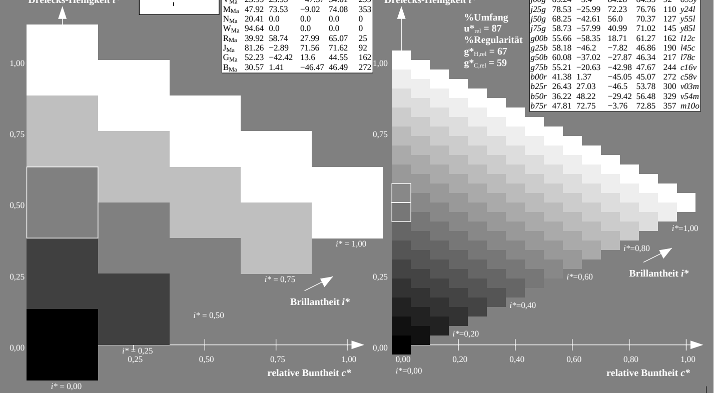

Ein und Ausgabe: Farbmetrisches Drucker-Reflektiv-System ORS20_95, L*=20_95 für relativen CIELAB-Buntton $h^* = lab^*h^* = h_{ab}/360 = 0.164$ **u^*_e = r50j**

Daten für jede Farbe:
*lab*tch** und *lab*icu**
Bunttontexte:
u^*_e = *r50j* u^*_d = *o42y*
Kontrastreduzierungsfaktor:
c_R = 1.0
Dreiecks-Helligkeit *t**

Daten für Maximalfarbe (Ma):
*LAB*LAB**$_{Ma}$: 64 36 59
*LAB*LCH**$_{Ma}$: 64 69 58
*lab*rgb**$_{Ma}$: 1.0 0.5 0.0
*lab*olv**$_{Ma}$: 1.0 0.42 0.0
Dreiecks-Helligkeit *t**

%Umfang
u^*_{rel} = 87
%Regularität
$g^*_{H,rel}$ = 67
$g^*_{C,rel}$ = 59

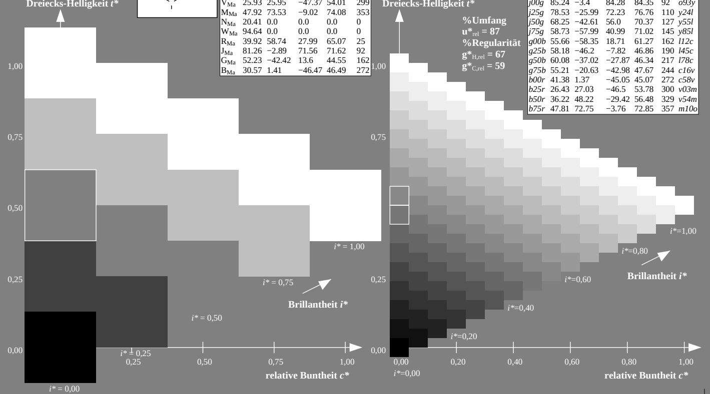

Ein und Ausgabe: Farbmetrisches Drucker-Reflektiv-System ORS20_95, L*=20_95 für relativen CIELAB-Buntton $h^* = lab^*h^* = h_{ab}/360 = 0.21$ **u^*_e = r75j**

Daten für jede Farbe:
*lab*tch** und *lab*icu**
Bunttontexte:
u^*_e = *r75j* u^*_d = *o68y*
Kontrastreduzierungsfaktor:
c_R = 1.0
Dreiecks-Helligkeit *t**

Daten für Maximalfarbe (Ma):
*LAB*LAB**$_{Ma}$: 73 18 71
*LAB*LCH**$_{Ma}$: 73 73 75
*lab*rgb**$_{Ma}$: 1.0 0.75 0.0
*lab*olv**$_{Ma}$: 1.0 0.68 0.0
Dreiecks-Helligkeit *t**

%Umfang
u^*_{rel} = 87
%Regularität
$g^*_{H,rel}$ = 67
$g^*_{C,rel}$ = 59

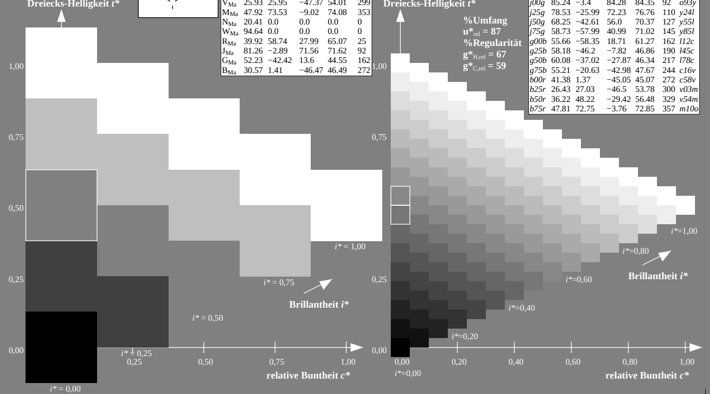

Ein und Ausgabe: Farbmetrisches Drucker-Reflektiv-System ORS20_95, L*=20_95 für relativen CIELAB-Buntton $h^* = lab^*h^* = h_{ab}/360 = 0.256$ **u^*_e = j00g**

Daten für jede Farbe:
*lab*tch** und *lab*icu**
Bunttontexte:
u^*_e = *j00g* u^*_d = *o93y*
Kontrastreduzierungsfaktor:
c_R = 1.0
Dreiecks-Helligkeit *t**

Daten für Maximalfarbe (Ma):
*LAB*LAB**$_{Ma}$: 85 −3 84
*LAB*LCH**$_{Ma}$: 85 84 92
*lab*rgb**$_{Ma}$: 1.0 1.0 0.0
*lab*olv**$_{Ma}$: 1.0 0.94 0.0
Dreiecks-Helligkeit *t**

%Umfang
u^*_{rel} = 87
%Regularität
$g^*_{H,rel}$ = 67
$g^*_{C,rel}$ = 59

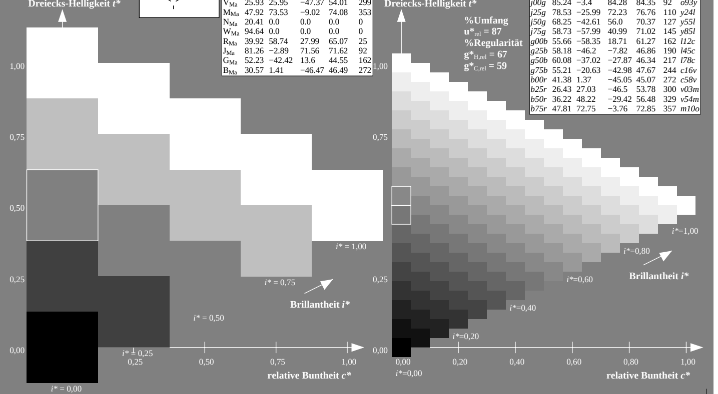

Ein und Ausgabe: Farbmetrisches Drucker-Reflektiv-System ORS20_95, L*=20_95 für relativen CIELAB-Buntton $h^* = lab^*h^* = h_{ab}/360 = 0.305$ **u^*_e = j25g**

Daten für jede Farbe:
*lab*tch** und *lab*icu**
Bunttontexte:
u^*_e = *j25g* u^*_d = *y24l*
Kontrastreduzierungsfaktor:
c_R = 1.0
Dreiecks-Helligkeit *t**

Daten für Maximalfarbe (Ma):
*LAB*LAB**$_{Ma}$: 79 −26 72
*LAB*LCH**$_{Ma}$: 79 77 109
*lab*rgb**$_{Ma}$: 0.75 1.0 0.0
*lab*olv**$_{Ma}$: 0.76 1.0 0.0
Dreiecks-Helligkeit *t**

%Umfang
u^*_{rel} = 87
%Regularität
$g^*_{H,rel}$ = 67
$g^*_{C,rel}$ = 59

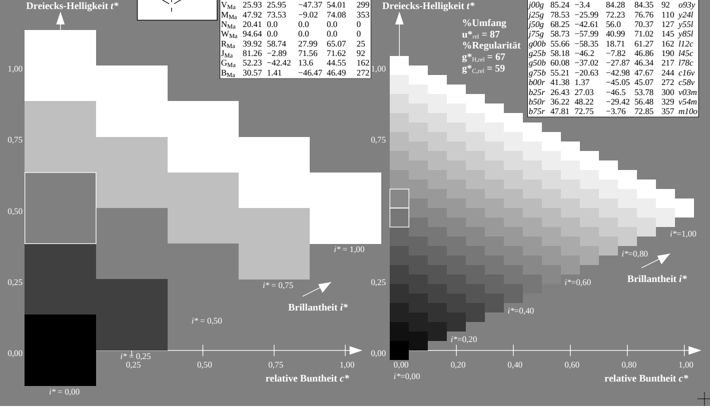

Ein und Ausgabe: Farbmetrisches Drucker-Reflektiv-System ORS20_95, L*=20_95 für relativen CIELAB-Buntton $h^* = lab^*h^* = h_{ab}/360 = 0.354$ **u^*_e = j50g**

Daten für jede Farbe:
*lab*tch** und *lab*icu**
Bunttontexte:
u^*_e = *j50g* u^*_d = *y55l*
Kontrastreduzierungsfaktor:
c_R = 1.0
Dreiecks-Helligkeit *t**

Daten für Maximalfarbe (Ma):
*LAB*LAB**$_{Ma}$: 68 −43 56
*LAB*LCH**$_{Ma}$: 68 70 127
*lab*rgb**$_{Ma}$: 0.5 1.0 0.0
*lab*olv**$_{Ma}$: 0.45 1.0 0.0
Dreiecks-Helligkeit *t**

%Umfang
u^*_{rel} = 87
%Regularität
$g^*_{H,rel}$ = 67
$g^*_{C,rel}$ = 59

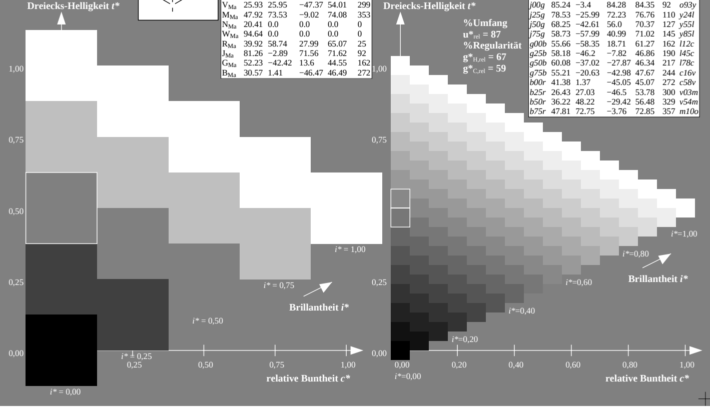

Ein und Ausgabe: Farbmetrisches Drucker-Reflektiv-System ORS20_95, L*=20_95 für relativen CIELAB-Buntton $h^* = lab^*h^* = h_{ab}/360 = 0.402$ **u^*_e = j75g**

Daten für jede Farbe:
*lab*tch** und *lab*icu**
Bunttontexte:
u^*_e = *j75g* u^*_d = *y85l*
Kontrastreduzierungsfaktor:
c_R = 1.0
Dreiecks-Helligkeit *t**

Daten für Maximalfarbe (Ma):
*LAB*LAB**$_{Ma}$: 59 −58 41
*LAB*LCH**$_{Ma}$: 59 71 144
*lab*rgb**$_{Ma}$: 0.25 1.0 0.0
*lab*olv**$_{Ma}$: 0.14 1.0 0.0
Dreiecks-Helligkeit *t**

%Umfang
u^*_{rel} = 87
%Regularität
$g^*_{H,rel}$ = 67
$g^*_{C,rel}$ = 59

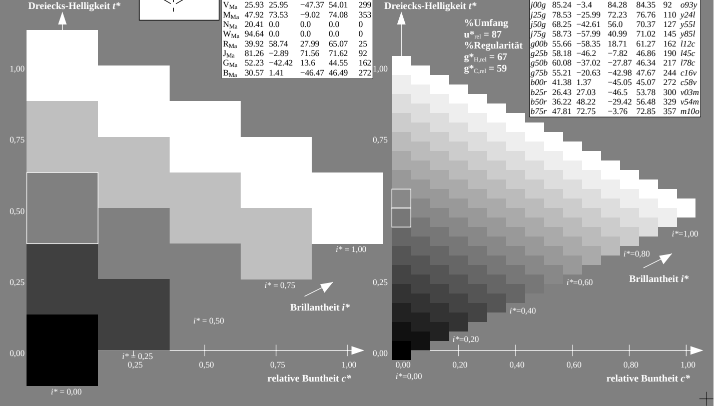

Ein und Ausgabe:
Farbmetrisches Drucker-Reflektiv-System ORS20_95a
Daten für jede Farbe:
*u*e* und Nummer *Nr.* = 00 .. 15
Elementar-Bunttontext:
*u*e* = 16 Bunttoene *r00j, r25j, ..., b75r*
Kontrastreduzierungsfaktor:
c_R = 1.0

ORS20_95a; adaptierte CIELAB-Daten						
u^*_e	$L^*=L^*_a$	a^*_a	b^*_a	$C^*_{ab,a}$	$h^*_{ab,a}$	u^*_d
r00j	47.06	67.41	32.12	74.67	25	m84o
r25j	53.95	53.38	48.38	72.04	42	o17y
r50j	63.6	35.87	59.45	69.43	59	o42y
r75j	73.37	18.14	70.66	72.95	76	o68y
j00g	85.24	−3.4	84.28	84.35	92	o93y
j25g	78.53	−25.99	72.23	76.76	110	y24l
j50g	68.25	−42.61	56.0	70.37	127	y55l
j75g	58.73	−57.99	40.99	71.02	145	y85l
g00b	55.66	−58.35	18.71	61.27	162	l12c
g25b	58.18	−46.2	−7.82	46.86	190	l45c
g50b	60.08	−37.02	−27.87	46.34	217	l78c
g75b	55.21	−20.63	−42.98	47.67	244	c16v
b00r	41.38	1.37	−45.05	45.07	272	c58v
b25r	26.43	27.03	−46.5	53.78	300	v03m
b50r	36.22	48.22	−29.42	56.48	329	v54m
b75r	47.81	72.75	−3.76	72.85	357	m10o

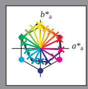

%Umfang
u^*_{rel} = 87
%Regularität
$g^*_{H,rel}$ = 67
$g^*_{C,rel}$ = 59

ORS20_95a; adaptierte CIELAB-Daten					
Name	$L^*=L^*_a$	a^*_a	b^*_a	$C^*_{ab,a}$	$h^*_{ab,a}$
O_{Ma}	46.89	66.19	40.28	77.48	31
Y_{Ma}	88.66	−9.62	88.21	88.73	96
L_{Ma}	54.22	−65.29	33.87	73.56	153
C_{Ma}	61.43	−30.53	−42.04	51.96	234
V_{Ma}	25.93	25.95	−47.37	54.01	299
M_{Ma}	47.92	73.53	−9.02	74.08	353
N_{Ma}	20.41	0.0	0.0	0.0	0
W_{Ma}	94.64	0.0	0.0	0.0	0
R_{CIE}	39.92	58.74	27.99	65.07	25
J_{CIE}	81.26	−2.89	71.56	71.62	92
G_{CIE}	52.23	−42.42	13.6	44.55	162
B_{CIE}	30.57	1.41	−46.47	46.49	272

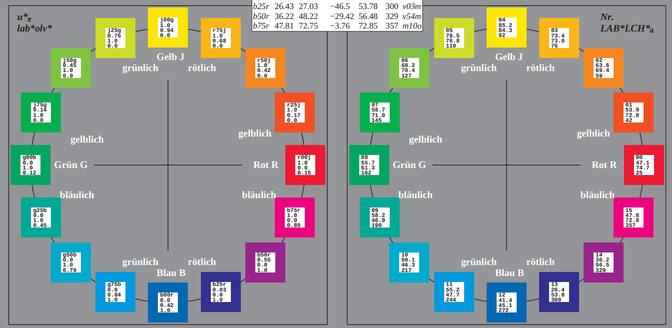

Ein und Ausgabe: Farbmetrisches Drucker-Reflektiv-System ORS20_95, L*=20_95 für relativen CIELAB-Buntton $h^* = lab^*h^* = h_{ab}/360 = 0.071$ — $u^*_e = r00j$ — *lab*olv**

Daten für jede Farbe:
*lab*tch** und *lab*icu**
Bunttontexte:
$u^*_e = r00j$ $u^*_d = m84o$
Kontrastreduzierungsfaktor:
c_R = 1.0
Dreiecks-Helligkeit *t**

Daten für Maximalfarbe (Ma):
*LAB*LAB**Ma: 47 67 32
*LAB*LCH**Ma: 47 75 25
*lab*rgb**Ma: 1.0 0.0 0.0
*lab*olv**Ma: 1.0 0.0 0.15
Dreiecks-Helligkeit *t**

%Umfang
u^*_{rel} = 87
%Regularität
$g^*_{H,rel}$ = 67
$g^*_{C,rel}$ = 59

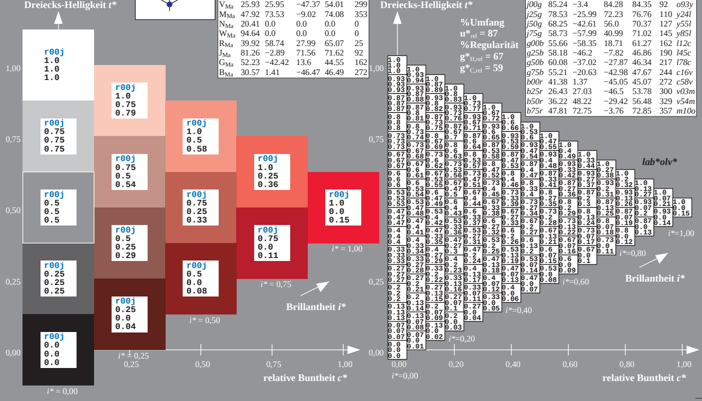

Ein und Ausgabe: Farbmetrisches Drucker-Reflektiv-System ORS20_95, L*=20_95 für relativen CIELAB-Buntton $h^* = lab^*h^* = h_{ab}/360 = 0.117$ — $u^*_e = r25j$ — *lab*olv**

Daten für jede Farbe:
*lab*tch** und *lab*icu**
Bunttontexte:
$u^*_e = r25j$ $u^*_d = o17y$
Kontrastreduzierungsfaktor:
c_R = 1.0
Dreiecks-Helligkeit *t**

Daten für Maximalfarbe (Ma):
*LAB*LAB**Ma: 54 53 48
*LAB*LCH**Ma: 54 72 42
*lab*rgb**Ma: 1.0 0.25 0.0
*lab*olv**Ma: 1.0 0.17 0.0
Dreiecks-Helligkeit *t**

%Umfang
u^*_{rel} = 87
%Regularität
$g^*_{H,rel}$ = 67
$g^*_{C,rel}$ = 59

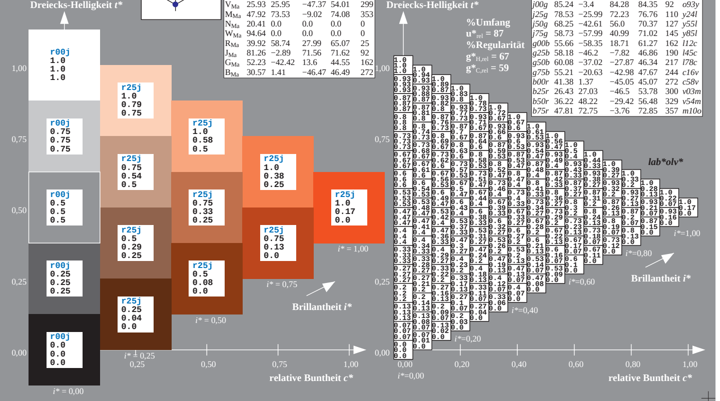

Ein und Ausgabe: Farbmetrisches Drucker-Reflektiv-System ORS20_95, L*=20_95 für relativen CIELAB-Buntton $h^* = lab^*h^* = h_{ab}/360 = 0.164$ — $u^*_e = r50j$ — *lab*olv**

Daten für jede Farbe:
*lab*tch** und *lab*icu**
Bunttontexte:
$u^*_e = r50j$ $u^*_d = o42y$
Kontrastreduzierungsfaktor:
c_R = 1.0
Dreiecks-Helligkeit *t**

Daten für Maximalfarbe (Ma):
*LAB*LAB**Ma: 64 36 59
*LAB*LCH**Ma: 64 69 58
*lab*rgb**Ma: 1.0 0.5 0.0
*lab*olv**Ma: 1.0 0.42 0.0
Dreiecks-Helligkeit *t**

%Umfang
u^*_{rel} = 87
%Regularität
$g^*_{H,rel}$ = 67
$g^*_{C,rel}$ = 59

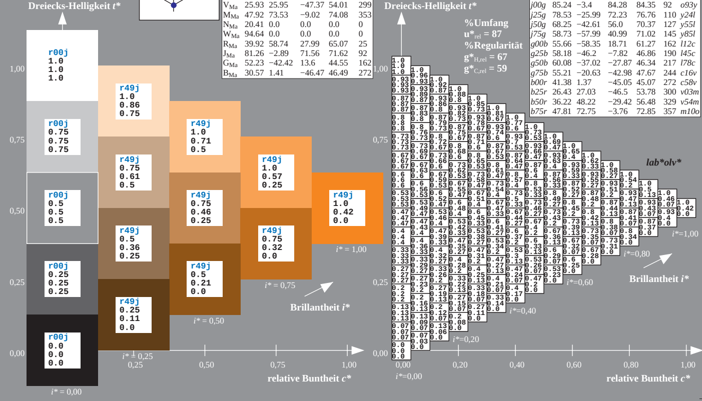

Ein und Ausgabe: Farbmetrisches Drucker-Reflektiv-System ORS20_95, L*=20_95 für relativen CIELAB-Buntton $h^* = lab^*h^* = h_{ab}/360 = 0.21$ — $u^*_e = r75j$ — *lab*olv**

Daten für jede Farbe:
*lab*tch** und *lab*icu**
Bunttontexte:
$u^*_e = r75j$ $u^*_d = o68y$
Kontrastreduzierungsfaktor:
c_R = 1.0
Dreiecks-Helligkeit *t**

Daten für Maximalfarbe (Ma):
*LAB*LAB**Ma: 73 18 71
*LAB*LCH**Ma: 73 75 75
*lab*rgb**Ma: 1.0 0.75 0.0
*lab*olv**Ma: 1.0 0.68 0.0
Dreiecks-Helligkeit *t**

%Umfang
u^*_{rel} = 87
%Regularität
$g^*_{H,rel}$ = 67
$g^*_{C,rel}$ = 59

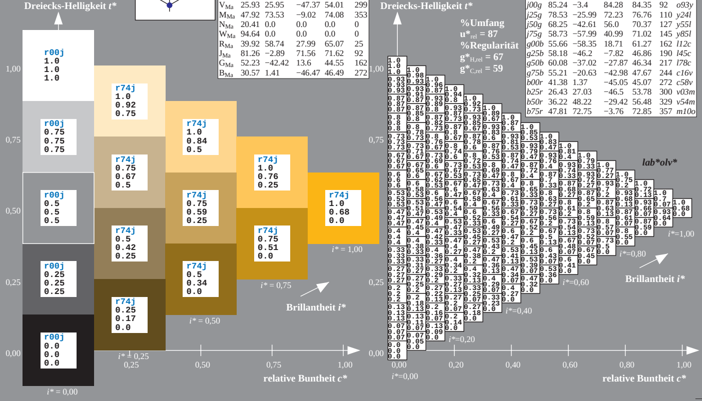

Ein und Ausgabe: Farbmetrisches Drucker-Reflektiv-System ORS20_95, L*=20_95 für relativen CIELAB-Buntton $h^* = lab^*h^* = h_{ab}/360 = 0.256$ — $u^*_e = j00g$ — *lab*olv**

Daten für jede Farbe:
*lab*tch** und *lab*icu**
Bunttontexte:
$u^*_e = j00g$ $u^*_d = o93y$
Kontrastreduzierungsfaktor:
c_R = 1.0
Dreiecks-Helligkeit *t**

Daten für Maximalfarbe (Ma):
*LAB*LAB**Ma: 85 −3 84
*LAB*LCH**Ma: 85 84 92
*lab*rgb**Ma: 1.0 1.0 0.0
*lab*olv**Ma: 1.0 0.94 0.0
Dreiecks-Helligkeit *t**

%Umfang
u^*_{rel} = 87
%Regularität
$g^*_{H,rel}$ = 67
$g^*_{C,rel}$ = 59

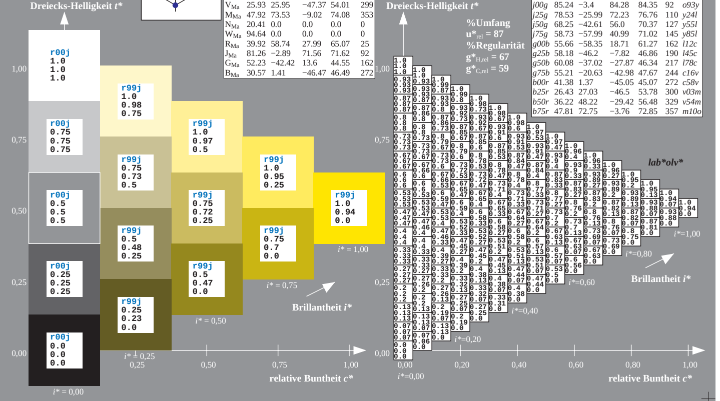

Ein und Ausgabe: Farbmetrisches Drucker-Reflektiv-System ORS20_95, L*=20_95 für relativen CIELAB-Buntton $h^* = lab^*h^* = h_{ab}/360 = 0.305$ — $u^*_e = j25g$ — *lab*olv**

Daten für jede Farbe:
*lab*tch** und *lab*icu**
Bunttontexte:
$u^*_e = j25g$ $u^*_d = y24l$
Kontrastreduzierungsfaktor:
c_R = 1.0
Dreiecks-Helligkeit *t**

Daten für Maximalfarbe (Ma):
*LAB*LAB**Ma: 79 −26 72
*LAB*LCH**Ma: 79 77 109
*lab*rgb**Ma: 0.75 1.0 0.0
*lab*olv**Ma: 0.76 1.0 0.0
Dreiecks-Helligkeit *t**

%Umfang
u^*_{rel} = 87
%Regularität
$g^*_{H,rel}$ = 67
$g^*_{C,rel}$ = 59

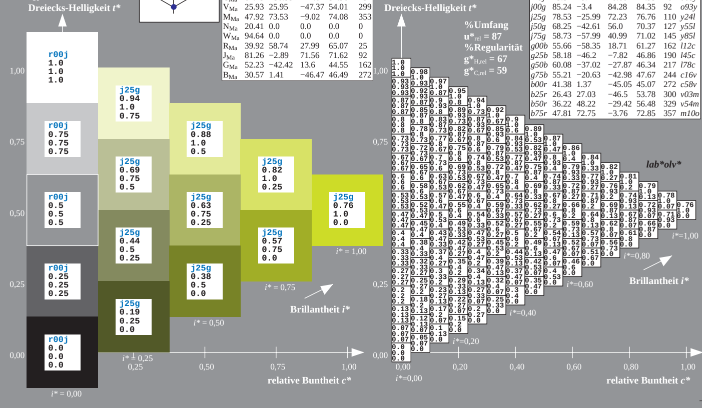

Ein und Ausgabe: Farbmetrisches Drucker-Reflektiv-System ORS20_95, L*=20_95 für relativen CIELAB-Buntton $h^* = lab^*h^* = h_{ab}/360 = 0.354$ — $u^*_e = j50g$ — *lab*olv**

Daten für jede Farbe:
*lab*tch** und *lab*icu**
Bunttontexte:
$u^*_e = j50g$ $u^*_d = y55l$
Kontrastreduzierungsfaktor:
c_R = 1.0
Dreiecks-Helligkeit *t**

Daten für Maximalfarbe (Ma):
*LAB*LAB**Ma: 68 −43 56
*LAB*LCH**Ma: 68 70 127
*lab*rgb**Ma: 0.5 1.0 0.0
*lab*olv**Ma: 0.45 1.0 0.0
Dreiecks-Helligkeit *t**

%Umfang
u^*_{rel} = 87
%Regularität
$g^*_{H,rel}$ = 67
$g^*_{C,rel}$ = 59

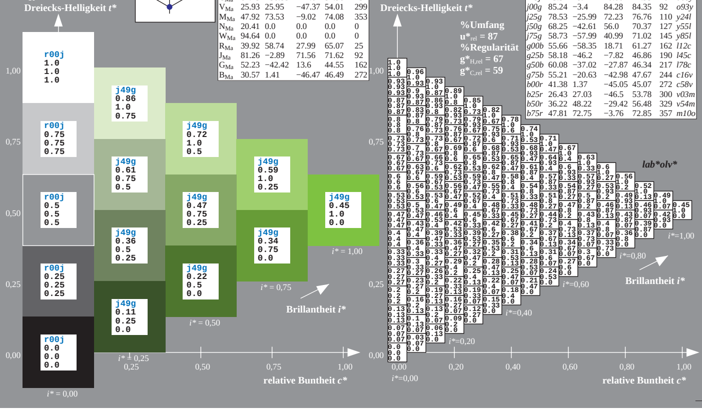

Ein und Ausgabe: Farbmetrisches Drucker-Reflektiv-System ORS20_95, L*=20_95 für relativen CIELAB-Buntton $h^* = lab^*h^* = h_{ab}/360 = 0.402$ — $u^*_e = j75g$ — *lab*olv**

Daten für jede Farbe:
*lab*tch** und *lab*icu**
Bunttontexte:
$u^*_e = j75g$ $u^*_d = y85l$
Kontrastreduzierungsfaktor:
c_R = 1.0
Dreiecks-Helligkeit *t**

Daten für Maximalfarbe (Ma):
*LAB*LAB**Ma: 59 −58 41
*LAB*LCH**Ma: 59 71 144
*lab*rgb**Ma: 0.25 1.0 0.0
*lab*olv**Ma: 0.14 1.0 0.0
Dreiecks-Helligkeit *t**

%Umfang
u^*_{rel} = 87
%Regularität
$g^*_{H,rel}$ = 67
$g^*_{C,rel}$ = 59

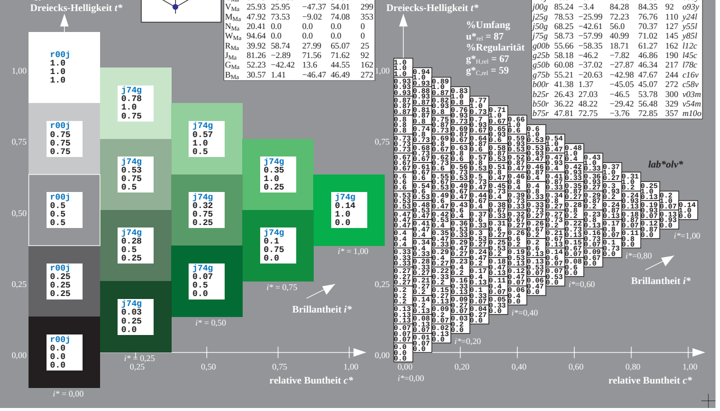

(Each of the eight hue panels repeats the two tables "ORS20_95a; adaptierte CIELAB-Daten" given above, with rows O_{Ma} … B_{Ma} and r00j … b75r.)

Ein und Ausgabe:
Farbmetrisches Drucker-Reflektiv-System ORS20_95a
Daten für jede Farbe:
u^*_e und Nummer *Nr.* = 00 .. 15
Elementar-Bunttontext:
u^*_e = 16 Bunttoene *r00j, r25j, ..., b75r*
Kontrastreduzierungsfaktor:
c_R = 1.0

ORS20_95a; adaptierte CIELAB-Daten						
u^*_e	$L^*=L^*_a$	a^*_a	b^*_a	$C^*_{ab,a}$	$h^*_{ab,a}$	u^*_d
r00j	47.06	67.41	32.12	74.67	25	m84o
r25j	53.95	53.38	48.38	72.04	42	o17y
r50j	63.6	35.87	59.45	69.43	59	o42y
r75j	73.37	18.14	70.66	72.95	76	o68y
j00g	85.24	−3.4	84.28	84.35	92	o93y
j25g	78.53	−25.99	72.23	76.76	110	y24l
j50g	68.25	−42.61	56.0	70.37	127	y55l
j75g	58.73	−57.99	40.99	71.02	145	y85l
g00b	55.66	−58.35	18.71	61.27	162	l12c
g25b	58.18	−46.2	−7.82	46.86	190	l45c
g50b	60.08	−37.02	−27.87	46.34	217	l78c
g75b	55.21	−20.63	−42.98	47.67	244	c16v
b00r	41.38	1.37	−45.05	45.07	272	c58v
b25r	26.43	27.03	−46.5	53.78	300	v03m
b50r	36.22	48.22	−29.42	56.48	329	v54m
b75r	47.81	72.75	−3.76	72.85	357	m10o

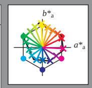

%Umfang
u^*_{rel} = 87
%Regularität
$g^*_{H,rel}$ = 67
$g^*_{C,rel}$ = 59

ORS20_95a; adaptierte CIELAB-Daten					
Name	$L^*=L^*_a$	a^*_a	b^*_a	$C^*_{ab,a}$	$h^*_{ab,a}$
O_{Ma}	46.89	66.19	40.28	77.48	31
Y_{Ma}	88.66	−9.62	88.21	88.73	96
L_{Ma}	54.22	−65.29	33.87	73.56	153
C_{Ma}	61.43	−30.53	−42.04	51.96	234
V_{Ma}	25.93	25.95	−47.37	54.01	299
M_{Ma}	47.92	73.53	−9.02	74.08	353
N_{Ma}	20.41	0.0	0.0	0.0	0
W_{Ma}	94.64	0.0	0.0	0.0	0
R_{CIE}	39.92	58.74	27.99	65.07	25
J_{CIE}	81.26	−2.89	71.56	71.62	92
G_{CIE}	52.23	−42.42	13.6	44.55	162
B_{CIE}	30.57	1.41	−46.47	46.49	272

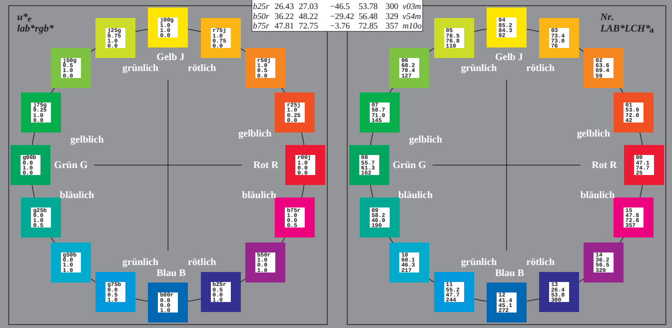

Ein und Ausgabe: Farbmetrisches Drucker-Reflektiv-System ORS20_95, L*=20_95 für relativen CIELAB-Buntton $h^* = lab^*h^* = h_{ab}/360 = 0.071$ $u^*_e = r00j$ *lab*rgb**
Daten für jede Farbe:
*lab*tch** und *lab*icu**
Bunttontexte:
$u^*_e = r00j$ $u^*_d = m84o$
Kontrastreduzierungsfaktor:
c_R = 1.0
Dreiecks-Helligkeit t^*

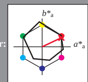

ORS20_95a; adaptierte CIELAB-Daten					
u^*_e	$L^*=L^*_a$	a^*_a	b^*_a	$C^*_{ab,a}$	$h^*_{ab,a}$
O_{Ma}	46.89	66.19	40.28	77.48	31
Y_{Ma}	88.66	−9.62	88.21	88.73	96
L_{Ma}	54.22	−65.29	33.87	73.56	153
C_{Ma}	61.43	−30.53	−42.04	51.96	234
V_{Ma}	25.93	25.95	−47.37	54.01	299
M_{Ma}	47.92	73.53	−9.02	74.08	353
N_{Ma}	20.41	0.0	0.0	0.0	0
W_{Ma}	94.64	0.0	0.0	0.0	0
R_{Ma}	39.92	58.74	27.99	65.07	25
J_{Ma}	81.26	−2.89	71.56	71.62	92
G_{Ma}	52.23	−42.42	13.6	44.55	162
B_{Ma}	30.57	1.41	−46.47	46.49	272

Daten für Maximalfarbe (Ma):
*LAB*LAB**$_{Ma}$: 47 67 32
*LAB*LCH**$_{Ma}$: 47 75 25
*lab*rgb**$_{Ma}$: 1.0 0.0 0.0
*lab*olv**$_{Ma}$: 1.0 0.0 0.15
Dreiecks-Helligkeit t^*

%Umfang
u^*_{rel} = 87
%Regularität
$g^*_{H,rel}$ = 67
$g^*_{C,rel}$ = 59

ORS20_95a; adaptierte CIELAB-Daten						
u^*_e	$L^*=L^*_a$	a^*_a	b^*_a	$C^*_{ab,a}$	$h^*_{ab,a}$	u^*_d
r00j	47.06	67.41	32.12	74.67	25	m84o
r25j	53.95	53.38	48.38	72.04	42	o17y
r50j	63.6	35.87	59.45	69.43	59	o42y
r75j	73.37	18.14	70.66	72.95	76	o68y
j00g	85.24	−3.4	84.28	84.35	92	o93y
j25g	78.53	−25.99	72.23	76.76	110	y24l
j50g	68.25	−42.61	56.0	70.37	127	y55l
j75g	58.73	−57.99	40.99	71.02	145	y85l
g00b	55.66	−58.35	18.71	61.27	162	l12c
g25b	58.18	−46.2	−7.82	46.86	190	l45c
g50b	60.08	−37.02	−27.87	46.34	217	l78c
g75b	55.21	−20.63	−42.98	47.67	244	c16v
b00r	41.38	1.37	−45.05	45.07	272	c58v
b25r	26.43	27.03	−46.5	53.78	300	v03m
b50r	36.22	48.22	−29.42	56.48	329	v54m
b75r	47.81	72.75	−3.76	72.85	357	m10o

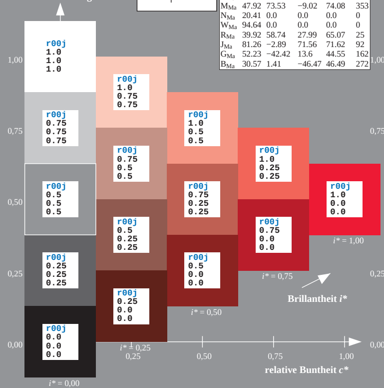

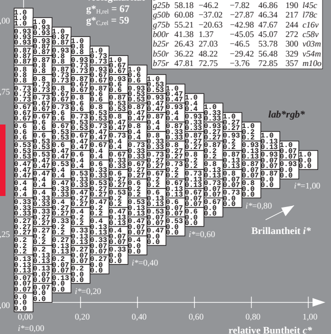

Ein und Ausgabe: Farbmetrisches Drucker-Reflektiv-System ORS20_95, L*=20_95 für relativen CIELAB-Buntton $h^* = lab^*h^* = h_{ab}/360 = 0.117$ $u^*_e = r25j$ *lab*rgb**
Daten für jede Farbe:
*lab*tch** und *lab*icu**
Bunttontexte:
$u^*_e = r25j$ $u^*_d = o17y$
Kontrastreduzierungsfaktor:
c_R = 1.0
Dreiecks-Helligkeit t^*

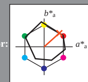

Daten für Maximalfarbe (Ma):
*LAB*LAB**$_{Ma}$: 54 53 48
*LAB*LCH**$_{Ma}$: 54 72 42
*lab*rgb**$_{Ma}$: 1.0 0.25 0.0
*lab*olv**$_{Ma}$: 1.0 0.17 0.0
Dreiecks-Helligkeit t^*

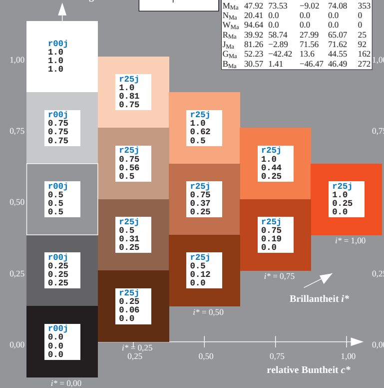

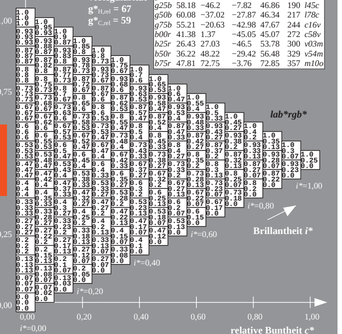

Ein und Ausgabe: Farbmetrisches Drucker-Reflektiv-System ORS20_95, L*=20_95 für relativen CIELAB-Buntton $h^* = lab^*h^* = h_{ab}/360 = 0.164$ $u^*_e = r50j$ *lab*rgb**
Daten für jede Farbe:
*lab*tch** und *lab*icu**
Bunttontexte:
$u^*_e = r50j$ $u^*_d = o42y$
Kontrastreduzierungsfaktor:
c_R = 1.0
Dreiecks-Helligkeit t^*

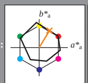

Daten für Maximalfarbe (Ma):
*LAB*LAB**$_{Ma}$: 64 36 59
*LAB*LCH**$_{Ma}$: 64 69 58
*lab*rgb**$_{Ma}$: 1.0 0.5 0.0
*lab*olv**$_{Ma}$: 1.0 0.42 0.0
Dreiecks-Helligkeit t^*

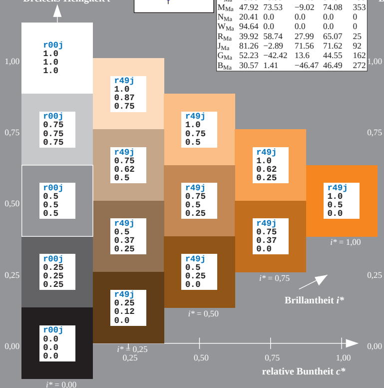

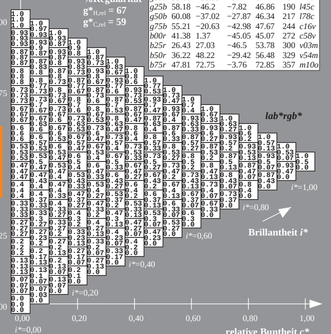

Ein und Ausgabe: Farbmetrisches Drucker-Reflektiv-System ORS20_95, L*=20_95 für relativen CIELAB-Buntton $h^* = lab^*h^* = h_{ab}/360 = 0.21$ $u^*_e = r75j$ *lab*rgb**
Daten für jede Farbe:
*lab*tch** und *lab*icu**
Bunttontexte:
$u^*_e = r75j$ $u^*_d = o68y$
Kontrastreduzierungsfaktor:
c_R = 1.0
Dreiecks-Helligkeit t^*

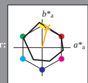

Daten für Maximalfarbe (Ma):
*LAB*LAB**$_{Ma}$: 73 18 71
*LAB*LCH**$_{Ma}$: 73 73 75
*lab*rgb**$_{Ma}$: 1.0 0.75 0.0
*lab*olv**$_{Ma}$: 1.0 0.68 0.0
Dreiecks-Helligkeit t^*

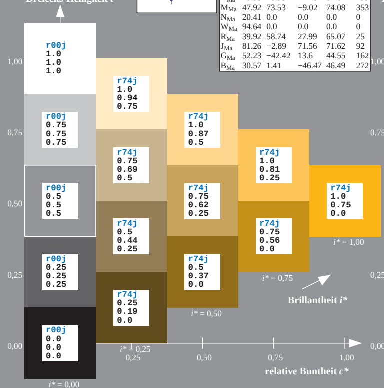

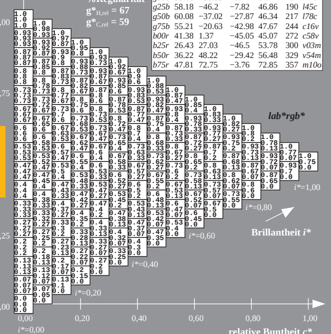

Ein und Ausgabe: Farbmetrisches Drucker-Reflektiv-System ORS20_95, L*=20_95 für relativen CIELAB-Buntton $h^* = lab^*h^* = h_{ab}/360 = 0.256$ $u^*_e = j00g$ *lab*rgb**
Daten für jede Farbe:
*lab*tch** und *lab*icu**
Bunttontexte:
$u^*_e = j00g$ $u^*_d = o93y$
Kontrastreduzierungsfaktor:
c_R = 1.0
Dreiecks-Helligkeit t^*

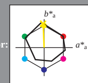

Daten für Maximalfarbe (Ma):
*LAB*LAB**$_{Ma}$: 85 −3 84
*LAB*LCH**$_{Ma}$: 85 84 92
*lab*rgb**$_{Ma}$: 1.0 1.0 0.0
*lab*olv**$_{Ma}$: 1.0 0.94 0.0
Dreiecks-Helligkeit t^*

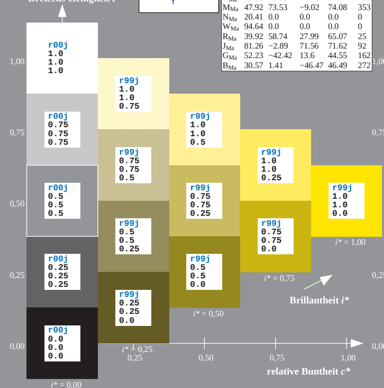

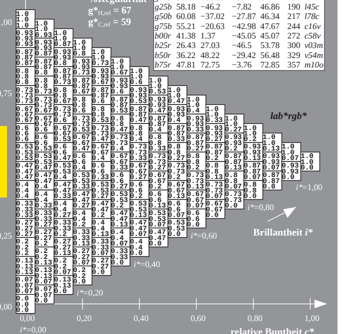

Ein und Ausgabe: Farbmetrisches Drucker-Reflektiv-System ORS20_95, L*=20_95 für relativen CIELAB-Buntton $h^* = lab^*h^* = h_{ab}/360 = 0.305$ $u^*_e = j25g$ *lab*rgb**
Daten für jede Farbe:
*lab*tch** und *lab*icu**
Bunttontexte:
$u^*_e = j25g$ $u^*_d = y24l$
Kontrastreduzierungsfaktor:
c_R = 1.0
Dreiecks-Helligkeit t^*

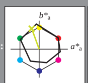

Daten für Maximalfarbe (Ma):
*LAB*LAB**$_{Ma}$: 79 −26 72
*LAB*LCH**$_{Ma}$: 79 77 109
*lab*rgb**$_{Ma}$: 0.75 1.0 0.0
*lab*olv**$_{Ma}$: 0.76 1.0 0.0
Dreiecks-Helligkeit t^*

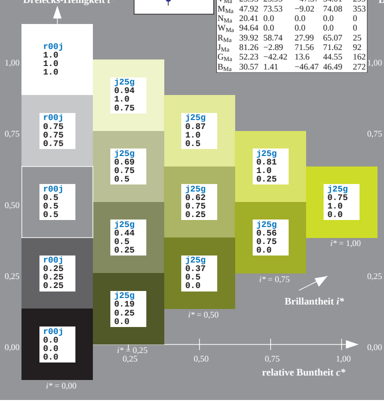

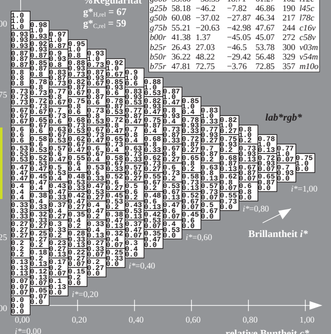

Ein und Ausgabe: Farbmetrisches Drucker-Reflektiv-System ORS20_95, L*=20_95 für relativen CIELAB-Buntton $h^* = lab^*h^* = h_{ab}/360 = 0.354$ $u^*_e = j50g$ *lab*rgb**
Daten für jede Farbe:
*lab*tch** und *lab*icu**
Bunttontexte:
$u^*_e = j50g$ $u^*_d = y55l$
Kontrastreduzierungsfaktor:
c_R = 1.0
Dreiecks-Helligkeit t^*

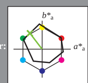

Daten für Maximalfarbe (Ma):
*LAB*LAB**$_{Ma}$: 68 −43 56
*LAB*LCH**$_{Ma}$: 68 70 127
*lab*rgb**$_{Ma}$: 0.5 1.0 0.0
*lab*olv**$_{Ma}$: 0.45 1.0 0.0
Dreiecks-Helligkeit t^*

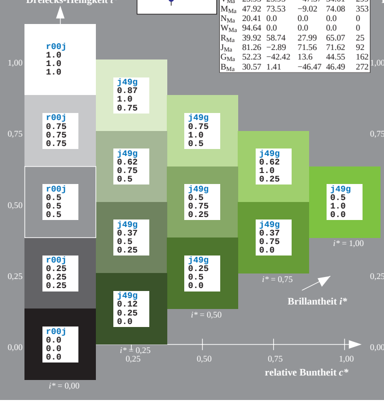

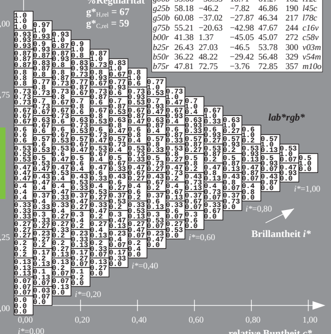

Ein und Ausgabe: Farbmetrisches Drucker-Reflektiv-System ORS20_95, L*=20_95 für relativen CIELAB-Buntton $h^* = lab^*h^* = h_{ab}/360 = 0.402$ $u^*_e = j75g$ *lab*rgb**
Daten für jede Farbe:
*lab*tch** und *lab*icu**
Bunttontexte:
$u^*_e = j75g$ $u^*_d = y85l$
Kontrastreduzierungsfaktor:
c_R = 1.0
Dreiecks-Helligkeit t^*

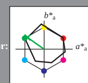

Daten für Maximalfarbe (Ma):
*LAB*LAB**$_{Ma}$: 59 −58 41
*LAB*LCH**$_{Ma}$: 59 71 144
*lab*rgb**$_{Ma}$: 0.25 1.0 0.0
*lab*olv**$_{Ma}$: 0.14 1.0 0.0
Dreiecks-Helligkeit t^*

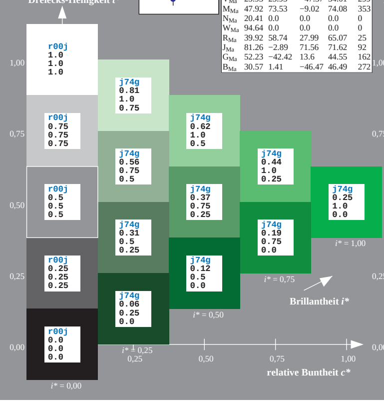

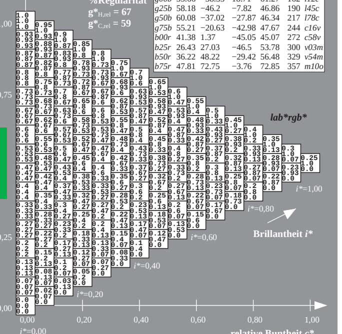

Ein und Ausgabe:
Farbmetrisches Drucker-Reflektiv-System ORS20_95a
Daten für jede Farbe:
u^*_e und Nummer *Nr.* = 00 .. 15
Elementar-Bunttontext:
u^*_e = 16 Bunttoene *r00j, r25j, ..., b75r*
Kontrastreduzierungsfaktor:
c_R = 1.0

ORS20_95a; adaptierte CIELAB-Daten						
u^*_e	$L^*=L^*_a$	a^*_a	b^*_a	$C^*_{ab,a}$	$h^*_{ab,a}$	u^*_d
r00j	47.06	67.41	32.12	74.67	25	m84o
r25j	53.95	53.38	48.38	72.04	42	o17y
r50j	63.6	35.87	59.45	69.43	59	o42y
r75j	73.37	18.14	70.66	72.95	76	o68y
j00g	85.24	−3.4	84.28	84.35	92	o93y
j25g	78.53	−25.99	72.23	76.76	110	y24l
j50g	68.25	−42.61	56.0	70.37	127	y55l
j75g	58.73	−57.99	40.99	71.02	145	y85l
g00b	55.66	−58.35	18.71	61.27	162	l12c
g25b	58.18	−46.2	−7.82	46.86	190	l45c
g50b	60.08	−37.02	−27.87	46.34	217	l78c
g75b	55.21	−20.63	−42.98	47.67	244	c16v
b00r	41.38	1.37	−45.05	45.07	272	c58v
b25r	26.43	27.03	−46.5	53.78	300	v03m
b50r	36.22	48.22	−29.42	56.48	329	v54m
b75r	47.81	72.75	−3.76	72.85	357	m10o

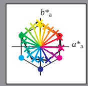

%Umfang
u^*_{rel} = 87
%Regularität
$g^*_{H,rel}$ = 67
$g^*_{C,rel}$ = 59

ORS20_95a; adaptierte CIELAB-Daten					
Name	$L^*=L^*_a$	a^*_a	b^*_a	$C^*_{ab,a}$	$h^*_{ab,a}$
O_{Ma}	46.89	66.19	40.28	77.48	31
Y_{Ma}	88.66	−9.62	88.21	88.73	96
L_{Ma}	54.22	−65.29	33.87	73.56	153
C_{Ma}	61.43	−30.53	−42.04	51.96	234
V_{Ma}	25.93	25.95	−47.37	54.01	299
M_{Ma}	47.92	73.53	−9.02	74.08	353
N_{Ma}	20.41	0.0	0.0	0.0	0
W_{Ma}	94.64	0.0	0.0	0.0	0
R_{CIE}	39.92	58.74	27.99	65.07	25
J_{CIE}	81.26	−2.89	71.56	71.62	92
G_{CIE}	52.23	−42.42	13.6	44.55	162
B_{CIE}	30.57	1.41	−46.47	46.49	272

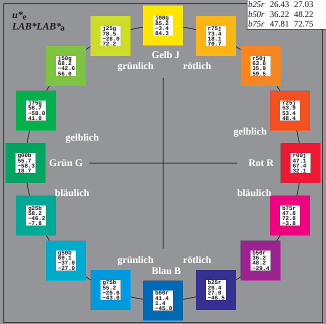

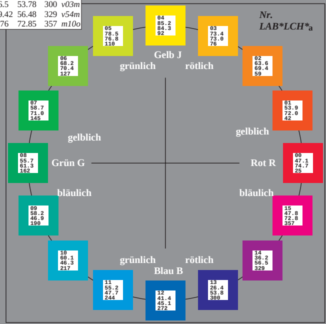

Ein und Ausgabe: Farbmetrisches Drucker-Reflektiv-System ORS20_95, L*=20_95 für relativen CIELAB-Buntton $h^* = lab^*h^* = h_{ab}/360 = 0.071$ $u^*_e = r00j$ $LAB^*LAB^*_a$
Daten für jede Farbe:
*lab*tch** und *lab*icu**
Bunttontexte:
$u^*_e = r00j$ $u^*_d = m84o$
Kontrastreduzierungsfaktor:
c_R = 1.0
Dreiecks-Helligkeit t^*

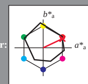

ORS20_95a; adaptierte CIELAB-Daten					
u^*_e	$L^*=L^*_a$	a^*_a	b^*_a	$C^*_{ab,a}$	$h^*_{ab,a}$
O_{Ma}	46.89	66.19	40.28	77.48	31
Y_{Ma}	88.66	−9.62	88.21	88.73	96
L_{Ma}	54.22	−65.29	33.87	73.56	153
C_{Ma}	61.43	−30.53	−42.04	51.96	234
V_{Ma}	25.93	25.95	−47.37	54.01	299
M_{Ma}	47.92	73.53	−9.02	74.08	353
N_{Ma}	20.41	0.0	0.0	0.0	0
W_{Ma}	94.64	0.0	0.0	0.0	0
R_{Ma}	39.92	58.74	27.99	65.07	25
J_{Ma}	81.26	−2.89	71.56	71.62	92
G_{Ma}	52.23	−42.42	13.6	44.55	162
B_{Ma}	30.57	1.41	−46.47	46.49	272

Daten für Maximalfarbe (Ma):
$LAB^*LAB^*_{Ma}$: 47 67 32
$LAB^*LCH^*_{Ma}$: 47 75 25
$lab^*rgb^*_{Ma}$: 1.0 0.0 0.0
$lab^*olv^*_{Ma}$: 1.0 0.0 0.15
Dreiecks-Helligkeit t^*

%Umfang
u^*_{rel} = 87
%Regularität
$g^*_{H,rel}$ = 67
$g^*_{C,rel}$ = 59

ORS20_95a; adaptierte CIELAB-Daten						
u^*_e	$L^*=L^*_a$	a^*_a	b^*_a	$C^*_{ab,a}$	$h^*_{ab,a}$	u^*_d
r00j	47.06	67.41	32.12	74.67	25	m84o
r25j	53.95	53.38	48.38	72.04	42	o17y
r50j	63.6	35.87	59.45	69.43	59	o42y
r75j	73.37	18.14	70.66	72.95	76	o68y
j00g	85.24	−3.4	84.28	84.35	92	o93y
j25g	78.53	−25.99	72.23	76.76	110	y24l
j50g	68.25	−42.61	56.0	70.37	127	y55l
j75g	58.73	−57.99	40.99	71.02	145	y85l
g00b	55.66	−58.35	18.71	61.27	162	l12c
g25b	58.18	−46.2	−7.82	46.86	190	l45c
g50b	60.08	−37.02	−27.87	46.34	217	l78c
g75b	55.21	−20.63	−42.98	47.67	244	c16v
b00r	41.38	1.37	−45.05	45.07	272	c58v
b25r	26.43	27.03	−46.5	53.78	300	v03m
b50r	36.22	48.22	−29.42	56.48	329	v54m
b75r	47.81	72.75	−3.76	72.85	357	m10o

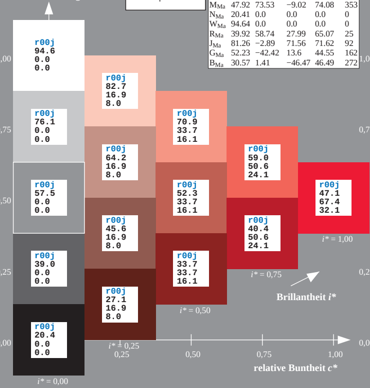

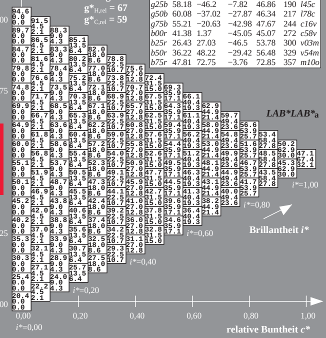

Ein und Ausgabe: Farbmetrisches Drucker-Reflektiv-System ORS20_95, L*=20_95 für relativen CIELAB-Buntton $h^* = lab^*h^* = h_{ab}/360 = 0.117$ $u^*_e = r25j$ $LAB^*LAB^*_a$
Daten für jede Farbe:
*lab*tch** und *lab*icu**
Bunttontexte:
$u^*_e = r25j$ $u^*_d = o17y$
Kontrastreduzierungsfaktor:
c_R = 1.0
Dreiecks-Helligkeit t^*

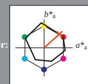

Daten für Maximalfarbe (Ma):
$LAB^*LAB^*_{Ma}$: 54 53 48
$LAB^*LCH^*_{Ma}$: 54 72 42
$lab^*rgb^*_{Ma}$: 1.0 0.25 0.0
$lab^*olv^*_{Ma}$: 1.0 0.17 0.0
Dreiecks-Helligkeit t^*

%Umfang
u^*_{rel} = 87
%Regularität
$g^*_{H,rel}$ = 67
$g^*_{C,rel}$ = 59

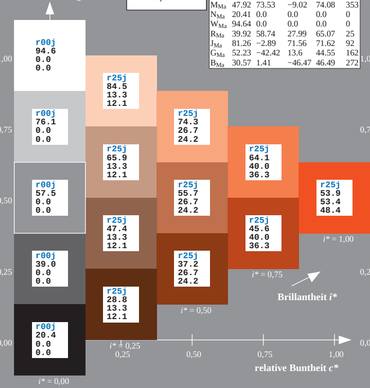

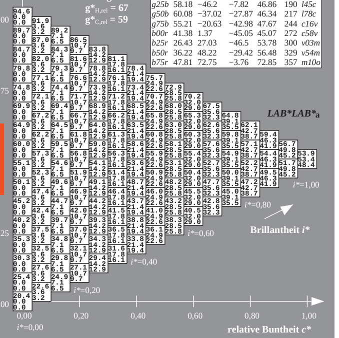

Ein und Ausgabe: Farbmetrisches Drucker-Reflektiv-System ORS20_95, L*=20_95 für relativen CIELAB-Buntton $h^* = lab^*h^* = h_{ab}/360 = 0.164$ $u^*_e = r50j$ $LAB^*LAB^*_a$
Daten für jede Farbe:
*lab*tch** und *lab*icu**
Bunttontexte:
$u^*_e = r50j$ $u^*_d = o42y$
Kontrastreduzierungsfaktor:
c_R = 1.0
Dreiecks-Helligkeit t^*

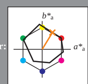

Daten für Maximalfarbe (Ma):
$LAB^*LAB^*_{Ma}$: 64 36 59
$LAB^*LCH^*_{Ma}$: 64 69 58
$lab^*rgb^*_{Ma}$: 1.0 0.5 0.0
$lab^*olv^*_{Ma}$: 1.0 0.42 0.0
Dreiecks-Helligkeit t^*

%Umfang
u^*_{rel} = 87
%Regularität
$g^*_{H,rel}$ = 67
$g^*_{C,rel}$ = 59

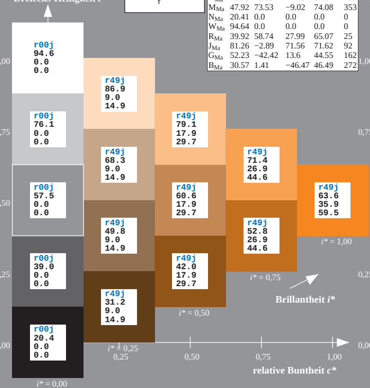

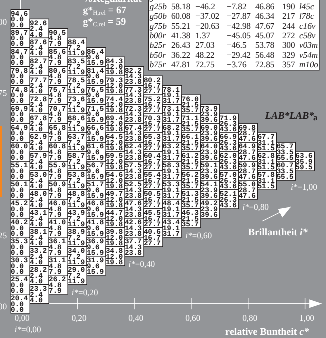

Ein und Ausgabe: Farbmetrisches Drucker-Reflektiv-System ORS20_95, L*=20_95 für relativen CIELAB-Buntton $h^* = lab^*h^* = h_{ab}/360 = 0.21$ $u^*_e = r75j$ $LAB^*LAB^*_a$
Daten für jede Farbe:
*lab*tch** und *lab*icu**
Bunttontexte:
$u^*_e = r75j$ $u^*_d = o68y$
Kontrastreduzierungsfaktor:
c_R = 1.0
Dreiecks-Helligkeit t^*

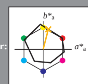

Daten für Maximalfarbe (Ma):
$LAB^*LAB^*_{Ma}$: 73 18 71
$LAB^*LCH^*_{Ma}$: 73 73 75
$lab^*rgb^*_{Ma}$: 1.0 0.75 0.0
$lab^*olv^*_{Ma}$: 1.0 0.68 0.0
Dreiecks-Helligkeit t^*

%Umfang
u^*_{rel} = 87
%Regularität
$g^*_{H,rel}$ = 67
$g^*_{C,rel}$ = 59

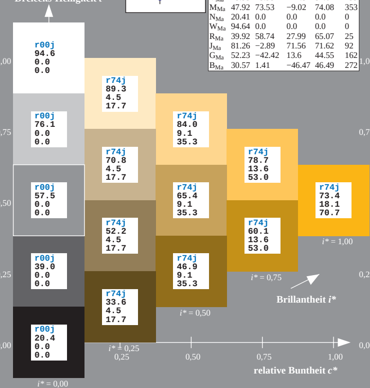

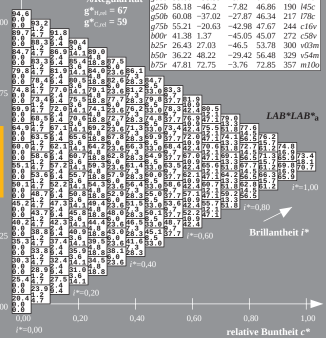

Ein und Ausgabe: Farbmetrisches Drucker-Reflektiv-System ORS20_95, L*=20_95 für relativen CIELAB-Buntton $h^* = lab^*h^* = h_{ab}/360 = 0.256$ $u^*_e = j00g$ $LAB^*LAB^*_a$
Daten für jede Farbe:
*lab*tch** und *lab*icu**
Bunttontexte:
$u^*_e = j00g$ $u^*_d = o93y$
Kontrastreduzierungsfaktor:
c_R = 1.0
Dreiecks-Helligkeit t^*

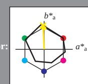

Daten für Maximalfarbe (Ma):
$LAB^*LAB^*_{Ma}$: 85 −3 84
$LAB^*LCH^*_{Ma}$: 85 84 92
$lab^*rgb^*_{Ma}$: 1.0 1.0 0.0
$lab^*olv^*_{Ma}$: 1.0 0.94 0.0
Dreiecks-Helligkeit t^*

%Umfang
u^*_{rel} = 87
%Regularität
$g^*_{H,rel}$ = 67
$g^*_{C,rel}$ = 59

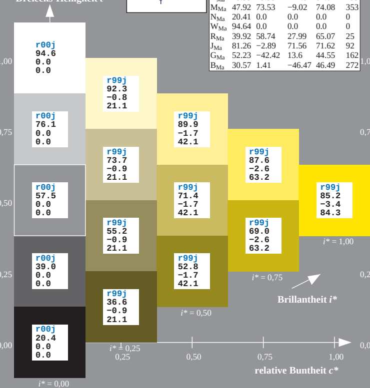

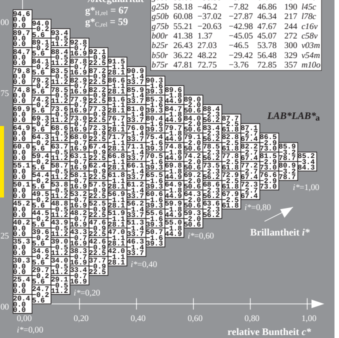

Ein und Ausgabe: Farbmetrisches Drucker-Reflektiv-System ORS20_95, L*=20_95 für relativen CIELAB-Buntton $h^* = lab^*h^* = h_{ab}/360 = 0.305$ $u^*_e = j25g$ $LAB^*LAB^*_a$
Daten für jede Farbe:
*lab*tch** und *lab*icu**
Bunttontexte:
$u^*_e = j25g$ $u^*_d = y24l$
Kontrastreduzierungsfaktor:
c_R = 1.0
Dreiecks-Helligkeit t^*

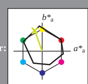

Daten für Maximalfarbe (Ma):
$LAB^*LAB^*_{Ma}$: 79 −26 72
$LAB^*LCH^*_{Ma}$: 79 77 109
$lab^*rgb^*_{Ma}$: 0.75 1.0 0.0
$lab^*olv^*_{Ma}$: 0.76 1.0 0.0
Dreiecks-Helligkeit t^*

%Umfang
u^*_{rel} = 87
%Regularität
$g^*_{H,rel}$ = 67
$g^*_{C,rel}$ = 59

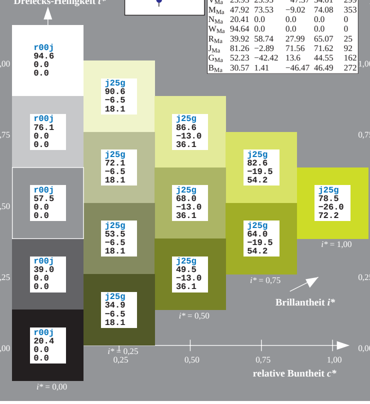

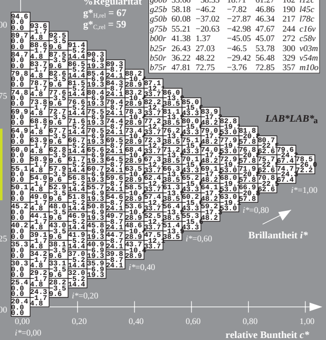

Ein und Ausgabe: Farbmetrisches Drucker-Reflektiv-System ORS20_95, L*=20_95 für relativen CIELAB-Buntton $h^* = lab^*h^* = h_{ab}/360 = 0.354$ $u^*_e = j50g$ $LAB^*LAB^*_a$
Daten für jede Farbe:
*lab*tch** und *lab*icu**
Bunttontexte:
$u^*_e = j50g$ $u^*_d = y55l$
Kontrastreduzierungsfaktor:
c_R = 1.0
Dreiecks-Helligkeit t^*

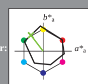

Daten für Maximalfarbe (Ma):
$LAB^*LAB^*_{Ma}$: 68 −43 56
$LAB^*LCH^*_{Ma}$: 68 70 127
$lab^*rgb^*_{Ma}$: 0.5 1.0 0.0
$lab^*olv^*_{Ma}$: 0.45 1.0 0.0
Dreiecks-Helligkeit t^*

%Umfang
u^*_{rel} = 87
%Regularität
$g^*_{H,rel}$ = 67
$g^*_{C,rel}$ = 59

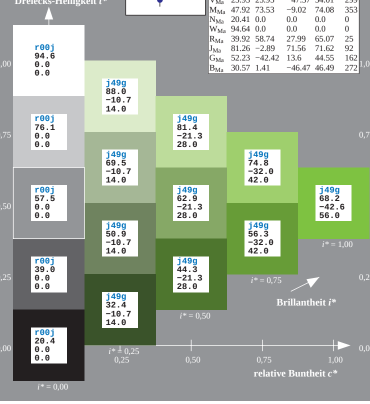

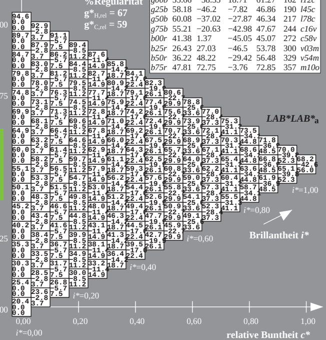

Ein und Ausgabe: Farbmetrisches Drucker-Reflektiv-System ORS20_95, L*=20_95 für relativen CIELAB-Buntton $h^* = lab^*h^* = h_{ab}/360 = 0.402$ $u^*_e = j75g$ $LAB^*LAB^*_a$
Daten für jede Farbe:
*lab*tch** und *lab*icu**
Bunttontexte:
$u^*_e = j75g$ $u^*_d = y85l$
Kontrastreduzierungsfaktor:
c_R = 1.0
Dreiecks-Helligkeit t^*

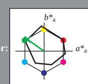

Daten für Maximalfarbe (Ma):
$LAB^*LAB^*_{Ma}$: 59 −58 41
$LAB^*LCH^*_{Ma}$: 59 71 144
$lab^*rgb^*_{Ma}$: 0.25 1.0 0.0
$lab^*olv^*_{Ma}$: 0.14 1.0 0.0
Dreiecks-Helligkeit t^*

%Umfang
u^*_{rel} = 87
%Regularität
$g^*_{H,rel}$ = 67
$g^*_{C,rel}$ = 59

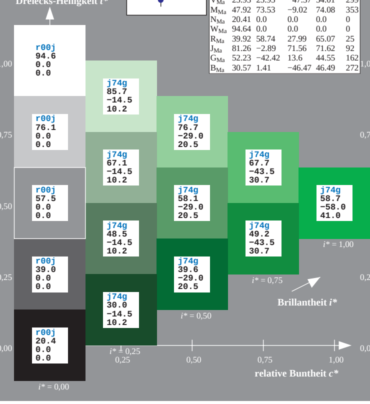

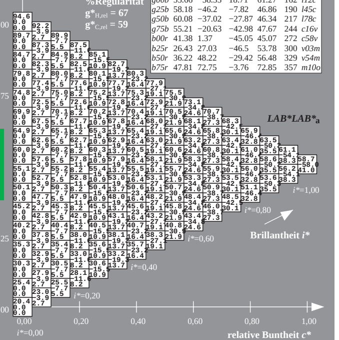

Ein und Ausgabe:
Farbmetrisches Drucker-Reflektiv-System ORS20_95a
Daten für jede Farbe:
u^*_e und Nummer *Nr.* = 00 .. 15
Elementar-Bunttontext:
u^*_e = 16 Bunttoene *r00j, r25j, ..., b75r*
Kontrastreduzierungsfaktor:
c_R = 1.0

ORS20_95a; adaptierte CIELAB-Daten

u^*_e	$L^*=L^*_a$	a^*_a	b^*_a	$C^*_{ab,a}$	$h^*_{ab,a}$	u^*_d
r00j	47.06	67.41	32.12	74.67	25	m84o
r25j	53.95	53.38	48.38	72.04	42	o17y
r50j	63.6	35.87	59.45	69.43	59	o42y
r75j	73.37	18.14	70.66	72.95	76	o68y
j00g	85.24	−3.4	84.28	84.35	92	o93y
j25g	78.53	−25.99	72.23	76.76	110	y24l
j50g	68.25	−42.61	56.0	70.37	127	y55l
j75g	58.73	−57.99	40.99	71.02	145	y85l
g00b	55.66	−58.35	18.71	61.27	162	l12c
g25b	58.18	−46.2	−7.82	46.86	190	l45c
g50b	60.08	−37.02	−27.87	46.34	217	l78c
g75b	55.21	−20.63	−42.98	47.67	244	c16v
b00r	41.38	1.37	−45.05	45.07	272	c58v
b25r	26.43	27.03	−46.5	53.78	300	v03m
b50r	36.22	48.22	−29.42	56.48	329	v54m
b75r	47.81	72.75	−3.76	72.85	357	m10o

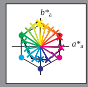

%Umfang
u^*_{rel} = 87
%Regularität
$g^*_{H,rel}$ = 67
$g^*_{C,rel}$ = 59

ORS20_95a; adaptierte CIELAB-Daten

Name	$L^*=L^*_a$	a^*_a	b^*_a	$C^*_{ab,a}$	$h^*_{ab,a}$
O_{Ma}	46.89	66.19	40.28	77.48	31
Y_{Ma}	88.66	−9.62	88.21	88.73	96
L_{Ma}	54.22	−65.29	33.87	73.56	153
C_{Ma}	61.43	−30.53	−42.04	51.96	234
V_{Ma}	25.93	25.95	−47.37	54.01	299
M_{Ma}	47.92	73.53	−9.02	74.08	353
N_{Ma}	20.41	0.0	0.0	0.0	0
W_{Ma}	94.64	0.0	0.0	0.0	0
R_{CIE}	39.92	58.74	27.99	65.07	25
J_{CIE}	81.26	−2.89	71.56	71.62	92
G_{CIE}	52.23	−42.42	13.6	44.55	162
B_{CIE}	30.57	1.41	−46.47	46.49	272

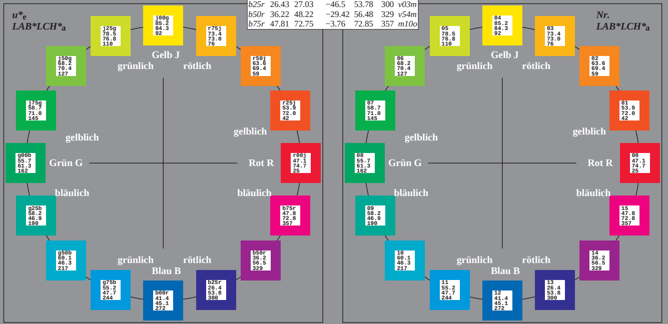

Ein und Ausgabe: Farbmetrisches Drucker-Reflektiv-System ORS20_95, L*=20_95 für relativen CIELAB-Buntton $h^* = lab^*h^* = h_{ab}/360$ = 0.071 u^*_e = r00j LAB*LCH*a
Daten für jede Farbe:
lab*tch* und lab*icu*
Bunttontexte:
u^*_e = r00j u^*_d = m84o
Kontrastreduzierungsfaktor:
c_R = 1.0
Dreiecks-Helligkeit *t**

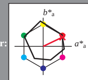

Daten für Maximalfarbe (Ma):
LAB*LAB*Ma: 47 67 32
LAB*LCH*Ma: 47 75 25
lab*rgb*Ma: 1.0 0.0 0.0
lab*olv*Ma: 1.0 0.0 0.15
Dreiecks-Helligkeit *t**

%Umfang
u^*_{rel} = 87
%Regularität
$g^*_{H,rel}$ = 67
$g^*_{C,rel}$ = 59

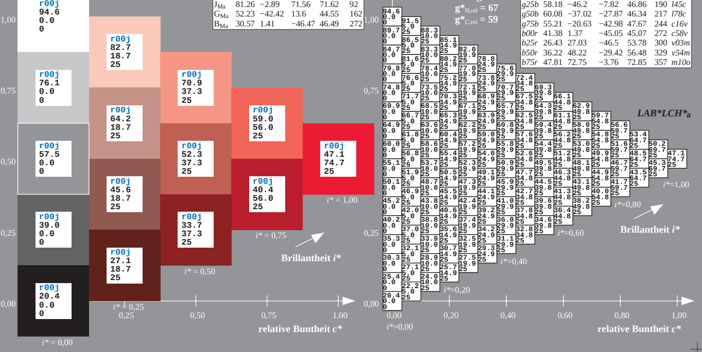

Ein und Ausgabe: Farbmetrisches Drucker-Reflektiv-System ORS20_95, L*=20_95 für relativen CIELAB-Buntton $h^* = lab^*h^* = h_{ab}/360$ = 0.117 u^*_e = r25j LAB*LCH*a
Daten für jede Farbe:
lab*tch* und lab*icu*
Bunttontexte:
u^*_e = r25j u^*_d = o17y
Kontrastreduzierungsfaktor:
c_R = 1.0
Dreiecks-Helligkeit *t**

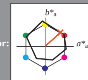

Daten für Maximalfarbe (Ma):
LAB*LAB*Ma: 54 53 48
LAB*LCH*Ma: 54 72 42
lab*rgb*Ma: 1.0 0.25 0.0
lab*olv*Ma: 1.0 0.17 0.0
Dreiecks-Helligkeit *t**

%Umfang
u^*_{rel} = 87
%Regularität
$g^*_{H,rel}$ = 67
$g^*_{C,rel}$ = 59

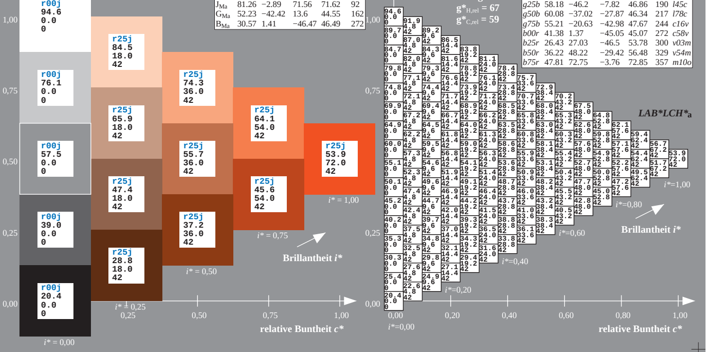

Ein und Ausgabe: Farbmetrisches Drucker-Reflektiv-System ORS20_95, L*=20_95 für relativen CIELAB-Buntton $h^* = lab^*h^* = h_{ab}/360$ = 0.164 u^*_e = r50j LAB*LCH*a
Daten für jede Farbe:
lab*tch* und lab*icu*
Bunttontexte:
u^*_e = r50j u^*_d = o42y
Kontrastreduzierungsfaktor:
c_R = 1.0
Dreiecks-Helligkeit *t**

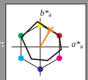

Daten für Maximalfarbe (Ma):
LAB*LAB*Ma: 64 36 59
LAB*LCH*Ma: 64 69 58
lab*rgb*Ma: 1.0 0.5 0.0
lab*olv*Ma: 1.0 0.42 0.0
Dreiecks-Helligkeit *t**

%Umfang
u^*_{rel} = 87
%Regularität
$g^*_{H,rel}$ = 67
$g^*_{C,rel}$ = 59

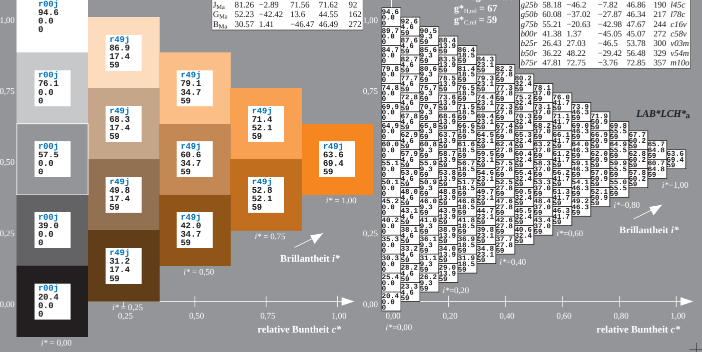

Ein und Ausgabe: Farbmetrisches Drucker-Reflektiv-System ORS20_95, L*=20_95 für relativen CIELAB-Buntton $h^* = lab^*h^* = h_{ab}/360$ = 0.21 u^*_e = r75j LAB*LCH*a
Daten für jede Farbe:
lab*tch* und lab*icu*
Bunttontexte:
u^*_e = r75j u^*_d = o68y
Kontrastreduzierungsfaktor:
c_R = 1.0
Dreiecks-Helligkeit *t**

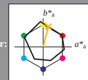

Daten für Maximalfarbe (Ma):
LAB*LAB*Ma: 73 18 71
LAB*LCH*Ma: 73 73 75
lab*rgb*Ma: 1.0 0.75 0.0
lab*olv*Ma: 1.0 0.68 0.0
Dreiecks-Helligkeit *t**

%Umfang
u^*_{rel} = 87
%Regularität
$g^*_{H,rel}$ = 67
$g^*_{C,rel}$ = 59

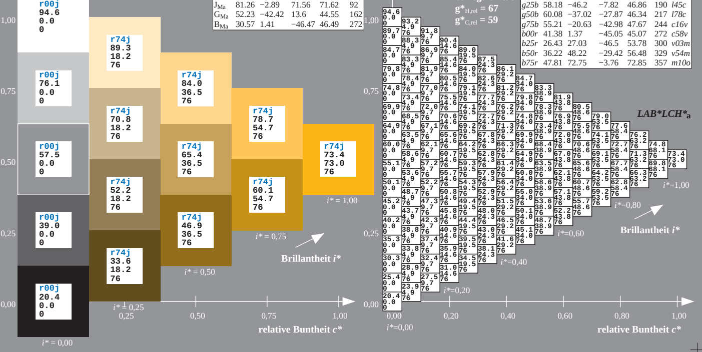

Ein und Ausgabe: Farbmetrisches Drucker-Reflektiv-System ORS20_95, L*=20_95 für relativen CIELAB-Buntton $h^* = lab^*h^* = h_{ab}/360$ = 0.256 u^*_e = j00g LAB*LCH*a
Daten für jede Farbe:
lab*tch* und lab*icu*
Bunttontexte:
u^*_e = j00g u^*_d = o93y
Kontrastreduzierungsfaktor:
c_R = 1.0
Dreiecks-Helligkeit *t**

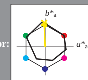

Daten für Maximalfarbe (Ma):
LAB*LAB*Ma: 85 −3 84
LAB*LCH*Ma: 85 84 92
lab*rgb*Ma: 1.0 1.0 0.0
lab*olv*Ma: 1.0 0.94 0.0
Dreiecks-Helligkeit *t**

%Umfang
u^*_{rel} = 87
%Regularität
$g^*_{H,rel}$ = 67
$g^*_{C,rel}$ = 59

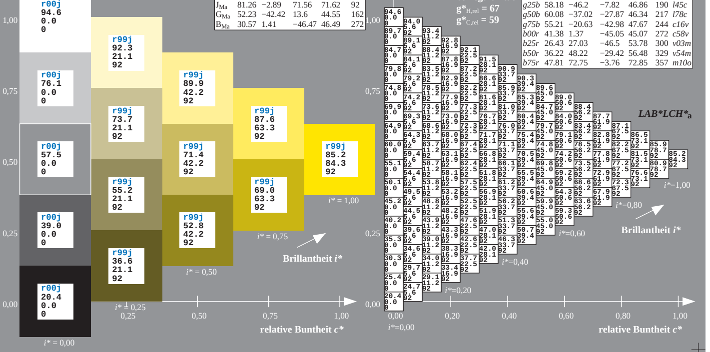

Ein und Ausgabe: Farbmetrisches Drucker-Reflektiv-System ORS20_95, L*=20_95 für relativen CIELAB-Buntton $h^* = lab^*h^* = h_{ab}/360$ = 0.305 u^*_e = j25g LAB*LCH*a
Daten für jede Farbe:
lab*tch* und lab*icu*
Bunttontexte:
u^*_e = j25g u^*_d = y24l
Kontrastreduzierungsfaktor:
c_R = 1.0
Dreiecks-Helligkeit *t**

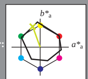

Daten für Maximalfarbe (Ma):
LAB*LAB*Ma: 79 −26 72
LAB*LCH*Ma: 79 77 109
lab*rgb*Ma: 0.75 1.0 0.0
lab*olv*Ma: 0.76 1.0 0.0
Dreiecks-Helligkeit *t**

%Umfang
u^*_{rel} = 87
%Regularität
$g^*_{H,rel}$ = 67
$g^*_{C,rel}$ = 59

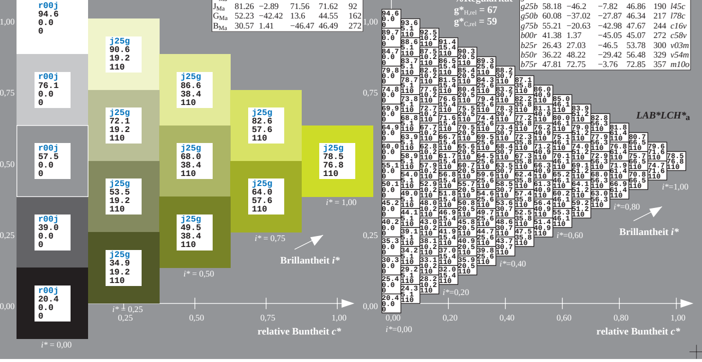

Ein und Ausgabe: Farbmetrisches Drucker-Reflektiv-System ORS20_95, L*=20_95 für relativen CIELAB-Buntton $h^* = lab^*h^* = h_{ab}/360$ = 0.354 u^*_e = j50g LAB*LCH*a
Daten für jede Farbe:
lab*tch* und lab*icu*
Bunttontexte:
u^*_e = j50g u^*_d = y55l
Kontrastreduzierungsfaktor:
c_R = 1.0
Dreiecks-Helligkeit *t**

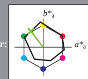

Daten für Maximalfarbe (Ma):
LAB*LAB*Ma: 68 −43 56
LAB*LCH*Ma: 68 70 127
lab*rgb*Ma: 0.5 1.0 0.0
lab*olv*Ma: 0.45 1.0 0.0
Dreiecks-Helligkeit *t**

%Umfang
u^*_{rel} = 87
%Regularität
$g^*_{H,rel}$ = 67
$g^*_{C,rel}$ = 59

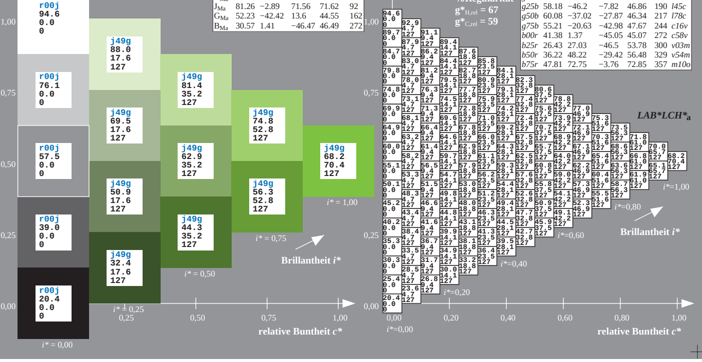

Ein und Ausgabe: Farbmetrisches Drucker-Reflektiv-System ORS20_95, L*=20_95 für relativen CIELAB-Buntton $h^* = lab^*h^* = h_{ab}/360$ = 0.402 u^*_e = j75g LAB*LCH*a
Daten für jede Farbe:
lab*tch* und lab*icu*
Bunttontexte:
u^*_e = j75g u^*_d = y85l
Kontrastreduzierungsfaktor:
c_R = 1.0
Dreiecks-Helligkeit *t**

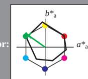

Daten für Maximalfarbe (Ma):
LAB*LAB*Ma: 59 −58 41
LAB*LCH*Ma: 59 71 144
lab*rgb*Ma: 0.25 1.0 0.0
lab*olv*Ma: 0.14 1.0 0.0
Dreiecks-Helligkeit *t**

%Umfang
u^*_{rel} = 87
%Regularität
$g^*_{H,rel}$ = 67
$g^*_{C,rel}$ = 59

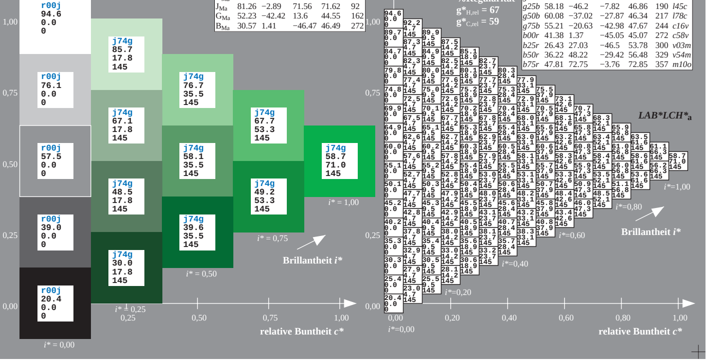

Ein und Ausgabe:
Farbmetrisches Drucker-Reflektiv-System ORS20_95a
Daten für jede Farbe:
u^*_e und Nummer *Nr.* = 00 .. 15
Elementar-Bunttontext:
u^*_e = 16 Bunttoene *r00j, r25j, ..., b75r*
Kontrastreduzierungsfaktor:
$c_R = 1.0$

ORS20_95a; adaptierte CIELAB-Daten

u^*_e	$L^*=L^*_a$	a^*_a	b^*_a	$C^*_{ab,a}$	$h^*_{ab,a}$	u^*_d
r00j	47.06	67.41	32.12	74.67	25	m84o
r25j	53.95	53.38	48.38	72.04	42	o17y
r50j	63.6	35.87	59.45	69.43	59	o42y
r75j	73.37	18.14	70.66	72.95	76	o68y
j00g	85.24	−3.4	84.28	84.35	92	o93y
j25g	78.53	−25.99	72.23	76.76	110	y24l
j50g	68.25	−42.61	56.0	70.37	127	y55l
j75g	58.73	−57.99	40.99	71.02	145	y85l
g00b	55.66	−58.35	18.71	61.27	162	l12c
g25b	58.18	−46.2	−7.82	46.86	190	l45c
g50b	60.08	−37.02	−27.87	46.34	217	l78c
g75b	55.21	−20.63	−42.98	47.67	244	c16v
b00r	41.38	1.37	−45.05	45.07	272	c58v
b25r	26.43	27.03	−46.5	53.78	300	v03m
b50r	36.22	48.22	−29.42	56.48	329	v54m
b75r	47.81	72.75	−3.76	72.85	357	m10o

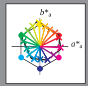

%Umfang
$u^*_{rel} = 87$
%Regularität
$g^*_{H,rel} = 67$
$g^*_{C,rel} = 59$

ORS20_95a; adaptierte CIELAB-Daten

Name	$L^*=L^*_a$	a^*_a	b^*_a	$C^*_{ab,a}$	$h^*_{ab,a}$
O_{Ma}	46.89	66.19	40.28	77.48	31
Y_{Ma}	88.66	−9.62	88.21	88.73	96
L_{Ma}	54.22	−65.29	33.87	73.56	153
C_{Ma}	61.43	−30.53	−42.04	51.96	234
V_{Ma}	25.93	25.95	−47.37	54.01	299
M_{Ma}	47.92	73.53	−9.02	74.08	353
N_{Ma}	20.41	0.0	0.0	0.0	0
W_{Ma}	94.64	0.0	0.0	0.0	0
R_{CIE}	39.92	58.74	27.99	65.07	25
J_{CIE}	81.26	−2.89	71.56	71.62	92
G_{CIE}	52.23	−42.42	13.6	44.55	162
B_{CIE}	30.57	1.41	−46.47	46.49	272

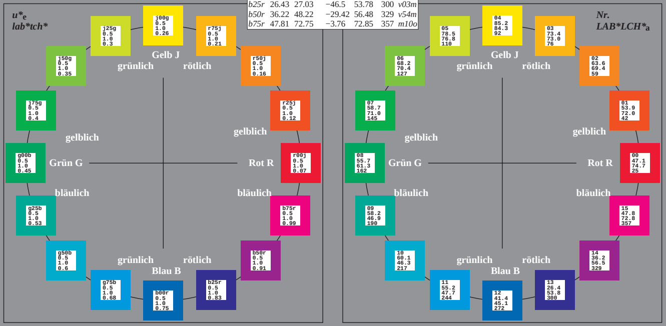

Ein und Ausgabe: Farbmetrisches Drucker-Reflektiv-System ORS20_95, L*=20_95 für relativen CIELAB-Buntton $h^* = lab^*h^* = h_{ab}/360 = 0.071$ $u^*_e = r00j$
lab*tch*
Daten für jede Farbe:
lab*tch* und lab*icu*
Bunttontexte:
$u^*_e = r00j$ $u^*_d = m84o$
Kontrastreduzierungsfaktor:
$c_R = 1.0$
Dreiecks-Helligkeit t*

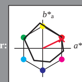

ORS20_95a; adaptierte CIELAB-Daten

u^*_e	$L^*=L^*_a$	a^*_a	b^*_a	$C^*_{ab,a}$	$h^*_{ab,a}$
O_{Ma}	46.89	66.19	40.28	77.48	31
Y_{Ma}	88.66	−9.62	88.21	88.73	96
L_{Ma}	54.22	−65.29	33.87	73.56	153
C_{Ma}	61.43	−30.53	−42.04	51.96	234
V_{Ma}	25.93	25.95	−47.37	54.01	299
M_{Ma}	47.92	73.53	−9.02	74.08	353
N_{Ma}	20.41	0.0	0.0	0.0	0
W_{Ma}	94.64	0.0	0.0	0.0	0
R_{Ma}	39.92	58.74	27.99	65.07	25
J_{Ma}	81.26	−2.89	71.56	71.62	92
G_{Ma}	52.23	−42.42	13.6	44.55	162
B_{Ma}	30.57	1.41	−46.47	46.49	272

Daten für Maximalfarbe (Ma):
$LAB^*LAB^*_{Ma}$: 47 67 32
$LAB^*LCH^*_{Ma}$: 47 75 25
$lab^*rgb^*_{Ma}$: 1.0 0.0 0.0
$lab^*olv^*_{Ma}$: 1.0 0.0 0.15
Dreiecks-Helligkeit t*

%Umfang
$u^*_{rel} = 87$
%Regularität
$g^*_{H,rel} = 67$
$g^*_{C,rel} = 59$

ORS20_95a; adaptierte CIELAB-Daten

u^*_e	$L^*=L^*_a$	a^*_a	b^*_a	$C^*_{ab,a}$	$h^*_{ab,a}$	u^*_d
r00j	47.06	67.41	32.12	74.67	25	m84o
r25j	53.95	53.38	48.38	72.04	42	o17y
r50j	63.6	35.87	59.45	69.43	59	o42y
r75j	73.37	18.14	70.66	72.95	76	o68y
j00g	85.24	−3.4	84.28	84.35	92	o93y
j25g	78.53	−25.99	72.23	76.76	110	y24l
j50g	68.25	−42.61	56.0	70.37	127	y55l
j75g	58.73	−57.99	40.99	71.02	145	y85l
g00b	55.66	−58.35	18.71	61.27	162	l12c
g25b	58.18	−46.2	−7.82	46.86	190	l45c
g50b	60.08	−37.02	−27.87	46.34	217	l78c
g75b	55.21	−20.63	−42.98	47.67	244	c16v
b00r	41.38	1.37	−45.05	45.07	272	c58v
b25r	26.43	27.03	−46.5	53.78	300	v03m
b50r	36.22	48.22	−29.42	56.48	329	v54m
b75r	47.81	72.75	−3.76	72.85	357	m10o

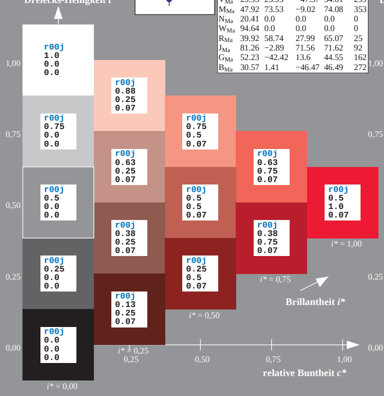

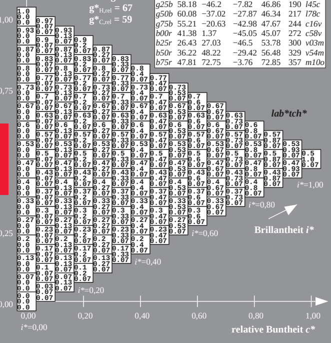

Ein und Ausgabe: Farbmetrisches Drucker-Reflektiv-System ORS20_95, L*=20_95 für relativen CIELAB-Buntton $h^* = lab^*h^* = h_{ab}/360 = 0.117$ $u^*_e = r25j$
lab*tch*
Daten für jede Farbe:
lab*tch* und lab*icu*
Bunttontexte:
$u^*_e = r25j$ $u^*_d = o17y$
Kontrastreduzierungsfaktor:
$c_R = 1.0$
Dreiecks-Helligkeit t*

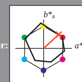

ORS20_95a; adaptierte CIELAB-Daten

u^*_e	$L^*=L^*_a$	a^*_a	b^*_a	$C^*_{ab,a}$	$h^*_{ab,a}$
O_{Ma}	46.89	66.19	40.28	77.48	31
Y_{Ma}	88.66	−9.62	88.21	88.73	96
L_{Ma}	54.22	−65.29	33.87	73.56	153
C_{Ma}	61.43	−30.53	−42.04	51.96	234
V_{Ma}	25.93	25.95	−47.37	54.01	299
M_{Ma}	47.92	73.53	−9.02	74.08	353
N_{Ma}	20.41	0.0	0.0	0.0	0
W_{Ma}	94.64	0.0	0.0	0.0	0
R_{Ma}	39.92	58.74	27.99	65.07	25
J_{Ma}	81.26	−2.89	71.56	71.62	92
G_{Ma}	52.23	−42.42	13.6	44.55	162
B_{Ma}	30.57	1.41	−46.47	46.49	272

Daten für Maximalfarbe (Ma):
$LAB^*LAB^*_{Ma}$: 54 53 48
$LAB^*LCH^*_{Ma}$: 54 72 42
$lab^*rgb^*_{Ma}$: 1.0 0.25 0.0
$lab^*olv^*_{Ma}$: 1.0 0.17 0.0
Dreiecks-Helligkeit t*

%Umfang
$u^*_{rel} = 87$
%Regularität
$g^*_{H,rel} = 67$
$g^*_{C,rel} = 59$

ORS20_95a; adaptierte CIELAB-Daten

u^*_e	$L^*=L^*_a$	a^*_a	b^*_a	$C^*_{ab,a}$	$h^*_{ab,a}$	u^*_d
r00j	47.06	67.41	32.12	74.67	25	m84o
r25j	53.95	53.38	48.38	72.04	42	o17y
r50j	63.6	35.87	59.45	69.43	59	o42y
r75j	73.37	18.14	70.66	72.95	76	o68y
j00g	85.24	−3.4	84.28	84.35	92	o93y
j25g	78.53	−25.99	72.23	76.76	110	y24l
j50g	68.25	−42.61	56.0	70.37	127	y55l
j75g	58.73	−57.99	40.99	71.02	145	y85l
g00b	55.66	−58.35	18.71	61.27	162	l12c
g25b	58.18	−46.2	−7.82	46.86	190	l45c
g50b	60.08	−37.02	−27.87	46.34	217	l78c
g75b	55.21	−20.63	−42.98	47.67	244	c16v
b00r	41.38	1.37	−45.05	45.07	272	c58v
b25r	26.43	27.03	−46.5	53.78	300	v03m
b50r	36.22	48.22	−29.42	56.48	329	v54m
b75r	47.81	72.75	−3.76	72.85	357	m10o

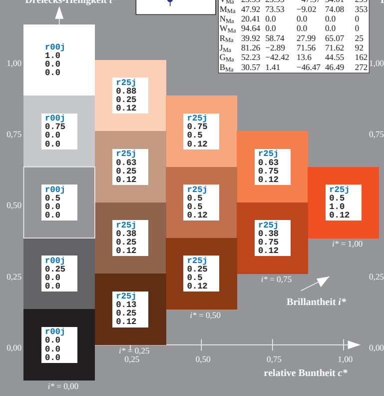

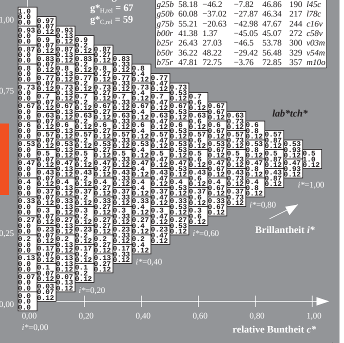

Ein und Ausgabe: Farbmetrisches Drucker-Reflektiv-System ORS20_95, L*=20_95 für relativen CIELAB-Buntton $h^* = lab^*h^* = h_{ab}/360 = 0.164$ $u^*_e = r50j$
lab*tch*
Daten für jede Farbe:
lab*tch* und lab*icu*
Bunttontexte:
$u^*_e = r50j$ $u^*_d = o42y$
Kontrastreduzierungsfaktor:
$c_R = 1.0$
Dreiecks-Helligkeit t*

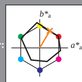

ORS20_95a; adaptierte CIELAB-Daten

u^*_e	$L^*=L^*_a$	a^*_a	b^*_a	$C^*_{ab,a}$	$h^*_{ab,a}$
O_{Ma}	46.89	66.19	40.28	77.48	31
Y_{Ma}	88.66	−9.62	88.21	88.73	96
L_{Ma}	54.22	−65.29	33.87	73.56	153
C_{Ma}	61.43	−30.53	−42.04	51.96	234
V_{Ma}	25.93	25.95	−47.37	54.01	299
M_{Ma}	47.92	73.53	−9.02	74.08	353
N_{Ma}	20.41	0.0	0.0	0.0	0
W_{Ma}	94.64	0.0	0.0	0.0	0
R_{Ma}	39.92	58.74	27.99	65.07	25
J_{Ma}	81.26	−2.89	71.56	71.62	92
G_{Ma}	52.23	−42.42	13.6	44.55	162
B_{Ma}	30.57	1.41	−46.47	46.49	272

Daten für Maximalfarbe (Ma):
$LAB^*LAB^*_{Ma}$: 64 36 59
$LAB^*LCH^*_{Ma}$: 64 69 58
$lab^*rgb^*_{Ma}$: 1.0 0.5 0.0
$lab^*olv^*_{Ma}$: 1.0 0.42 0.0
Dreiecks-Helligkeit t*

%Umfang
$u^*_{rel} = 87$
%Regularität
$g^*_{H,rel} = 67$
$g^*_{C,rel} = 59$

ORS20_95a; adaptierte CIELAB-Daten

u^*_e	$L^*=L^*_a$	a^*_a	b^*_a	$C^*_{ab,a}$	$h^*_{ab,a}$	u^*_d
r00j	47.06	67.41	32.12	74.67	25	m84o
r25j	53.95	53.38	48.38	72.04	42	o17y
r50j	63.6	35.87	59.45	69.43	59	o42y
r75j	73.37	18.14	70.66	72.95	76	o68y
j00g	85.24	−3.4	84.28	84.35	92	o93y
j25g	78.53	−25.99	72.23	76.76	110	y24l
j50g	68.25	−42.61	56.0	70.37	127	y55l
j75g	58.73	−57.99	40.99	71.02	145	y85l
g00b	55.66	−58.35	18.71	61.27	162	l12c
g25b	58.18	−46.2	−7.82	46.86	190	l45c
g50b	60.08	−37.02	−27.87	46.34	217	l78c
g75b	55.21	−20.63	−42.98	47.67	244	c16v
b00r	41.38	1.37	−45.05	45.07	272	c58v
b25r	26.43	27.03	−46.5	53.78	300	v03m
b50r	36.22	48.22	−29.42	56.48	329	v54m
b75r	47.81	72.75	−3.76	72.85	357	m10o

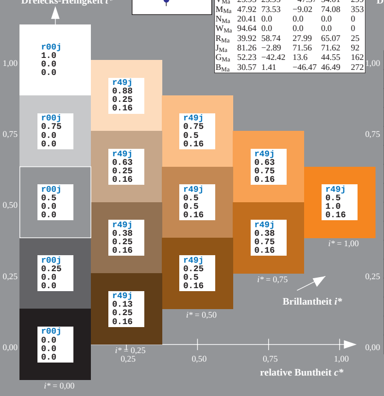

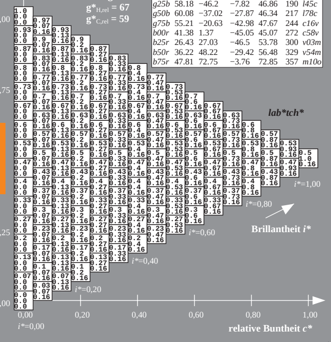

Ein und Ausgabe: Farbmetrisches Drucker-Reflektiv-System ORS20_95, L*=20_95 für relativen CIELAB-Buntton $h^* = lab^*h^* = h_{ab}/360 = 0.21$ $u^*_e = r75j$
lab*tch*
Daten für jede Farbe:
lab*tch* und lab*icu*
Bunttontexte:
$u^*_e = r75j$ $u^*_d = o68y$
Kontrastreduzierungsfaktor:
$c_R = 1.0$
Dreiecks-Helligkeit t*

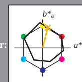

ORS20_95a; adaptierte CIELAB-Daten

u^*_e	$L^*=L^*_a$	a^*_a	b^*_a	$C^*_{ab,a}$	$h^*_{ab,a}$
O_{Ma}	46.89	66.19	40.28	77.48	31
Y_{Ma}	88.66	−9.62	88.21	88.73	96
L_{Ma}	54.22	−65.29	33.87	73.56	153
C_{Ma}	61.43	−30.53	−42.04	51.96	234
V_{Ma}	25.93	25.95	−47.37	54.01	299
M_{Ma}	47.92	73.53	−9.02	74.08	353
N_{Ma}	20.41	0.0	0.0	0.0	0
W_{Ma}	94.64	0.0	0.0	0.0	0
R_{Ma}	39.92	58.74	27.99	65.07	25
J_{Ma}	81.26	−2.89	71.56	71.62	92
G_{Ma}	52.23	−42.42	13.6	44.55	162
B_{Ma}	30.57	1.41	−46.47	46.49	272

Daten für Maximalfarbe (Ma):
$LAB^*LAB^*_{Ma}$: 73 18 71
$LAB^*LCH^*_{Ma}$: 73 73 75
$lab^*rgb^*_{Ma}$: 1.0 0.75 0.0
$lab^*olv^*_{Ma}$: 1.0 0.68 0.0
Dreiecks-Helligkeit t*

%Umfang
$u^*_{rel} = 87$
%Regularität
$g^*_{H,rel} = 67$
$g^*_{C,rel} = 59$

ORS20_95a; adaptierte CIELAB-Daten

u^*_e	$L^*=L^*_a$	a^*_a	b^*_a	$C^*_{ab,a}$	$h^*_{ab,a}$	u^*_d
r00j	47.06	67.41	32.12	74.67	25	m84o
r25j	53.95	53.38	48.38	72.04	42	o17y
r50j	63.6	35.87	59.45	69.43	59	o42y
r75j	73.37	18.14	70.66	72.95	76	o68y
j00g	85.24	−3.4	84.28	84.35	92	o93y
j25g	78.53	−25.99	72.23	76.76	110	y24l
j50g	68.25	−42.61	56.0	70.37	127	y55l
j75g	58.73	−57.99	40.99	71.02	145	y85l
g00b	55.66	−58.35	18.71	61.27	162	l12c
g25b	58.18	−46.2	−7.82	46.86	190	l45c
g50b	60.08	−37.02	−27.87	46.34	217	l78c
g75b	55.21	−20.63	−42.98	47.67	244	c16v
b00r	41.38	1.37	−45.05	45.07	272	c58v
b25r	26.43	27.03	−46.5	53.78	300	v03m
b50r	36.22	48.22	−29.42	56.48	329	v54m
b75r	47.81	72.75	−3.76	72.85	357	m10o

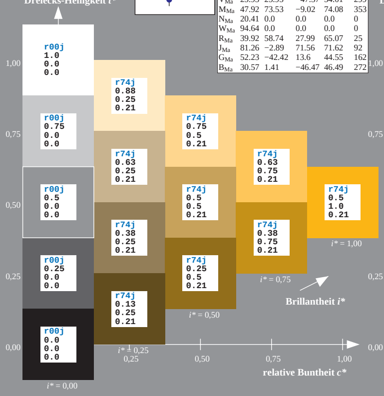

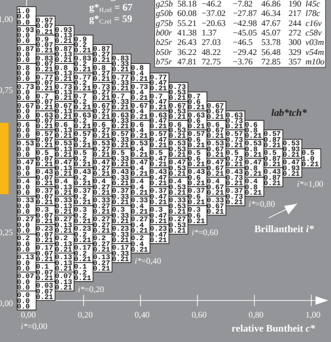

Ein und Ausgabe: Farbmetrisches Drucker-Reflektiv-System ORS20_95, L*=20_95 für relativen CIELAB-Buntton $h^* = lab^*h^* = h_{ab}/360 = 0.256$ $u^*_e = j00g$
lab*tch*
Daten für jede Farbe:
lab*tch* und lab*icu*
Bunttontexte:
$u^*_e = j00g$ $u^*_d = o93y$
Kontrastreduzierungsfaktor:
$c_R = 1.0$
Dreiecks-Helligkeit t*

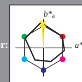

ORS20_95a; adaptierte CIELAB-Daten

u^*_e	$L^*=L^*_a$	a^*_a	b^*_a	$C^*_{ab,a}$	$h^*_{ab,a}$
O_{Ma}	46.89	66.19	40.28	77.48	31
Y_{Ma}	88.66	−9.62	88.21	88.73	96
L_{Ma}	54.22	−65.29	33.87	73.56	153
C_{Ma}	61.43	−30.53	−42.04	51.96	234
V_{Ma}	25.93	25.95	−47.37	54.01	299
M_{Ma}	47.92	73.53	−9.02	74.08	353
N_{Ma}	20.41	0.0	0.0	0.0	0
W_{Ma}	94.64	0.0	0.0	0.0	0
R_{Ma}	39.92	58.74	27.99	65.07	25
J_{Ma}	81.26	−2.89	71.56	71.62	92
G_{Ma}	52.23	−42.42	13.6	44.55	162
B_{Ma}	30.57	1.41	−46.47	46.49	272

Daten für Maximalfarbe (Ma):
$LAB^*LAB^*_{Ma}$: 85 −3 84
$LAB^*LCH^*_{Ma}$: 85 84 92
$lab^*rgb^*_{Ma}$: 1.0 1.0 0.0
$lab^*olv^*_{Ma}$: 1.0 0.94 0.0
Dreiecks-Helligkeit t*

%Umfang
$u^*_{rel} = 87$
%Regularität
$g^*_{H,rel} = 67$
$g^*_{C,rel} = 59$

ORS20_95a; adaptierte CIELAB-Daten

u^*_e	$L^*=L^*_a$	a^*_a	b^*_a	$C^*_{ab,a}$	$h^*_{ab,a}$	u^*_d
r00j	47.06	67.41	32.12	74.67	25	m84o
r25j	53.95	53.38	48.38	72.04	42	o17y
r50j	63.6	35.87	59.45	69.43	59	o42y
r75j	73.37	18.14	70.66	72.95	76	o68y
j00g	85.24	−3.4	84.28	84.35	92	o93y
j25g	78.53	−25.99	72.23	76.76	110	y24l
j50g	68.25	−42.61	56.0	70.37	127	y55l
j75g	58.73	−57.99	40.99	71.02	145	y85l
g00b	55.66	−58.35	18.71	61.27	162	l12c
g25b	58.18	−46.2	−7.82	46.86	190	l45c
g50b	60.08	−37.02	−27.87	46.34	217	l78c
g75b	55.21	−20.63	−42.98	47.67	244	c16v
b00r	41.38	1.37	−45.05	45.07	272	c58v
b25r	26.43	27.03	−46.5	53.78	300	v03m
b50r	36.22	48.22	−29.42	56.48	329	v54m
b75r	47.81	72.75	−3.76	72.85	357	m10o

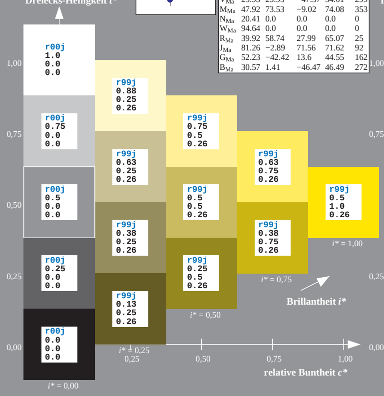

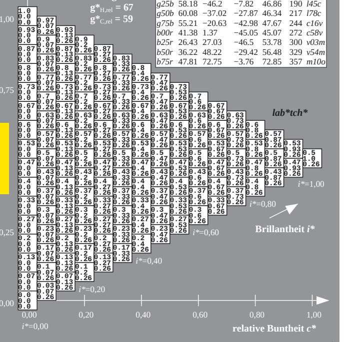

Ein und Ausgabe: Farbmetrisches Drucker-Reflektiv-System ORS20_95, L*=20_95 für relativen CIELAB-Buntton $h^* = lab^*h^* = h_{ab}/360 = 0.305$ $u^*_e = j25g$
lab*tch*
Daten für jede Farbe:
lab*tch* und lab*icu*
Bunttontexte:
$u^*_e = j25g$ $u^*_d = y24l$
Kontrastreduzierungsfaktor:
$c_R = 1.0$
Dreiecks-Helligkeit t*

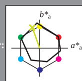

ORS20_95a; adaptierte CIELAB-Daten

u^*_e	$L^*=L^*_a$	a^*_a	b^*_a	$C^*_{ab,a}$	$h^*_{ab,a}$
O_{Ma}	46.89	66.19	40.28	77.48	31
Y_{Ma}	88.66	−9.62	88.21	88.73	96
L_{Ma}	54.22	−65.29	33.87	73.56	153
C_{Ma}	61.43	−30.53	−42.04	51.96	234
V_{Ma}	25.93	25.95	−47.37	54.01	299
M_{Ma}	47.92	73.53	−9.02	74.08	353
N_{Ma}	20.41	0.0	0.0	0.0	0
W_{Ma}	94.64	0.0	0.0	0.0	0
R_{Ma}	39.92	58.74	27.99	65.07	25
J_{Ma}	81.26	−2.89	71.56	71.62	92
G_{Ma}	52.23	−42.42	13.6	44.55	162
B_{Ma}	30.57	1.41	−46.47	46.49	272

Daten für Maximalfarbe (Ma):
$LAB^*LAB^*_{Ma}$: 79 −26 72
$LAB^*LCH^*_{Ma}$: 79 77 109
$lab^*rgb^*_{Ma}$: 0.75 1.0 0.0
$lab^*olv^*_{Ma}$: 0.76 1.0 0.0
Dreiecks-Helligkeit t*

%Umfang
$u^*_{rel} = 87$
%Regularität
$g^*_{H,rel} = 67$
$g^*_{C,rel} = 59$

ORS20_95a; adaptierte CIELAB-Daten

u^*_e	$L^*=L^*_a$	a^*_a	b^*_a	$C^*_{ab,a}$	$h^*_{ab,a}$	u^*_d
r00j	47.06	67.41	32.12	74.67	25	m84o
r25j	53.95	53.38	48.38	72.04	42	o17y
r50j	63.6	35.87	59.45	69.43	59	o42y
r75j	73.37	18.14	70.66	72.95	76	o68y
j00g	85.24	−3.4	84.28	84.35	92	o93y
j25g	78.53	−25.99	72.23	76.76	110	y24l
j50g	68.25	−42.61	56.0	70.37	127	y55l
j75g	58.73	−57.99	40.99	71.02	145	y85l
g00b	55.66	−58.35	18.71	61.27	162	l12c
g25b	58.18	−46.2	−7.82	46.86	190	l45c
g50b	60.08	−37.02	−27.87	46.34	217	l78c
g75b	55.21	−20.63	−42.98	47.67	244	c16v
b00r	41.38	1.37	−45.05	45.07	272	c58v
b25r	26.43	27.03	−46.5	53.78	300	v03m
b50r	36.22	48.22	−29.42	56.48	329	v54m
b75r	47.81	72.75	−3.76	72.85	357	m10o

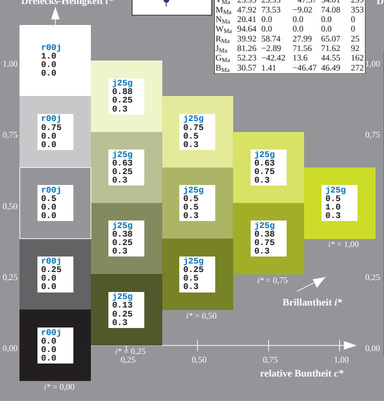

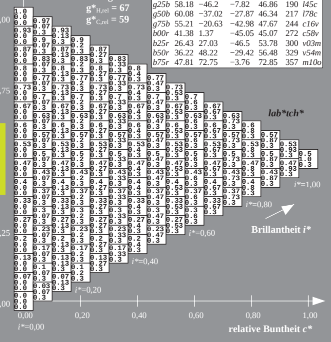

Ein und Ausgabe: Farbmetrisches Drucker-Reflektiv-System ORS20_95, L*=20_95 für relativen CIELAB-Buntton $h^* = lab^*h^* = h_{ab}/360 = 0.354$ $u^*_e = j50g$
lab*tch*
Daten für jede Farbe:
lab*tch* und lab*icu*
Bunttontexte:
$u^*_e = j50g$ $u^*_d = y55l$
Kontrastreduzierungsfaktor:
$c_R = 1.0$
Dreiecks-Helligkeit t*

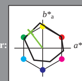

ORS20_95a; adaptierte CIELAB-Daten

u^*_e	$L^*=L^*_a$	a^*_a	b^*_a	$C^*_{ab,a}$	$h^*_{ab,a}$
O_{Ma}	46.89	66.19	40.28	77.48	31
Y_{Ma}	88.66	−9.62	88.21	88.73	96
L_{Ma}	54.22	−65.29	33.87	73.56	153
C_{Ma}	61.43	−30.53	−42.04	51.96	234
V_{Ma}	25.93	25.95	−47.37	54.01	299
M_{Ma}	47.92	73.53	−9.02	74.08	353
N_{Ma}	20.41	0.0	0.0	0.0	0
W_{Ma}	94.64	0.0	0.0	0.0	0
R_{Ma}	39.92	58.74	27.99	65.07	25
J_{Ma}	81.26	−2.89	71.56	71.62	92
G_{Ma}	52.23	−42.42	13.6	44.55	162
B_{Ma}	30.57	1.41	−46.47	46.49	272

Daten für Maximalfarbe (Ma):
$LAB^*LAB^*_{Ma}$: 68 −43 56
$LAB^*LCH^*_{Ma}$: 68 70 127
$lab^*rgb^*_{Ma}$: 0.5 1.0 0.0
$lab^*olv^*_{Ma}$: 0.45 1.0 0.0
Dreiecks-Helligkeit t*

%Umfang
$u^*_{rel} = 87$
%Regularität
$g^*_{H,rel} = 67$
$g^*_{C,rel} = 59$

ORS20_95a; adaptierte CIELAB-Daten

u^*_e	$L^*=L^*_a$	a^*_a	b^*_a	$C^*_{ab,a}$	$h^*_{ab,a}$	u^*_d
r00j	47.06	67.41	32.12	74.67	25	m84o
r25j	53.95	53.38	48.38	72.04	42	o17y
r50j	63.6	35.87	59.45	69.43	59	o42y
r75j	73.37	18.14	70.66	72.95	76	o68y
j00g	85.24	−3.4	84.28	84.35	92	o93y
j25g	78.53	−25.99	72.23	76.76	110	y24l
j50g	68.25	−42.61	56.0	70.37	127	y55l
j75g	58.73	−57.99	40.99	71.02	145	y85l
g00b	55.66	−58.35	18.71	61.27	162	l12c
g25b	58.18	−46.2	−7.82	46.86	190	l45c
g50b	60.08	−37.02	−27.87	46.34	217	l78c
g75b	55.21	−20.63	−42.98	47.67	244	c16v
b00r	41.38	1.37	−45.05	45.07	272	c58v
b25r	26.43	27.03	−46.5	53.78	300	v03m
b50r	36.22	48.22	−29.42	56.48	329	v54m
b75r	47.81	72.75	−3.76	72.85	357	m10o

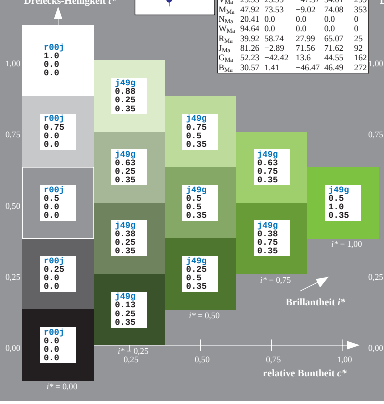

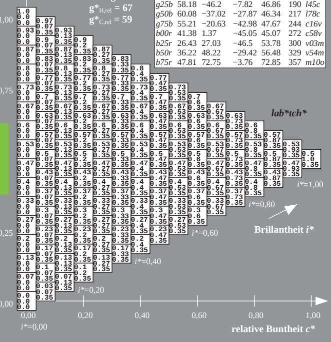

Ein und Ausgabe: Farbmetrisches Drucker-Reflektiv-System ORS20_95, L*=20_95 für relativen CIELAB-Buntton $h^* = lab^*h^* = h_{ab}/360 = 0.402$ $u^*_e = j75g$
lab*tch*
Daten für jede Farbe:
lab*tch* und lab*icu*
Bunttontexte:
$u^*_e = j75g$ $u^*_d = y85l$
Kontrastreduzierungsfaktor:
$c_R = 1.0$
Dreiecks-Helligkeit t*

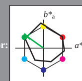

ORS20_95a; adaptierte CIELAB-Daten

u^*_e	$L^*=L^*_a$	a^*_a	b^*_a	$C^*_{ab,a}$	$h^*_{ab,a}$
O_{Ma}	46.89	66.19	40.28	77.48	31
Y_{Ma}	88.66	−9.62	88.21	88.73	96
L_{Ma}	54.22	−65.29	33.87	73.56	153
C_{Ma}	61.43	−30.53	−42.04	51.96	234
V_{Ma}	25.93	25.95	−47.37	54.01	299
M_{Ma}	47.92	73.53	−9.02	74.08	353
N_{Ma}	20.41	0.0	0.0	0.0	0
W_{Ma}	94.64	0.0	0.0	0.0	0
R_{Ma}	39.92	58.74	27.99	65.07	25
J_{Ma}	81.26	−2.89	71.56	71.62	92
G_{Ma}	52.23	−42.42	13.6	44.55	162
B_{Ma}	30.57	1.41	−46.47	46.49	272

Daten für Maximalfarbe (Ma):
$LAB^*LAB^*_{Ma}$: 59 −58 41
$LAB^*LCH^*_{Ma}$: 59 71 144
$lab^*rgb^*_{Ma}$: 0.25 1.0 0.0
$lab^*olv^*_{Ma}$: 0.14 1.0 0.0
Dreiecks-Helligkeit t*

%Umfang
$u^*_{rel} = 87$
%Regularität
$g^*_{H,rel} = 67$
$g^*_{C,rel} = 59$

ORS20_95a; adaptierte CIELAB-Daten

u^*_e	$L^*=L^*_a$	a^*_a	b^*_a	$C^*_{ab,a}$	$h^*_{ab,a}$	u^*_d
r00j	47.06	67.41	32.12	74.67	25	m84o
r25j	53.95	53.38	48.38	72.04	42	o17y
r50j	63.6	35.87	59.45	69.43	59	o42y
r75j	73.37	18.14	70.66	72.95	76	o68y
j00g	85.24	−3.4	84.28	84.35	92	o93y
j25g	78.53	−25.99	72.23	76.76	110	y24l
j50g	68.25	−42.61	56.0	70.37	127	y55l
j75g	58.73	−57.99	40.99	71.02	145	y85l
g00b	55.66	−58.35	18.71	61.27	162	l12c
g25b	58.18	−46.2	−7.82	46.86	190	l45c
g50b	60.08	−37.02	−27.87	46.34	217	l78c
g75b	55.21	−20.63	−42.98	47.67	244	c16v
b00r	41.38	1.37	−45.05	45.07	272	c58v
b25r	26.43	27.03	−46.5	53.78	300	v03m
b50r	36.22	48.22	−29.42	56.48	329	v54m
b75r	47.81	72.75	−3.76	72.85	357	m10o

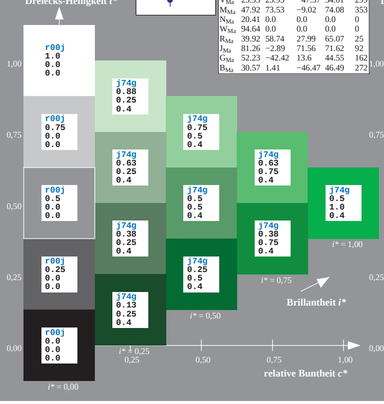

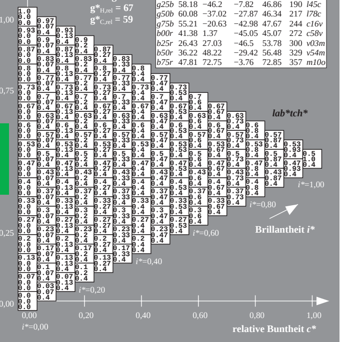

Ein und Ausgabe:
Farbmetrisches Drucker-Reflektiv-System ORS20_95a
Daten für jede Farbe:
u^*_R **und Nummer** *Nr.* **= 00 .. 15**
Elementar-Buntkontext:
u^*_R **= 16 Buntteone** *r00j, r25j, ..., b75r*
Kontrastreduzierungsfaktor:
c_R **= 1.0**

ORS20_95a; adaptierte CIELAB-Daten

	u^*_R	$L^*=L^*_R$	a^*_R	b^*_R	$C^*_{ab,R}$	$h^*_{ab,R}$	u^*_R	
r00j	47.06	67.41	32.12	74.67	25	*m84o*		
r25j	53.95	53.38	48.38	72.04	42	*o17y*		
r50j	63.6	35.87	59.45	69.43	59	*o42y*		
r75j	73.37	18.14	70.66	72.95	76	*o68y*		
j00g	85.24	-3.4	84.28	84.35	92	*o93y*		
j25g	78.53	-25.99	72.23	76.76	110	*y24l*		
j50g	68.25	-42.61	56.0	70.37	127	*y55l*		
j75g	58.73	-57.99	40.99	71.02	145	*y85l*		
j00b	55.66	-58.35	18.71	61.27	162	*l12c*		
g25b	58.18	-46.2	-7.82	46.86	190	*l45c*		
g50b	60.08	-37.02	-27.87	46.34	217	*l78c*		
g75b	55.21	-20.63	-42.98	47.67	244	*c16v*		
b00r	41.38	1.37	-45.05	45.07	272	*c58v*		
b25r	26.43	27.03	-46.5	53.78	300	*v03m*		
b50r	36.22	48.22	-29.42	56.48	329	*v54m*		
b75r	47.81	72.75	-3.76	72.85	357	*m10o*		

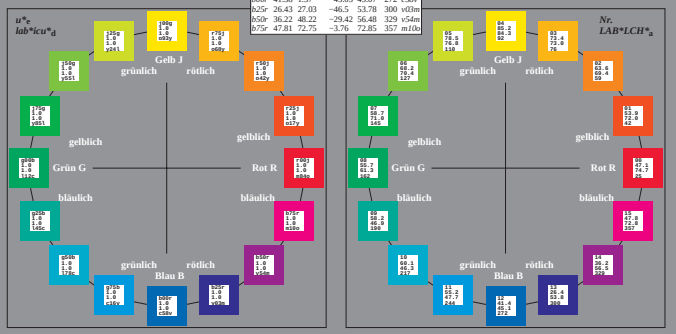

%Umfang
u^*_{rel} **= 87**
%Regularität
g^*_{rel} **= 67**
g^*_{Crel} **= 59**

ORS20_95a; adaptierte CIELAB-Daten

Name	$L^*=L^*_R$	a^*_R	b^*_R	$C^*_{ab,R}$	$h^*_{ab,R}$
O_{Mk}	46.89	66.19	40.28	77.48	31
Y_{Mk}	88.66	-9.62	88.21	88.73	96
L_{Mk}	54.22	-65.29	33.87	73.56	153
C_{Mk}	61.43	-30.53	-42.04	51.96	234
V_{Mk}	25.93	25.95	-47.37	54.01	299
M_{Mk}	47.92	73.53	-9.02	74.08	353
N_{Mk}	20.41	0.0	0.0	0.0	0
W_{Mk}	94.64	0.0	0.0	0.0	0
R_{Mk}	39.92	58.74	27.99	65.07	25
I_{Mk}	81.26	-2.89	71.56	71.62	92
G_{CIE}	52.23	-42.42	13.6	44.55	162
B_{CIE}	30.57	1.41	-46.47	46.49	272

Ein und Ausgabe: Farbmetrisches Drucker-Reflektiv-System ORS20_95, L*=20_95 für relativen CIELAB-Buntton $h^* = lab^*h^* = h_{ab}/360 = 0.071$ $u^*_R = r00j$ ***lab*icu*d**

Daten für jede Farbe:
lab*ich* und *lab*icu
Buntkontext:
u^*_R **=** *r00j* u^*_d **=** *m84o*
Kontrastreduzierungsfaktor:
c_R **= 1.0**
Dreiecks-Helligkeit t^*

Daten für Maximalfarbe (Ma):
***LAB*LAB*Ma:** 47 67 32
***LAB*LCH*Ma:** 47 75 25
***lab*rgb*Ma:** 1.0 0.0 0.0
***lab*olv*Ma:** 1.0 0.0 0.15
Dreiecks-Helligkeit t^*

%Umfang
u^*_{rel} **= 87**
%Regularität
g^*_{rel} **= 67**
g^*_{Crel} **= 59**

ORS20_95a; adaptierte CIELAB-Daten

	u^*_R	$L^*=L^*_R$	a^*_R	b^*_R	$C^*_{ab,R}$	$h^*_{ab,R}$	u^*_R
O_{Mk}	46.89	66.19	40.28	77.48	31		
Y_{Mk}	88.66	-9.62	88.21	88.73	96		
L_{Mk}	54.22	-65.29	33.87	73.56	153		
C_{Mk}	61.43	-30.53	-42.04	51.96	234		
V_{Mk}	25.93	25.95	-47.37	54.01	299		
M_{Mk}	47.92	73.53	-9.02	74.08	353		
N_{Mk}	20.41	0.0	0.0	0.0	0		
W_{Mk}	94.64	0.0	0.0	0.0	0		
R_{Mk}	39.92	58.74	27.99	65.07	25		
I_{Mk}	81.26	-2.89	71.56	71.62	92		
G_{CIE}	52.23	-42.42	13.6	44.55	162		
B_{CIE}	30.57	1.41	-46.47	46.49	272		

Ein und Ausgabe: Farbmetrisches Drucker-Reflektiv-System ORS20_95, L*=20_95 für relativen CIELAB-Buntton $h^* = lab^*h^* = h_{ab}/360 = 0.117$ $u^*_R = r25j$ ***lab*icu*d**

Daten für jede Farbe:
lab*ich* und *lab*icu
Buntkontext:
u^*_R **=** *r25j* u^*_d **=** *o17y*
Kontrastreduzierungsfaktor:
c_R **= 1.0**
Dreiecks-Helligkeit t^*

Daten für Maximalfarbe (Ma):
***LAB*LAB*Ma:** 54 53 48
***LAB*LCH*Ma:** 54 72 42
***lab*rgb*Ma:** 1.0 0.25 0.0
***lab*olv*Ma:** 1.0 0.17 0.0
Dreiecks-Helligkeit t^*

%Umfang
u^*_{rel} **= 87**
%Regularität
g^*_{rel} **= 67**
g^*_{Crel} **= 59**

ORS20_95a; adaptierte CIELAB-Daten

	u^*_R	$L^*=L^*_R$	a^*_R	b^*_R	$C^*_{ab,R}$	$h^*_{ab,R}$	u^*_R
O_{Mk}	46.89	66.19	40.28	77.48	31		
Y_{Mk}	88.66	-9.62	88.21	88.73	96		
L_{Mk}	54.22	-65.29	33.87	73.56	153		
C_{Mk}	61.43	-30.53	-42.04	51.96	234		
V_{Mk}	25.93	25.95	-47.37	54.01	299		
M_{Mk}	47.92	73.53	-9.02	74.08	353		
N_{Mk}	20.41	0.0	0.0	0.0	0		
W_{Mk}	94.64	0.0	0.0	0.0	0		
R_{Mk}	39.92	58.74	27.99	65.07	25		
I_{Mk}	81.26	-2.89	71.56	71.62	92		
G_{CIE}	52.23	-42.42	13.6	44.55	162		
B_{CIE}	30.57	1.41	-46.47	46.49	272		

Ein und Ausgabe: Farbmetrisches Drucker-Reflektiv-System ORS20_95, L*=20_95 für relativen CIELAB-Buntton $h^* = lab^*h^* = h_{ab}/360 = 0.164$ $u^*_R = r50j$ ***lab*icu*d**

Daten für jede Farbe:
lab*ich* und *lab*icu
Buntkontext:
u^*_R **=** *r50j* u^*_d **=** *o42y*
Kontrastreduzierungsfaktor:
c_R **= 1.0**
Dreiecks-Helligkeit t^*

Daten für Maximalfarbe (Ma):
***LAB*LAB*Ma:** 64 36 59
***LAB*LCH*Ma:** 64 69 58
***lab*rgb*Ma:** 1.0 0.5 0.0
***lab*olv*Ma:** 1.0 0.42 0.0
Dreiecks-Helligkeit t^*

%Umfang
u^*_{rel} **= 87**
%Regularität
g^*_{rel} **= 67**
g^*_{Crel} **= 59**

ORS20_95a; adaptierte CIELAB-Daten

	u^*_R	$L^*=L^*_R$	a^*_R	b^*_R	$C^*_{ab,R}$	$h^*_{ab,R}$	u^*_R
O_{Mk}	46.89	66.19	40.28	77.48	31		
Y_{Mk}	88.66	-9.62	88.21	88.73	96		
L_{Mk}	54.22	-65.29	33.87	73.56	153		
C_{Mk}	61.43	-30.53	-42.04	51.96	234		
V_{Mk}	25.93	25.95	-47.37	54.01	299		
M_{Mk}	47.92	73.53	-9.02	74.08	353		
N_{Mk}	20.41	0.0	0.0	0.0	0		
W_{Mk}	94.64	0.0	0.0	0.0	0		
R_{Mk}	39.92	58.74	27.99	65.07	25		
I_{Mk}	81.26	-2.89	71.56	71.62	92		
G_{CIE}	52.23	-42.42	13.6	44.55	162		
B_{CIE}	30.57	1.41	-46.47	46.49	272		

Ein und Ausgabe: Farbmetrisches Drucker-Reflektiv-System ORS20_95, L*=20_95 für relativen CIELAB-Buntton $h^* = lab^*h^* = h_{ab}/360 = 0.21$ $u^*_R = r75j$ ***lab*icu*d**

Daten für jede Farbe:
lab*ich* und *lab*icu
Buntkontext:
u^*_R **=** *r75j* u^*_d **=** *o68y*
Kontrastreduzierungsfaktor:
c_R **= 1.0**
Dreiecks-Helligkeit t^*

Daten für Maximalfarbe (Ma):
***LAB*LAB*Ma:** 73 18 71
***LAB*LCH*Ma:** 73 73 75
***lab*rgb*Ma:** 1.0 0.75 0.0
***lab*olv*Ma:** 1.0 0.68 0.0
Dreiecks-Helligkeit t^*

%Umfang
u^*_{rel} **= 87**
%Regularität
g^*_{rel} **= 67**
g^*_{Crel} **= 59**

ORS20_95a; adaptierte CIELAB-Daten

	u^*_R	$L^*=L^*_R$	a^*_R	b^*_R	$C^*_{ab,R}$	$h^*_{ab,R}$	u^*_R
O_{Mk}	46.89	66.19	40.28	77.48	31		
Y_{Mk}	88.66	-9.62	88.21	88.73	96		
L_{Mk}	54.22	-65.29	33.87	73.56	153		
C_{Mk}	61.43	-30.53	-42.04	51.96	234		
V_{Mk}	25.93	25.95	-47.37	54.01	299		
M_{Mk}	47.92	73.53	-9.02	74.08	353		
N_{Mk}	20.41	0.0	0.0	0.0	0		
W_{Mk}	94.64	0.0	0.0	0.0	0		
R_{Mk}	39.92	58.74	27.99	65.07	25		
I_{Mk}	81.26	-2.89	71.56	71.62	92		
G_{CIE}	52.23	-42.42	13.6	44.55	162		
B_{CIE}	30.57	1.41	-46.47	46.49	272		

Ein und Ausgabe: Farbmetrisches Drucker-Reflektiv-System ORS20_95, L*=20_95 für relativen CIELAB-Buntton $h^* = lab^*h^* = h_{ab}/360 = 0.256$ $u^*_R = j00g$ ***lab*icu*d**

Daten für jede Farbe:
lab*ich* und *lab*icu
Buntkontext:
u^*_R **=** *j00g* u^*_d **=** *o93y*
Kontrastreduzierungsfaktor:
c_R **= 1.0**
Dreiecks-Helligkeit t^*

Daten für Maximalfarbe (Ma):
***LAB*LAB*Ma:** 85 -3 84
***LAB*LCH*Ma:** 85 84 92
***lab*rgb*Ma:** 1.0 1.0 0.0
***lab*olv*Ma:** 1.0 0.94 0.0
Dreiecks-Helligkeit t^*

%Umfang
u^*_{rel} **= 87**
%Regularität
g^*_{rel} **= 67**
g^*_{Crel} **= 59**

ORS20_95a; adaptierte CIELAB-Daten

	u^*_R	$L^*=L^*_R$	a^*_R	b^*_R	$C^*_{ab,R}$	$h^*_{ab,R}$	u^*_R
O_{Mk}	46.89	66.19	40.28	77.48	31		
Y_{Mk}	88.66	-9.62	88.21	88.73	96		
L_{Mk}	54.22	-65.29	33.87	73.56	153		
C_{Mk}	61.43	-30.53	-42.04	51.96	234		
V_{Mk}	25.93	25.95	-47.37	54.01	299		
M_{Mk}	47.92	73.53	-9.02	74.08	353		
N_{Mk}	20.41	0.0	0.0	0.0	0		
W_{Mk}	94.64	0.0	0.0	0.0	0		
R_{Mk}	39.92	58.74	27.99	65.07	25		
I_{Mk}	81.26	-2.89	71.56	71.62	92		
G_{CIE}	52.23	-42.42	13.6	44.55	162		
B_{CIE}	30.57	1.41	-46.47	46.49	272		

Ein und Ausgabe: Farbmetrisches Drucker-Reflektiv-System ORS20_95, L*=20_95 für relativen CIELAB-Buntton $h^* = lab^*h^* = h_{ab}/360 = 0.305$ $u^*_R = j25g$ ***lab*icu*d**

Daten für jede Farbe:
lab*ich* und *lab*icu
Buntkontext:
u^*_R **=** *j25g* u^*_d **=** *y24l*
Kontrastreduzierungsfaktor:
c_R **= 1.0**
Dreiecks-Helligkeit t^*

Daten für Maximalfarbe (Ma):
***LAB*LAB*Ma:** 79 −26 72
***LAB*LCH*Ma:** 79 77 109
***lab*rgb*Ma:** 0.75 1.0 0.0
***lab*olv*Ma:** 0.76 1.0 0.0
Dreiecks-Helligkeit t^*

%Umfang
u^*_{rel} **= 87**
%Regularität
g^*_{rel} **= 67**
g^*_{Crel} **= 59**

ORS20_95a; adaptierte CIELAB-Daten

	u^*_R	$L^*=L^*_R$	a^*_R	b^*_R	$C^*_{ab,R}$	$h^*_{ab,R}$	u^*_R
O_{Mk}	46.89	66.19	40.28	77.48	31		
Y_{Mk}	88.66	-9.62	88.21	88.73	96		
L_{Mk}	54.22	-65.29	33.87	73.56	153		
C_{Mk}	61.43	-30.53	-42.04	51.96	234		
V_{Mk}	25.93	25.95	-47.37	54.01	299		
M_{Mk}	47.92	73.53	-9.02	74.08	353		
N_{Mk}	20.41	0.0	0.0	0.0	0		
W_{Mk}	94.64	0.0	0.0	0.0	0		
R_{Mk}	39.92	58.74	27.99	65.07	25		
I_{Mk}	81.26	-2.89	71.56	71.62	92		
G_{CIE}	52.23	-42.42	13.6	44.55	162		
B_{CIE}	30.57	1.41	-46.47	46.49	272		

Ein und Ausgabe: Farbmetrisches Drucker-Reflektiv-System ORS20_95, L*=20_95 für relativen CIELAB-Buntton $h^* = lab^*h^* = h_{ab}/360 = 0.354$ $u^*_R = j50g$ ***lab*icu*d**

Daten für jede Farbe:
lab*ich* und *lab*icu
Buntkontext:
u^*_R **=** *j50g* u^*_d **=** *y55l*
Kontrastreduzierungsfaktor:
c_R **= 1.0**
Dreiecks-Helligkeit t^*

Daten für Maximalfarbe (Ma):
***LAB*LAB*Ma:** 68 −43 56
***LAB*LCH*Ma:** 68 70 127
***lab*rgb*Ma:** 0.5 1.0 0.0
***lab*olv*Ma:** 0.45 1.0 0.0
Dreiecks-Helligkeit t^*

%Umfang
u^*_{rel} **= 87**
%Regularität
g^*_{rel} **= 67**
g^*_{Crel} **= 59**

ORS20_95a; adaptierte CIELAB-Daten

	u^*_R	$L^*=L^*_R$	a^*_R	b^*_R	$C^*_{ab,R}$	$h^*_{ab,R}$	u^*_R
O_{Mk}	46.89	66.19	40.28	77.48	31		
Y_{Mk}	88.66	-9.62	88.21	88.73	96		
L_{Mk}	54.22	-65.29	33.87	73.56	153		
C_{Mk}	61.43	-30.53	-42.04	51.96	234		
V_{Mk}	25.93	25.95	-47.37	54.01	299		
M_{Mk}	47.92	73.53	-9.02	74.08	353		
N_{Mk}	20.41	0.0	0.0	0.0	0		
W_{Mk}	94.64	0.0	0.0	0.0	0		
R_{Mk}	39.92	58.74	27.99	65.07	25		
I_{Mk}	81.26	-2.89	71.56	71.62	92		
G_{CIE}	52.23	-42.42	13.6	44.55	162		
B_{CIE}	30.57	1.41	-46.47	46.49	272		

Ein und Ausgabe: Farbmetrisches Drucker-Reflektiv-System ORS20_95, L*=20_95 für relativen CIELAB-Buntton $h^* = lab^*h^* = h_{ab}/360 = 0.402$ $u^*_R = j75g$ ***lab*icu*d**

Daten für jede Farbe:
lab*ich* und *lab*icu
Buntkontext:
u^*_R **=** *j75g* u^*_d **=** *y85l*
Kontrastreduzierungsfaktor:
c_R **= 1.0**
Dreiecks-Helligkeit t^*

Daten für Maximalfarbe (Ma):
***LAB*LAB*Ma:** 59 −58 41
***LAB*LCH*Ma:** 59 71 144
***lab*rgb*Ma:** 0.25 1.0 0.0
***lab*olv*Ma:** 0.14 1.0 0.0
Dreiecks-Helligkeit t^*

%Umfang
u^*_{rel} **= 87**
%Regularität
g^*_{rel} **= 67**
g^*_{Crel} **= 59**

ORS20_95a; adaptierte CIELAB-Daten

	u^*_R	$L^*=L^*_R$	a^*_R	b^*_R	$C^*_{ab,R}$	$h^*_{ab,R}$	u^*_R
O_{Mk}	46.89	66.19	40.28	77.48	31		
Y_{Mk}	88.66	-9.62	88.21	88.73	96		
L_{Mk}	54.22	-65.29	33.87	73.56	153		
C_{Mk}	61.43	-30.53	-42.04	51.96	234		
V_{Mk}	25.93	25.95	-47.37	54.01	299		
M_{Mk}	47.92	73.53	-9.02	74.08	353		
N_{Mk}	20.41	0.0	0.0	0.0	0		
W_{Mk}	94.64	0.0	0.0	0.0	0		
R_{Mk}	39.92	58.74	27.99	65.07	25		
I_{Mk}	81.26	-2.89	71.56	71.62	92		
G_{CIE}	52.23	-42.42	13.6	44.55	162		
B_{CIE}	30.57	1.41	-46.47	46.49	272		

Ein und Ausgabe:
Farbmetrisches Drucker-Reflektiv-System ORS20_95a
Daten für jede Farbe:
u^*_R **und Nummer** *Nr.* **= 00 .. 15**
Elementar-Buntkontext:
u^*_R **= 16 Buntteone** *r00j, r25j, ..., b75r*
Kontrastreduzierungsfaktor:
c_R **= 1.0**

ORS20_95a; adaptierte CIELAB-Daten

	u^*_R	$L^*=L^*_R$	a^*_R	b^*_R	$C^*_{ab,R}$	$h^*_{ab,R}$	u^*_R	
r00j	47.06	67.41	32.12	74.67	25	*m84o*		
r25j	53.95	53.38	48.38	72.04	42	*o17y*		
r50j	63.6	35.87	59.45	69.43	59	*o42y*		
r75j	73.37	18.14	70.66	72.95	76	*o68y*		
j00g	85.24	−3.4	84.28	84.35	92	*o93y*		
j25g	78.53	−25.99	72.23	76.76	110	*y24l*		
j50g	68.25	−42.61	56.0	70.37	127	*y55l*		
j75g	58.73	−57.99	40.99	71.02	145	*y85l*		
p00b	55.66	−58.35	18.71	61.27	162	*l12c*		
p25b	58.18	−46.2	−7.82	46.86	190	*l45c*		
p50b	60.08	−37.02	−27.87	46.34	217	*l78c*		
p75b	55.21	−20.63	−42.98	47.67	272	*c16lv*		
b00r	41.38	1.37	−45.05	45.07	272	*c58lv*		
b25r	26.43	27.03	−46.5	53.78	300	*v03m*		
b50r	36.22	48.22	−29.42	56.48	329	*v54m*		
b75r	47.81	72.75	−3.76	72.85	357	*m10o*		

%Umfang u^*_{rel} = 87
%Regularität $g^*_{R,rel}$ = 67
$g^*_{R,Cel}$ = 59

ORS20_95; CIELAB-Daten

Name	$L^*=L^*$	a^*	b^*	C^*_{ab}	h^*_{ab}
O_{Mi}	46.89	66.08	41.48	78.02	32
Y_{Mi}	88.66	−10.34	90.28	90.87	97
L_{Mi}	54.22	−65.51	35.22	74.38	152
C_{Mi}	61.43	−30.85	−40.54	50.94	233
V_{Mi}	25.93	26.15	−46.61	53.44	299
M_{Mi}	47.92	73.41	−7.8	73.82	354
N_{Mi}	20.41	0.28	0.64	0.7	66
W_{Mi}	94.64	−0.81	2.2	2.34	110
R_{Mi}	39.92	58.74	27.99	65.07	25
G_{Mi}	81.26	−2.89	71.56	71.62	92
B_{CIE}	30.57	1.41	−46.47	46.49	272

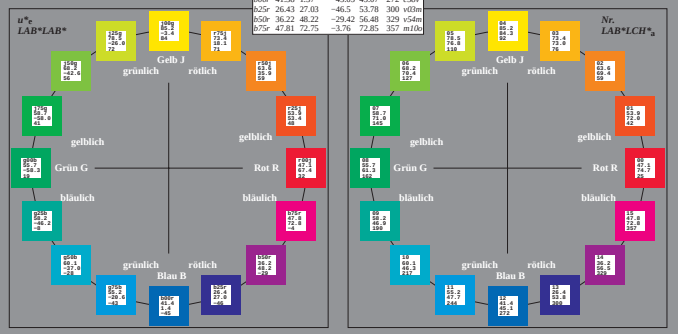

Ein und Ausgabe: Farbmetrisches Drucker-Reflektiv-System ORS20_95, L*=20_95 für relativen CIELAB-Buntton $h^* = lab^*h^* = h_{ab}/360 = 0.071$ $u^*_R = r00j$

Daten für jede Farbe:
*lab*ch* und lab*icu**
Buntkontexte:
u^*_R **=** *r00j* u^*_R **=** *m84o*
Kontrastreduzierungsfaktor:
c_R **= 1.0**
Dreiecks-Helligkeit *t**

Daten für Maximalfarbe (Ma):
*LAB*LAB**Ma: 47 67 32
*LAB*LCH**Ma: 47 75 25
*lab*rgb**Ma: 1.0 0.0 0.0
*lab*oIv**Ma: 1.0 0.0 0.15
Dreiecks-Helligkeit *t**

ORS20_95a; adaptierte CIELAB-Daten

	u^*_R	$L^*=L^*$	a^*	b^*	C^*_{ab}	h^*_{ab}	u^*_R
r00j	47.06	67.41	32.12	74.67	25	*m84o*	
r25j	53.95	53.38	48.38	72.04	42	*o17y*	
r50j	63.6	35.87	59.45	69.43	59	*o42y*	
r75j	73.37	18.14	70.66	72.95	76	*o68y*	
j00g	85.24	−3.4	84.28	84.35	92	*o93y*	
j25g	78.53	−25.99	72.23	76.76	110	*y24l*	
j50g	68.25	−42.61	56.0	70.37	127	*y55l*	
j75g	58.73	−57.99	40.99	71.02	145	*y85l*	
p00b	55.66	−58.35	18.71	61.27	162	*l12c*	
p25b	58.18	−46.2	−7.82	46.86	190	*l45c*	
p50b	60.08	−37.02	−27.87	46.34	217	*l78c*	
p75b	55.21	−20.63	−42.98	47.67	244	*c16lv*	
b00r	41.38	1.37	−45.05	45.07	272	*c58lv*	
b25r	26.43	27.03	−46.5	53.78	300	*v03m*	
b50r	36.22	48.22	−29.42	56.48	329	*v54m*	
b75r	47.81	72.75	−3.76	72.85	357	*m10o*	

%Umfang u^*_{rel} = 87
%Regularität $g^*_{R,rel}$ = 67
$g^*_{R,Cel}$ = 59

Ein und Ausgabe: Farbmetrisches Drucker-Reflektiv-System ORS20_95, L*=20_95 für relativen CIELAB-Buntton $h^* = lab^*h^* = h_{ab}/360 = 0.117$ $u^*_R = r25j$

Daten für jede Farbe:
*lab*ch* und lab*icu**
Buntkontexte:
u^*_R **=** *r25j* u^*_R **=** *o17y*
Kontrastreduzierungsfaktor:
c_R **= 1.0**
Dreiecks-Helligkeit *t**

Daten für Maximalfarbe (Ma):
*LAB*LAB**Ma: 54 53 48
*LAB*LCH**Ma: 54 72 42
*lab*rgb**Ma: 1.0 0.25 0.0
*lab*oIv**Ma: 1.0 0.17 0.0
Dreiecks-Helligkeit *t**

ORS20_95a; adaptierte CIELAB-Daten

	u^*_R	$L^*=L^*$	a^*	b^*	C^*_{ab}	h^*_{ab}	u^*_R
r00j	47.06	67.41	32.12	74.67	25	*m84o*	
r25j	53.95	53.38	48.38	72.04	42	*o17y*	
r50j	63.6	35.87	59.45	69.43	59	*o42y*	
r75j	73.37	18.14	70.66	72.95	76	*o68y*	
j00g	85.24	−3.4	84.28	84.35	92	*o93y*	
j25g	78.53	−25.99	72.23	76.76	110	*y24l*	
j50g	68.25	−42.61	56.0	70.37	127	*y55l*	
j75g	58.73	−57.99	40.99	71.02	145	*y85l*	
p00b	55.66	−58.35	18.71	61.27	162	*l12c*	
p25b	58.18	−46.2	−7.82	46.86	190	*l45c*	
p50b	60.08	−37.02	−27.87	46.34	217	*l78c*	
p75b	55.21	−20.63	−42.98	47.67	244	*c16lv*	
b00r	41.38	1.37	−45.05	45.07	272	*c58lv*	
b25r	26.43	27.03	−46.5	53.78	300	*v03m*	
b50r	36.22	48.22	−29.42	56.48	329	*v54m*	
b75r	47.81	72.75	−3.76	72.85	357	*m10o*	

%Umfang u^*_{rel} = 87
%Regularität $g^*_{R,rel}$ = 67
$g^*_{R,Cel}$ = 59

Ein und Ausgabe: Farbmetrisches Drucker-Reflektiv-System ORS20_95, L*=20_95 für relativen CIELAB-Buntton $h^* = lab^*h^* = h_{ab}/360 = 0.164$ $u^*_R = r50j$

Daten für jede Farbe:
*lab*ch* und lab*icu**
Buntkontexte:
u^*_R **=** *r50j* u^*_R **=** *o42y*
Kontrastreduzierungsfaktor:
c_R **= 1.0**
Dreiecks-Helligkeit *t**

Daten für Maximalfarbe (Ma):
*LAB*LAB**Ma: 64 36 59
*LAB*LCH**Ma: 64 69 58
*lab*rgb**Ma: 1.0 0.5 0.0
*lab*oIv**Ma: 1.0 0.42 0.0
Dreiecks-Helligkeit *t**

ORS20_95a; adaptierte CIELAB-Daten

	u^*_R	$L^*=L^*$	a^*	b^*	C^*_{ab}	h^*_{ab}	u^*_R
r00j	47.06	67.41	32.12	74.67	25	*m84o*	
r25j	53.95	53.38	48.38	72.04	42	*o17y*	
r50j	63.6	35.87	59.45	69.43	59	*o42y*	
r75j	73.37	18.14	70.66	72.95	76	*o68y*	
j00g	85.24	−3.4	84.28	84.35	92	*o93y*	
j25g	78.53	−25.99	72.23	76.76	110	*y24l*	
j50g	68.25	−42.61	56.0	70.37	127	*y55l*	
j75g	58.73	−57.99	40.99	71.02	145	*y85l*	
p00b	55.66	−58.35	18.71	61.27	162	*l12c*	
p25b	58.18	−46.2	−7.82	46.86	190	*l45c*	
p50b	60.08	−37.02	−27.87	46.34	217	*l78c*	
p75b	55.21	−20.63	−42.98	47.67	244	*c16lv*	
b00r	41.38	1.37	−45.05	45.07	272	*c58lv*	
b25r	26.43	27.03	−46.5	53.78	300	*v03m*	
b50r	36.22	48.22	−29.42	56.48	329	*v54m*	
b75r	47.81	72.75	−3.76	72.85	357	*m10o*	

%Umfang u^*_{rel} = 87
%Regularität $g^*_{R,rel}$ = 67
$g^*_{R,Cel}$ = 59

Ein und Ausgabe: Farbmetrisches Drucker-Reflektiv-System ORS20_95, L*=20_95 für relativen CIELAB-Buntton $h^* = lab^*h^* = h_{ab}/360 = 0.21$ $u^*_R = r75j$

Daten für jede Farbe:
*lab*ch* und lab*icu**
Buntkontexte:
u^*_R **=** *r75j* u^*_R **=** *o68y*
Kontrastreduzierungsfaktor:
c_R **= 1.0**
Dreiecks-Helligkeit *t**

Daten für Maximalfarbe (Ma):
*LAB*LAB**Ma: 73 18 71
*LAB*LCH**Ma: 73 73 75
*lab*rgb**Ma: 1.0 0.75 0.0
*lab*oIv**Ma: 1.0 0.68 0.0
Dreiecks-Helligkeit *t**

ORS20_95a; adaptierte CIELAB-Daten

	u^*_R	$L^*=L^*$	a^*	b^*	C^*_{ab}	h^*_{ab}	u^*_R
r00j	47.06	67.41	32.12	74.67	25	*m84o*	
r25j	53.95	53.38	48.38	72.04	42	*o17y*	
r50j	63.6	35.87	59.45	69.43	59	*o42y*	
r75j	73.37	18.14	70.66	72.95	76	*o68y*	
j00g	85.24	−3.4	84.28	84.35	92	*o93y*	
j25g	78.53	−25.99	72.23	76.76	110	*y24l*	
j50g	68.25	−42.61	56.0	70.37	127	*y55l*	
j75g	58.73	−57.99	40.99	71.02	145	*y85l*	
p00b	55.66	−58.35	18.71	61.27	162	*l12c*	
p25b	58.18	−46.2	−7.82	46.86	190	*l45c*	
p50b	60.08	−37.02	−27.87	46.34	217	*l78c*	
p75b	55.21	−20.63	−42.98	47.67	244	*c16lv*	
b00r	41.38	1.37	−45.05	45.07	272	*c58lv*	
b25r	26.43	27.03	−46.5	53.78	300	*v03m*	
b50r	36.22	48.22	−29.42	56.48	329	*v54m*	
b75r	47.81	72.75	−3.76	72.85	357	*m10o*	

%Umfang u^*_{rel} = 87
%Regularität $g^*_{R,rel}$ = 67
$g^*_{R,Cel}$ = 59

Ein und Ausgabe: Farbmetrisches Drucker-Reflektiv-System ORS20_95, L*=20_95 für relativen CIELAB-Buntton $h^* = lab^*h^* = h_{ab}/360 = 0.256$ $u^*_R = j00g$

Daten für jede Farbe:
*lab*ch* und lab*icu**
Buntkontexte:
u^*_R **=** *j00g* u^*_R **=** *o93y*
Kontrastreduzierungsfaktor:
c_R **= 1.0**
Dreiecks-Helligkeit *t**

Daten für Maximalfarbe (Ma):
*LAB*LAB**Ma: 85 −3 84
*LAB*LCH**Ma: 85 84 92
*lab*rgb**Ma: 1.0 1.0 0.0
*lab*oIv**Ma: 1.0 0.94 0.0
Dreiecks-Helligkeit *t**

ORS20_95a; adaptierte CIELAB-Daten

	u^*_R	$L^*=L^*$	a^*	b^*	C^*_{ab}	h^*_{ab}	u^*_R
r00j	47.06	67.41	32.12	74.67	25	*m84o*	
r25j	53.95	53.38	48.38	72.04	42	*o17y*	
r50j	63.6	35.87	59.45	69.43	59	*o42y*	
r75j	73.37	18.14	70.66	72.95	76	*o68y*	
j00g	85.24	−3.4	84.28	84.35	92	*o93y*	
j25g	78.53	−25.99	72.23	76.76	110	*y24l*	
j50g	68.25	−42.61	56.0	70.37	127	*y55l*	
j75g	58.73	−57.99	40.99	71.02	145	*y85l*	
p00b	55.66	−58.35	18.71	61.27	162	*l12c*	
p25b	58.18	−46.2	−7.82	46.86	190	*l45c*	
p50b	60.08	−37.02	−27.87	46.34	217	*l78c*	
p75b	55.21	−20.63	−42.98	47.67	244	*c16lv*	
b00r	41.38	1.37	−45.05	45.07	272	*c58lv*	
b25r	26.43	27.03	−46.5	53.78	300	*v03m*	
b50r	36.22	48.22	−29.42	56.48	329	*v54m*	
b75r	47.81	72.75	−3.76	72.85	357	*m10o*	

%Umfang u^*_{rel} = 87
%Regularität $g^*_{R,rel}$ = 67
$g^*_{R,Cel}$ = 59

Ein und Ausgabe: Farbmetrisches Drucker-Reflektiv-System ORS20_95, L*=20_95 für relativen CIELAB-Buntton $h^* = lab^*h^* = h_{ab}/360 = 0.305$ $u^*_R = j25g$

Daten für jede Farbe:
*lab*ch* und lab*icu**
Buntkontexte:
u^*_R **=** *j25g* u^*_R **=** *y24l*
Kontrastreduzierungsfaktor:
c_R **= 1.0**
Dreiecks-Helligkeit *t**

Daten für Maximalfarbe (Ma):
*LAB*LAB**Ma: 79 −26 72
*LAB*LCH**Ma: 79 77 109
*lab*rgb**Ma: 0.75 1.0 0.0
*lab*oIv**Ma: 0.76 1.0 0.0
Dreiecks-Helligkeit *t**

ORS20_95a; adaptierte CIELAB-Daten

	u^*_R	$L^*=L^*$	a^*	b^*	C^*_{ab}	h^*_{ab}	u^*_R
r00j	47.06	67.41	32.12	74.67	25	*m84o*	
r25j	53.95	53.38	48.38	72.04	42	*o17y*	
r50j	63.6	35.87	59.45	69.43	59	*o42y*	
r75j	73.37	18.14	70.66	72.95	76	*o68y*	
j00g	85.24	−3.4	84.28	84.35	92	*o93y*	
j25g	78.53	−25.99	72.23	76.76	110	*y24l*	
j50g	68.25	−42.61	56.0	70.37	127	*y55l*	
j75g	58.73	−57.99	40.99	71.02	145	*y85l*	
p00b	55.66	−58.35	18.71	61.27	162	*l12c*	
p25b	58.18	−46.2	−7.82	46.86	190	*l45c*	
p50b	60.08	−37.02	−27.87	46.34	217	*l78c*	
p75b	55.21	−20.63	−42.98	47.67	244	*c16lv*	
b00r	41.38	1.37	−45.05	45.07	272	*c58lv*	
b25r	26.43	27.03	−46.5	53.78	300	*v03m*	
b50r	36.22	48.22	−29.42	56.48	329	*v54m*	
b75r	47.81	72.75	−3.76	72.85	357	*m10o*	

%Umfang u^*_{rel} = 87
%Regularität $g^*_{R,rel}$ = 67
$g^*_{R,Cel}$ = 59

Ein und Ausgabe: Farbmetrisches Drucker-Reflektiv-System ORS20_95, L*=20_95 für relativen CIELAB-Buntton $h^* = lab^*h^* = h_{ab}/360 = 0.354$ $u^*_R = j50g$

Daten für jede Farbe:
*lab*ch* und lab*icu**
Buntkontexte:
u^*_R **=** *j50g* u^*_R **=** *y55l*
Kontrastreduzierungsfaktor:
c_R **= 1.0**
Dreiecks-Helligkeit *t**

Daten für Maximalfarbe (Ma):
*LAB*LAB**Ma: 68 −43 56
*LAB*LCH**Ma: 68 70 127
*lab*rgb**Ma: 0.5 1.0 0.0
*lab*oIv**Ma: 0.45 1.0 0.0
Dreiecks-Helligkeit *t**

ORS20_95a; adaptierte CIELAB-Daten

	u^*_R	$L^*=L^*$	a^*	b^*	C^*_{ab}	h^*_{ab}	u^*_R
r00j	47.06	67.41	32.12	74.67	25	*m84o*	
r25j	53.95	53.38	48.38	72.04	42	*o17y*	
r50j	63.6	35.87	59.45	69.43	59	*o42y*	
r75j	73.37	18.14	70.66	72.95	76	*o68y*	
j00g	85.24	−3.4	84.28	84.35	92	*o93y*	
j25g	78.53	−25.99	72.23	76.76	110	*y24l*	
j50g	68.25	−42.61	56.0	70.37	127	*y55l*	
j75g	58.73	−57.99	40.99	71.02	145	*y85l*	
p00b	55.66	−58.35	18.71	61.27	162	*l12c*	
p25b	58.18	−46.2	−7.82	46.86	190	*l45c*	
p50b	60.08	−37.02	−27.87	46.34	217	*l78c*	
p75b	55.21	−20.63	−42.98	47.67	244	*c16lv*	
b00r	41.38	1.37	−45.05	45.07	272	*c58lv*	
b25r	26.43	27.03	−46.5	53.78	300	*v03m*	
b50r	36.22	48.22	−29.42	56.48	329	*v54m*	
b75r	47.81	72.75	−3.76	72.85	357	*m10o*	

%Umfang u^*_{rel} = 87
%Regularität $g^*_{R,rel}$ = 67
$g^*_{R,Cel}$ = 59

Ein und Ausgabe: Farbmetrisches Drucker-Reflektiv-System ORS20_95, L*=20_95 für relativen CIELAB-Buntton $h^* = lab^*h^* = h_{ab}/360 = 0.402$ $u^*_R = j75g$

Daten für jede Farbe:
*lab*ch* und lab*icu**
Buntkontexte:
u^*_R **=** *j75g* u^*_R **=** *y85l*
Kontrastreduzierungsfaktor:
c_R **= 1.0**
Dreiecks-Helligkeit *t**

Daten für Maximalfarbe (Ma):
*LAB*LAB**Ma: 59 −58 41
*LAB*LCH**Ma: 59 71 144
*lab*rgb**Ma: 0.25 1.0 0.0
*lab*oIv**Ma: 0.14 1.0 0.0
Dreiecks-Helligkeit *t**

ORS20_95a; adaptierte CIELAB-Daten

	u^*_R	$L^*=L^*$	a^*	b^*	C^*_{ab}	h^*_{ab}	u^*_R
r00j	47.06	67.41	32.12	74.67	25	*m84o*	
r25j	53.95	53.38	48.38	72.04	42	*o17y*	
r50j	63.6	35.87	59.45	69.43	59	*o42y*	
r75j	73.37	18.14	70.66	72.95	76	*o68y*	
j00g	85.24	−3.4	84.28	84.35	92	*o93y*	
j25g	78.53	−25.99	72.23	76.76	110	*y24l*	
j50g	68.25	−42.61	56.0	70.37	127	*y55l*	
j75g	58.73	−57.99	40.99	71.02	145	*y85l*	
p00b	55.66	−58.35	18.71	61.27	162	*l12c*	
p25b	58.18	−46.2	−7.82	46.86	190	*l45c*	
p50b	60.08	−37.02	−27.87	46.34	217	*l78c*	
p75b	55.21	−20.63	−42.98	47.67	244	*c16lv*	
b00r	41.38	1.37	−45.05	45.07	272	*c58lv*	
b25r	26.43	27.03	−46.5	53.78	300	*v03m*	
b50r	36.22	48.22	−29.42	56.48	329	*v54m*	
b75r	47.81	72.75	−3.76	72.85	357	*m10o*	

%Umfang u^*_{rel} = 87
%Regularität $g^*_{R,rel}$ = 67
$g^*_{R,Cel}$ = 59

Ein und Ausgabe:
Farbmetrisches Drucker-Reflektiv-System ORS20_95a
Daten für jede Farbe:
u^*_a **und Nummer** *Nr.* **= 00 .. 15**
Elementar-Buntkontext:
u^*_a **= 16 Buntteone** *r00j, r25j, ..., b75r*
Kontrastreduzierungsfaktor:
c_R **= 1.0**

ORS20_95a; adaptierte CIELAB-Daten

	u^*_a	$L^*=L^*_a$	a^*_a	b^*_a	$C^*_{ab,a}$	$h^*_{ab,a}$	u^*_E	
r00j	47.06	67.41	32.12	74.67	25	*m84o*		
r25j	53.95	53.38	48.38	72.04	42	*o17y*		
r50j	63.6	35.87	59.45	69.43	59	*o42y*		
r75j	73.37	18.14	70.66	72.95	76	*o68y*		
j00g	85.24	−3.4	84.28	84.35	92	*o93y*		
j25g	78.53	−25.99	72.23	76.76	110	*y24l*		
j50g	68.25	−42.61	56.0	70.37	127	*y55l*		
j75g	58.73	−57.99	40.99	71.02	145	*y85l*		
b00b	55.66	−58.35	18.71	61.27	162	*l12c*		
b25b	58.18	−46.2	−7.82	46.86	190	*l45c*		
b50b	60.08	−37.02	−27.87	46.34	217	*l78c*		
b75b	55.21	−20.63	−42.98	47.67	244	*c16v*		
b00r	41.38	1.37	−45.05	45.07	272	*c58v*		
b25r	26.43	27.03	−46.5	53.78	300	*v03m*		
b50r	36.22	48.22	−29.42	56.48	329	*v54m*		
b75r	47.81	72.75	−3.76	72.85	357	*m10o*		

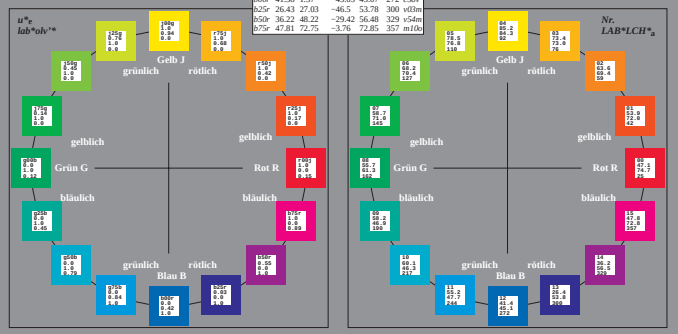

ORS20_95a; CIELAB-Daten

Name	$L^*=L^*_a$	a^*_a	b^*_a	$C^*_{ab,a}$	$h^*_{ab,a}$
O_M	46.89	66.08	41.48	78.02	32
Y_M	88.66	−10.34	90.28	90.87	97
L_M	54.22	−65.51	35.22	74.38	152
C_M	61.43	−30.85	−40.54	50.94	233
V_M	25.93	26.15	−46.61	53.44	299
M_M	47.92	73.41	−7.8	73.82	354
N_M	20.41	0.28	0.64	0.7	66
W_M	94.64	−0.81	2.2	2.34	110
R_M	39.92	58.74	27.99	65.07	25
G_M	81.26	−2.89	71.56	71.62	92
B_{CIE}	30.57	1.41	−46.47	46.49	272

Ein und Ausgabe: Farbmetrisches Drucker-Reflektiv-System ORS20_95, L*=20_95 für relativen CIELAB-Buntton $h^* = lab^*h^* = h_{ab}/360 = 0.071$ $u^*_E = r00j$ *lab*olv'**

Daten für jede Farbe:
*lab*ch** **und** *lab*icu**
Buntkontexte:
u^*_a **=** *r00j* u^*_d **=** *m84o*
Kontrastreduzierungsfaktor:
c_R **= 1.0**
Dreiecks-Helligkeit *t**

Daten für Maximalfarbe (Ma):
*LAB*LAB**$_{Ma}$: 47 67 32
*LAB*LCH**$_{Ma}$: 47 75 25
*lab*rgb**$_{Ma}$: 1.0 0.0 0.0
*lab*olv'**$_{Ma}$: 1.0 0.0 0.15
Dreiecks-Helligkeit *t**

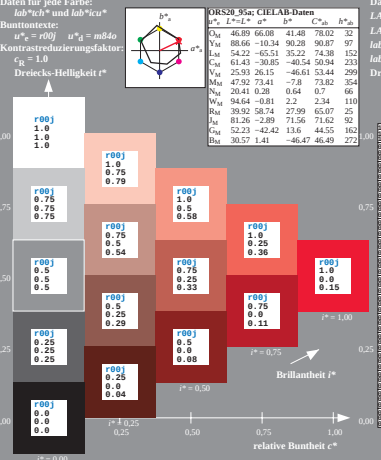

ORS20_95a; adaptierte CIELAB-Daten

	u^*_a	$L^*=L^*_a$	a^*_a	b^*_a	$C^*_{ab,a}$	$h^*_{ab,a}$	u^*_E
r00j	47.06	67.41	32.12	74.67	25	*m84o*	
r25j	53.95	53.38	48.38	72.04	42	*o17y*	
r50j	63.6	35.87	59.45	69.43	59	*o42y*	
r75j	73.37	18.14	70.66	72.95	76	*o68y*	
j00g	85.24	−3.4	84.28	84.35	92	*o93y*	
j25g	78.53	−25.99	72.23	76.76	110	*y24l*	
j50g	68.25	−42.61	56.0	70.37	127	*y55l*	
j75g	58.73	−57.99	40.99	71.02	145	*y85l*	
b00b	55.66	−58.35	18.71	61.27	162	*l12c*	
b25b	58.18	−46.2	−7.82	46.86	190	*l45c*	
b50b	60.08	−37.02	−27.87	46.34	217	*l78c*	
b75b	55.21	−20.63	−42.98	47.67	244	*c16v*	
b00r	41.38	1.37	−45.05	45.07	272	*c58v*	
b25r	26.43	27.03	−46.5	53.78	300	*v03m*	
b50r	36.22	48.22	−29.42	56.48	329	*v54m*	
b75r	47.81	72.75	−3.76	72.85	357	*m10o*	

Ein und Ausgabe: Farbmetrisches Drucker-Reflektiv-System ORS20_95, L*=20_95 für relativen CIELAB-Buntton $h^* = lab^*h^* = h_{ab}/360 = 0.117$ $u^*_E = r25j$ *lab*olv'**

Daten für jede Farbe:
*lab*ch** **und** *lab*icu**
Buntkontexte:
u^*_a **=** *r25j* u^*_d **=** *o17y*
Kontrastreduzierungsfaktor:
c_R **= 1.0**
Dreiecks-Helligkeit *t**

Daten für Maximalfarbe (Ma):
*LAB*LAB**$_{Ma}$: 54 53 48
*LAB*LCH**$_{Ma}$: 54 72 42
*lab*rgb**$_{Ma}$: 1.0 0.25 0.0
*lab*olv'**$_{Ma}$: 1.0 0.17 0.0
Dreiecks-Helligkeit *t**

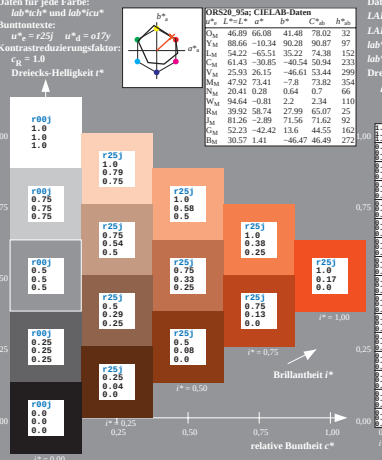

ORS20_95a; adaptierte CIELAB-Daten

	u^*_a	$L^*=L^*_a$	a^*_a	b^*_a	$C^*_{ab,a}$	$h^*_{ab,a}$	u^*_E
r00j	47.06	67.41	32.12	74.67	25	*m84o*	
r25j	53.95	53.38	48.38	72.04	42	*o17y*	
r50j	63.6	35.87	59.45	69.43	59	*o42y*	
r75j	73.37	18.14	70.66	72.95	76	*o68y*	
j00g	85.24	−3.4	84.28	84.35	92	*o93y*	
j25g	78.53	−25.99	72.23	76.76	110	*y24l*	
j50g	68.25	−42.61	56.0	70.37	127	*y55l*	
j75g	58.73	−57.99	40.99	71.02	145	*y85l*	
b00b	55.66	−58.35	18.71	61.27	162	*l12c*	
b25b	58.18	−46.2	−7.82	46.86	190	*l45c*	
b50b	60.08	−37.02	−27.87	46.34	217	*l78c*	
b75b	55.21	−20.63	−42.98	47.67	244	*c16v*	
b00r	41.38	1.37	−45.05	45.07	272	*c58v*	
b25r	26.43	27.03	−46.5	53.78	300	*v03m*	
b50r	36.22	48.22	−29.42	56.48	329	*v54m*	
b75r	47.81	72.75	−3.76	72.85	357	*m10o*	

Ein und Ausgabe: Farbmetrisches Drucker-Reflektiv-System ORS20_95, L*=20_95 für relativen CIELAB-Buntton $h^* = lab^*h^* = h_{ab}/360 = 0.164$ $u^*_E = r50j$ *lab*olv'**

Daten für jede Farbe:
*lab*ch** **und** *lab*icu**
Buntkontexte:
u^*_a **=** *r50j* u^*_d **=** *o42y*
Kontrastreduzierungsfaktor:
c_R **= 1.0**
Dreiecks-Helligkeit *t**

Daten für Maximalfarbe (Ma):
*LAB*LAB**$_{Ma}$: 64 36 59
*LAB*LCH**$_{Ma}$: 64 69 58
*lab*rgb**$_{Ma}$: 1.0 0.5 0.0
*lab*olv'**$_{Ma}$: 1.0 0.42 0.0
Dreiecks-Helligkeit *t**

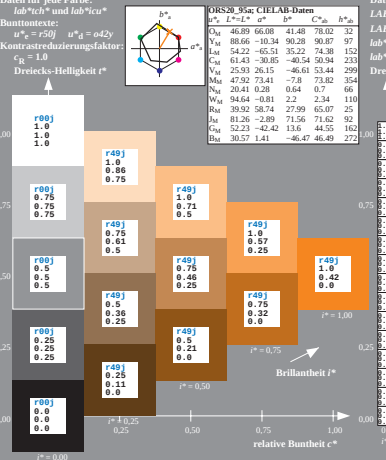

ORS20_95a; adaptierte CIELAB-Daten

	u^*_a	$L^*=L^*_a$	a^*_a	b^*_a	$C^*_{ab,a}$	$h^*_{ab,a}$	u^*_E
r00j	47.06	67.41	32.12	74.67	25	*m84o*	
r25j	53.95	53.38	48.38	72.04	42	*o17y*	
r50j	63.6	35.87	59.45	69.43	59	*o42y*	
r75j	73.37	18.14	70.66	72.95	76	*o68y*	
j00g	85.24	−3.4	84.28	84.35	92	*o93y*	
j25g	78.53	−25.99	72.23	76.76	110	*y24l*	
j50g	68.25	−42.61	56.0	70.37	127	*y55l*	
j75g	58.73	−57.99	40.99	71.02	145	*y85l*	
b00b	55.66	−58.35	18.71	61.27	162	*l12c*	
b25b	58.18	−46.2	−7.82	46.86	190	*l45c*	
b50b	60.08	−37.02	−27.87	46.34	217	*l78c*	
b75b	55.21	−20.63	−42.98	47.67	244	*c16v*	
b00r	41.38	1.37	−45.05	45.07	272	*c58v*	
b25r	26.43	27.03	−46.5	53.78	300	*v03m*	
b50r	36.22	48.22	−29.42	56.48	329	*v54m*	
b75r	47.81	72.75	−3.76	72.85	357	*m10o*	

Ein und Ausgabe: Farbmetrisches Drucker-Reflektiv-System ORS20_95, L*=20_95 für relativen CIELAB-Buntton $h^* = lab^*h^* = h_{ab}/360 = 0.21$ $u^*_E = r75j$ *lab*olv'**

Daten für jede Farbe:
*lab*ch** **und** *lab*icu**
Buntkontexte:
u^*_a **=** *r75j* u^*_d **=** *o68y*
Kontrastreduzierungsfaktor:
c_R **= 1.0**
Dreiecks-Helligkeit *t**

Daten für Maximalfarbe (Ma):
*LAB*LAB**$_{Ma}$: 73 18 71
*LAB*LCH**$_{Ma}$: 73 73 75
*lab*rgb**$_{Ma}$: 1.0 0.75 0.0
*lab*olv'**$_{Ma}$: 1.0 0.68 0.0
Dreiecks-Helligkeit *t**

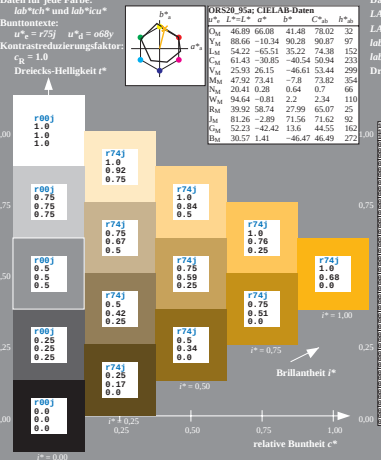

ORS20_95a; adaptierte CIELAB-Daten

	u^*_a	$L^*=L^*_a$	a^*_a	b^*_a	$C^*_{ab,a}$	$h^*_{ab,a}$	u^*_E
r00j	47.06	67.41	32.12	74.67	25	*m84o*	
r25j	53.95	53.38	48.38	72.04	42	*o17y*	
r50j	63.6	35.87	59.45	69.43	59	*o42y*	
r75j	73.37	18.14	70.66	72.95	76	*o68y*	
j00g	85.24	−3.4	84.28	84.35	92	*o93y*	
j25g	78.53	−25.99	72.23	76.76	110	*y24l*	
j50g	68.25	−42.61	56.0	70.37	127	*y55l*	
j75g	58.73	−57.99	40.99	71.02	145	*y85l*	
b00b	55.66	−58.35	18.71	61.27	162	*l12c*	
b25b	58.18	−46.2	−7.82	46.86	190	*l45c*	
b50b	60.08	−37.02	−27.87	46.34	217	*l78c*	
b75b	55.21	−20.63	−42.98	47.67	244	*c16v*	
b00r	41.38	1.37	−45.05	45.07	272	*c58v*	
b25r	26.43	27.03	−46.5	53.78	300	*v03m*	
b50r	36.22	48.22	−29.42	56.48	329	*v54m*	
b75r	47.81	72.75	−3.76	72.85	357	*m10o*	

Ein und Ausgabe: Farbmetrisches Drucker-Reflektiv-System ORS20_95, L*=20_95 für relativen CIELAB-Buntton $h^* = lab^*h^* = h_{ab}/360 = 0.256$ $u^*_E = j00g$ *lab*olv'**

Daten für jede Farbe:
*lab*ch** **und** *lab*icu**
Buntkontexte:
u^*_a **=** *j00g* u^*_d **=** *o93y*
Kontrastreduzierungsfaktor:
c_R **= 1.0**
Dreiecks-Helligkeit *t**

Daten für Maximalfarbe (Ma):
*LAB*LAB**$_{Ma}$: 85 −3 84
*LAB*LCH**$_{Ma}$: 85 84 92
*lab*rgb**$_{Ma}$: 1.0 1.0 0.0
*lab*olv'**$_{Ma}$: 1.0 0.94 0.0
Dreiecks-Helligkeit *t**

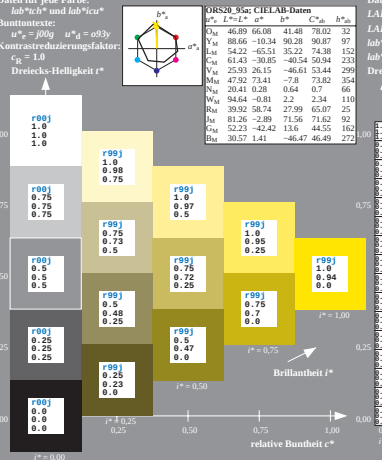

ORS20_95a; adaptierte CIELAB-Daten

	u^*_a	$L^*=L^*_a$	a^*_a	b^*_a	$C^*_{ab,a}$	$h^*_{ab,a}$	u^*_E
r00j	47.06	67.41	32.12	74.67	25	*m84o*	
r25j	53.95	53.38	48.38	72.04	42	*o17y*	
r50j	63.6	35.87	59.45	69.43	59	*o42y*	
r75j	73.37	18.14	70.66	72.95	76	*o68y*	
j00g	85.24	−3.4	84.28	84.35	92	*o93y*	
j25g	78.53	−25.99	72.23	76.76	110	*y24l*	
j50g	68.25	−42.61	56.0	70.37	127	*y55l*	
j75g	58.73	−57.99	40.99	71.02	145	*y85l*	
b00b	55.66	−58.35	18.71	61.27	162	*l12c*	
b25b	58.18	−46.2	−7.82	46.86	190	*l45c*	
b50b	60.08	−37.02	−27.87	46.34	217	*l78c*	
b75b	55.21	−20.63	−42.98	47.67	244	*c16v*	
b00r	41.38	1.37	−45.05	45.07	272	*c58v*	
b25r	26.43	27.03	−46.5	53.78	300	*v03m*	
b50r	36.22	48.22	−29.42	56.48	329	*v54m*	
b75r	47.81	72.75	−3.76	72.85	357	*m10o*	

Ein und Ausgabe: Farbmetrisches Drucker-Reflektiv-System ORS20_95, L*=20_95 für relativen CIELAB-Buntton $h^* = lab^*h^* = h_{ab}/360 = 0.305$ $u^*_E = j25g$ *lab*olv'**

Daten für jede Farbe:
*lab*ch** **und** *lab*icu**
Buntkontexte:
u^*_a **=** *j25g* u^*_d **=** *y24l*
Kontrastreduzierungsfaktor:
c_R **= 1.0**
Dreiecks-Helligkeit *t**

Daten für Maximalfarbe (Ma):
*LAB*LAB**$_{Ma}$: 79 −26 72
*LAB*LCH**$_{Ma}$: 79 77 109
*lab*rgb**$_{Ma}$: 0.75 1.0 0.0
*lab*olv'**$_{Ma}$: 0.76 1.0 0.0
Dreiecks-Helligkeit *t**

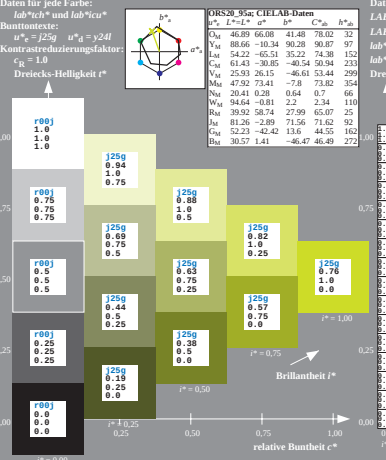

ORS20_95a; adaptierte CIELAB-Daten

	u^*_a	$L^*=L^*_a$	a^*_a	b^*_a	$C^*_{ab,a}$	$h^*_{ab,a}$	u^*_E
r00j	47.06	67.41	32.12	74.67	25	*m84o*	
r25j	53.95	53.38	48.38	72.04	42	*o17y*	
r50j	63.6	35.87	59.45	69.43	59	*o42y*	
r75j	73.37	18.14	70.66	72.95	76	*o68y*	
j00g	85.24	−3.4	84.28	84.35	92	*o93y*	
j25g	78.53	−25.99	72.23	76.76	110	*y24l*	
j50g	68.25	−42.61	56.0	70.37	127	*y55l*	
j75g	58.73	−57.99	40.99	71.02	145	*y85l*	
b00b	55.66	−58.35	18.71	61.27	162	*l12c*	
b25b	58.18	−46.2	−7.82	46.86	190	*l45c*	
b50b	60.08	−37.02	−27.87	46.34	217	*l78c*	
b75b	55.21	−20.63	−42.98	47.67	244	*c16v*	
b00r	41.38	1.37	−45.05	45.07	272	*c58v*	
b25r	26.43	27.03	−46.5	53.78	300	*v03m*	
b50r	36.22	48.22	−29.42	56.48	329	*v54m*	
b75r	47.81	72.75	−3.76	72.85	357	*m10o*	

Ein und Ausgabe: Farbmetrisches Drucker-Reflektiv-System ORS20_95, L*=20_95 für relativen CIELAB-Buntton $h^* = lab^*h^* = h_{ab}/360 = 0.354$ $u^*_E = j50g$ *lab*olv'**

Daten für jede Farbe:
*lab*ch** **und** *lab*icu**
Buntkontexte:
u^*_a **=** *j50g* u^*_d **=** *y55l*
Kontrastreduzierungsfaktor:
c_R **= 1.0**
Dreiecks-Helligkeit *t**

Daten für Maximalfarbe (Ma):
*LAB*LAB**$_{Ma}$: 68 −43 56
*LAB*LCH**$_{Ma}$: 68 70 127
*lab*rgb**$_{Ma}$: 0.5 1.0 0.0
*lab*olv'**$_{Ma}$: 0.45 1.0 0.0
Dreiecks-Helligkeit *t**

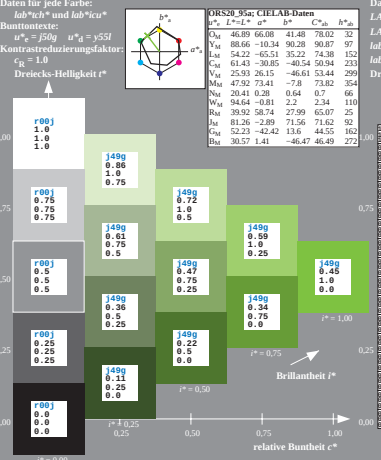

ORS20_95a; adaptierte CIELAB-Daten

	u^*_a	$L^*=L^*_a$	a^*_a	b^*_a	$C^*_{ab,a}$	$h^*_{ab,a}$	u^*_E
r00j	47.06	67.41	32.12	74.67	25	*m84o*	
r25j	53.95	53.38	48.38	72.04	42	*o17y*	
r50j	63.6	35.87	59.45	69.43	59	*o42y*	
r75j	73.37	18.14	70.66	72.95	76	*o68y*	
j00g	85.24	−3.4	84.28	84.35	92	*o93y*	
j25g	78.53	−25.99	72.23	76.76	110	*y24l*	
j50g	68.25	−42.61	56.0	70.37	127	*y55l*	
j75g	58.73	−57.99	40.99	71.02	145	*y85l*	
b00b	55.66	−58.35	18.71	61.27	162	*l12c*	
b25b	58.18	−46.2	−7.82	46.86	190	*l45c*	
b50b	60.08	−37.02	−27.87	46.34	217	*l78c*	
b75b	55.21	−20.63	−42.98	47.67	244	*c16v*	
b00r	41.38	1.37	−45.05	45.07	272	*c58v*	
b25r	26.43	27.03	−46.5	53.78	300	*v03m*	
b50r	36.22	48.22	−29.42	56.48	329	*v54m*	
b75r	47.81	72.75	−3.76	72.85	357	*m10o*	

Ein und Ausgabe: Farbmetrisches Drucker-Reflektiv-System ORS20_95, L*=20_95 für relativen CIELAB-Buntton $h^* = lab^*h^* = h_{ab}/360 = 0.402$ $u^*_E = j75g$ *lab*olv'**

Daten für jede Farbe:
*lab*ch** **und** *lab*icu**
Buntkontexte:
u^*_a **=** *j75g* u^*_d **=** *y85l*
Kontrastreduzierungsfaktor:
c_R **= 1.0**
Dreiecks-Helligkeit *t**

Daten für Maximalfarbe (Ma):
*LAB*LAB**$_{Ma}$: 59 −58 41
*LAB*LCH**$_{Ma}$: 59 71 144
*lab*rgb**$_{Ma}$: 0.25 1.0 0.0
*lab*olv'**$_{Ma}$: 0.14 1.0 0.0
Dreiecks-Helligkeit *t**

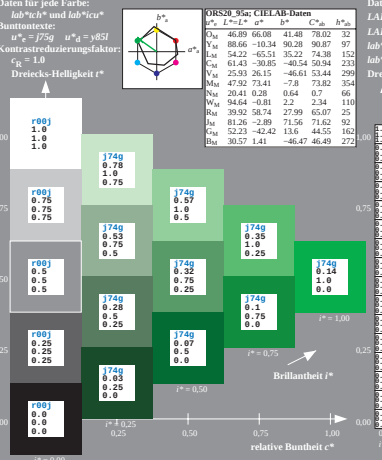

Ein und Ausgabe:
Farbmetrisches Drucker-Reflektiv-System ORS20_95a
Daten für jede Farbe:
u^*_e und Nummer *Nr.* = 00 .. 15
Elementar-Bunttontext:
u^*_e = 16 Bunttoene *r00j, r25j, ..., b75r*
Kontrastreduzierungsfaktor:
c_R = 1.0

ORS20_95a; adaptierte CIELAB-Daten

u^*_e	$L^*=L^*_a$	a^*_a	b^*_a	$C^*_{ab,a}$	$h^*_{ab,a}$	u^*_d
r00j	47.06	67.41	32.12	74.67	25	m84o
r25j	53.95	53.38	48.38	72.04	42	o17y
r50j	63.6	35.87	59.45	69.43	59	o42y
r75j	73.37	18.14	70.66	72.95	76	o68y
j00g	85.24	−3.4	84.28	84.35	92	o93y
j25g	78.53	−25.99	72.23	76.76	110	y24l
j50g	68.25	−42.61	56.0	70.37	127	y55l
j75g	58.73	−57.99	40.99	71.02	145	y85l
g00b	55.66	−58.35	18.71	61.27	162	l12c
g25b	58.18	−46.2	−7.82	46.86	190	l45c
g50b	60.08	−37.02	−27.87	46.34	217	l78c
g75b	55.21	−20.63	−42.98	47.67	244	c16v
b00r	41.38	1.37	−45.05	45.07	272	c58v
b25r	26.43	27.03	−46.5	53.78	300	v03m
b50r	36.22	48.22	−29.42	56.48	329	v54m
b75r	47.81	72.75	−3.76	72.85	357	m10o

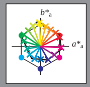

%Umfang
u^*_{rel} = 87
%Regularität
$g^*_{H,rel}$ = 67
$g^*_{C,rel}$ = 59

ORS20_95a; CIELAB-Daten

Name	$L^*=L^*$	a^*	b^*	C^*_{ab}	h^*_{ab}
O_M	46.89	66.08	41.48	78.02	32
Y_M	88.66	−10.34	90.28	90.87	97
L_M	54.22	−65.51	35.22	74.38	152
C_M	61.43	−30.85	−40.54	50.94	233
V_M	25.93	26.15	−46.61	53.44	299
M_M	47.92	73.41	−7.8	73.82	354
N_M	20.41	0.28	0.64	0.7	66
W_M	94.64	−0.81	2.2	2.34	110
R_{CIE}	39.92	58.74	27.99	65.07	25
J_{CIE}	81.26	−2.89	71.56	71.62	92
G_{CIE}	52.23	−42.42	13.6	44.55	162
B_{CIE}	30.57	1.41	−46.47	46.49	272

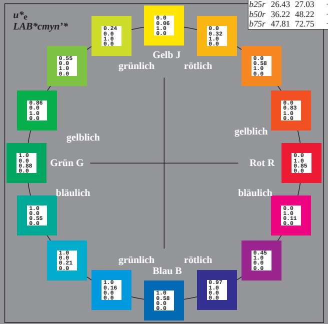

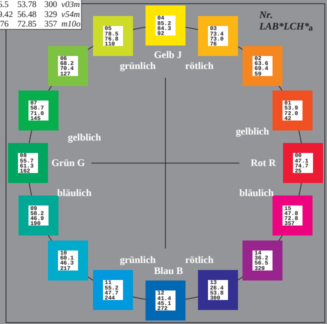

Ein und Ausgabe: Farbmetrisches Drucker-Reflektiv-System ORS20_95, L*=20_95 für relativen CIELAB-Buntton $h^* = lab^*h^* = h_{ab}/360$ = 0.071 u^*_e = *r00j* *LAB*cmyn'**

Daten für jede Farbe:
*lab*tch** und *lab*icu**
Bunttontexte:
u^*_e = *r00j* u^*_d = *m84o*
Kontrastreduzierungsfaktor:
c_R = 1.0
Dreiecks-Helligkeit t*

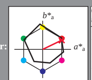

ORS20_95a; CIELAB-Daten

u^*_e	$L^*=L^*$	a^*	b^*	C^*_{ab}	h^*_{ab}
O_M	46.89	66.08	41.48	78.02	32
Y_M	88.66	−10.34	90.28	90.87	97
L_M	54.22	−65.51	35.22	74.38	152
C_M	61.43	−30.85	−40.54	50.94	233
V_M	25.93	26.15	−46.61	53.44	299
M_M	47.92	73.41	−7.8	73.82	354
N_M	20.41	0.28	0.64	0.7	66
W_M	94.64	−0.81	2.2	2.34	110
R_M	39.92	58.74	27.99	65.07	25
J_M	81.26	−2.89	71.56	71.62	92
G_M	52.23	−42.42	13.6	44.55	162
B_M	30.57	1.41	−46.47	46.49	272

Daten für Maximalfarbe (Ma):
*LAB*LAB**Ma: 47 67 32
*LAB*LCH**Ma: 47 75 25
*lab*rgb**Ma: 1.0 0.0 0.0
*lab*olv**Ma: 1.0 0.0 0.15
Dreiecks-Helligkeit t*

%Umfang u^*_{rel} = 87 %Regularität $g^*_{H,rel}$ = 67 $g^*_{C,rel}$ = 59

ORS20_95a; adaptierte CIELAB-Daten

u^*_e	$L^*=L^*_a$	a^*_a	b^*_a	$C^*_{ab,a}$	$h^*_{ab,a}$	u^*_d
r00j	47.06	67.41	32.12	74.67	25	m84o
r25j	53.95	53.38	48.38	72.04	42	o17y
r50j	63.6	35.87	59.45	69.43	59	o42y
r75j	73.37	18.14	70.66	72.95	76	o68y
j00g	85.24	−3.4	84.28	84.35	92	o93y
j25g	78.53	−25.99	72.23	76.76	110	y24l
j50g	68.25	−42.61	56.0	70.37	127	y55l
j75g	58.73	−57.99	40.99	71.02	145	y85l
g00b	55.66	−58.35	18.71	61.27	162	l12c
g25b	58.18	−46.2	−7.82	46.86	190	l45c
g50b	60.08	−37.02	−27.87	46.34	217	l78c
g75b	55.21	−20.63	−42.98	47.67	244	c16v
b00r	41.38	1.37	−45.05	45.07	272	c58v
b25r	26.43	27.03	−46.5	53.78	300	v03m
b50r	36.22	48.22	−29.42	56.48	329	v54m
b75r	47.81	72.75	−3.76	72.85	357	m10o

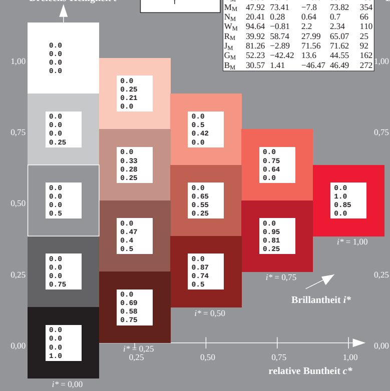

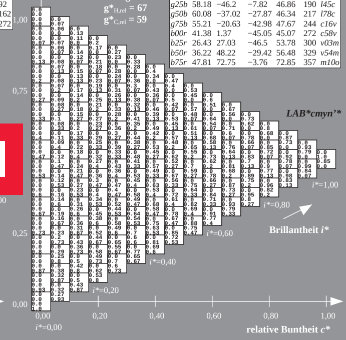

Ein und Ausgabe: Farbmetrisches Drucker-Reflektiv-System ORS20_95, L*=20_95 für relativen CIELAB-Buntton $h^* = lab^*h^* = h_{ab}/360$ = 0.117 u^*_e = *r25j* *LAB*cmyn'**

Daten für jede Farbe:
*lab*tch** und *lab*icu**
Bunttontexte:
u^*_e = *r25j* u^*_d = *o17y*
Kontrastreduzierungsfaktor:
c_R = 1.0
Dreiecks-Helligkeit t*

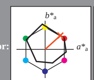

Daten für Maximalfarbe (Ma):
*LAB*LAB**Ma: 54 53 48
*LAB*LCH**Ma: 54 72 42
*lab*rgb**Ma: 1.0 0.25 0.0
*lab*olv**Ma: 1.0 0.17 0.0
Dreiecks-Helligkeit t*

%Umfang u^*_{rel} = 87 %Regularität $g^*_{H,rel}$ = 67 $g^*_{C,rel}$ = 59

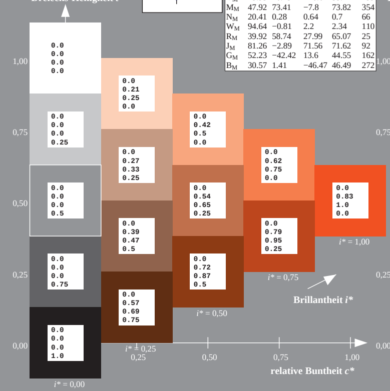

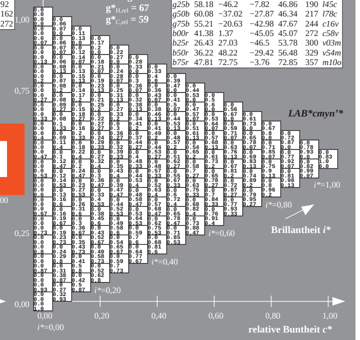

Ein und Ausgabe: Farbmetrisches Drucker-Reflektiv-System ORS20_95, L*=20_95 für relativen CIELAB-Buntton $h^* = lab^*h^* = h_{ab}/360$ = 0.164 u^*_e = *r50j* *LAB*cmyn'**

Daten für jede Farbe:
*lab*tch** und *lab*icu**
Bunttontexte:
u^*_e = *r50j* u^*_d = *o42y*
Kontrastreduzierungsfaktor:
c_R = 1.0
Dreiecks-Helligkeit t*

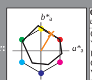

Daten für Maximalfarbe (Ma):
*LAB*LAB**Ma: 64 36 59
*LAB*LCH**Ma: 64 69 58
*lab*rgb**Ma: 1.0 0.5 0.0
*lab*olv**Ma: 1.0 0.42 0.0
Dreiecks-Helligkeit t*

%Umfang u^*_{rel} = 87 %Regularität $g^*_{H,rel}$ = 67 $g^*_{C,rel}$ = 59

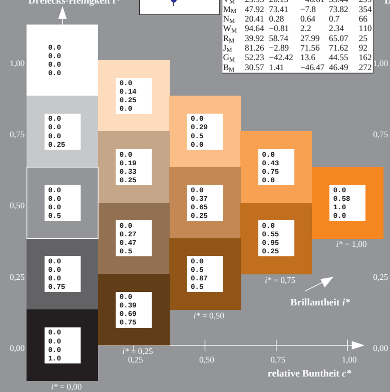

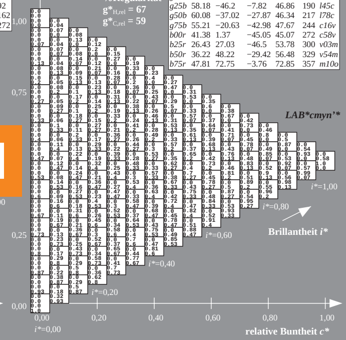

Ein und Ausgabe: Farbmetrisches Drucker-Reflektiv-System ORS20_95, L*=20_95 für relativen CIELAB-Buntton $h^* = lab^*h^* = h_{ab}/360$ = 0.21 u^*_e = *r75j* *LAB*cmyn'**

Daten für jede Farbe:
*lab*tch** und *lab*icu**
Bunttontexte:
u^*_e = *r75j* u^*_d = *o68y*
Kontrastreduzierungsfaktor:
c_R = 1.0
Dreiecks-Helligkeit t*

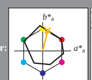

Daten für Maximalfarbe (Ma):
*LAB*LAB**Ma: 73 18 71
*LAB*LCH**Ma: 73 73 75
*lab*rgb**Ma: 1.0 0.75 0.0
*lab*olv**Ma: 1.0 0.68 0.0
Dreiecks-Helligkeit t*

%Umfang u^*_{rel} = 87 %Regularität $g^*_{H,rel}$ = 67 $g^*_{C,rel}$ = 59

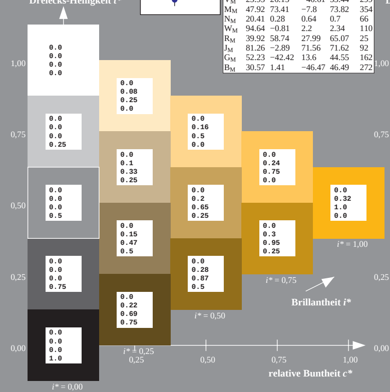

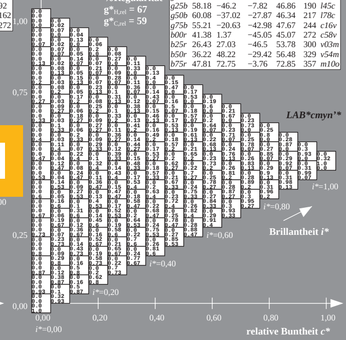

Ein und Ausgabe: Farbmetrisches Drucker-Reflektiv-System ORS20_95, L*=20_95 für relativen CIELAB-Buntton $h^* = lab^*h^* = h_{ab}/360$ = 0.256 u^*_e = *j00g* *LAB*cmyn'**

Daten für jede Farbe:
*lab*tch** und *lab*icu**
Bunttontexte:
u^*_e = *j00g* u^*_d = *o93y*
Kontrastreduzierungsfaktor:
c_R = 1.0
Dreiecks-Helligkeit t*

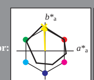

Daten für Maximalfarbe (Ma):
*LAB*LAB**Ma: 85 −3 84
*LAB*LCH**Ma: 85 84 92
*lab*rgb**Ma: 1.0 1.0 0.0
*lab*olv**Ma: 1.0 0.94 0.0
Dreiecks-Helligkeit t*

%Umfang u^*_{rel} = 87 %Regularität $g^*_{H,rel}$ = 67 $g^*_{C,rel}$ = 59

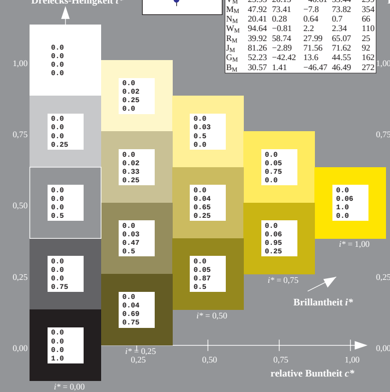

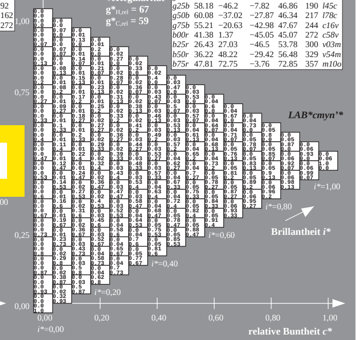

Ein und Ausgabe: Farbmetrisches Drucker-Reflektiv-System ORS20_95, L*=20_95 für relativen CIELAB-Buntton $h^* = lab^*h^* = h_{ab}/360$ = 0.305 u^*_e = *j25g* *LAB*cmyn'**

Daten für jede Farbe:
*lab*tch** und *lab*icu**
Bunttontexte:
u^*_e = *j25g* u^*_d = *y24l*
Kontrastreduzierungsfaktor:
c_R = 1.0
Dreiecks-Helligkeit t*

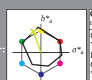

Daten für Maximalfarbe (Ma):
*LAB*LAB**Ma: 79 −26 72
*LAB*LCH**Ma: 79 77 109
*lab*rgb**Ma: 0.75 1.0 0.0
*lab*olv**Ma: 0.76 1.0 0.0
Dreiecks-Helligkeit t*

%Umfang u^*_{rel} = 87 %Regularität $g^*_{H,rel}$ = 67 $g^*_{C,rel}$ = 59

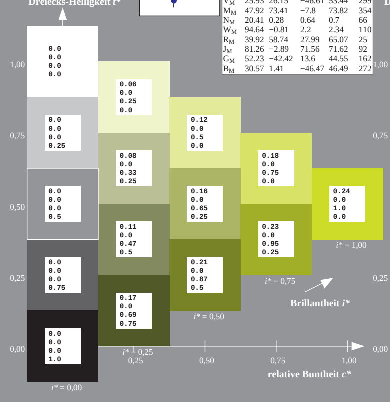

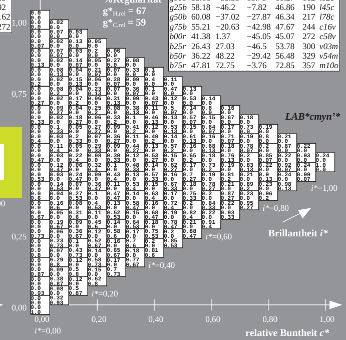

Ein und Ausgabe: Farbmetrisches Drucker-Reflektiv-System ORS20_95, L*=20_95 für relativen CIELAB-Buntton $h^* = lab^*h^* = h_{ab}/360$ = 0.354 u^*_e = *j50g* *LAB*cmyn'**

Daten für jede Farbe:
*lab*tch** und *lab*icu**
Bunttontexte:
u^*_e = *j50g* u^*_d = *y55l*
Kontrastreduzierungsfaktor:
c_R = 1.0
Dreiecks-Helligkeit t*

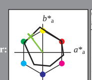

Daten für Maximalfarbe (Ma):
*LAB*LAB**Ma: 68 −43 56
*LAB*LCH**Ma: 68 70 127
*lab*rgb**Ma: 0.5 1.0 0.0
*lab*olv**Ma: 0.45 1.0 0.0
Dreiecks-Helligkeit t*

%Umfang u^*_{rel} = 87 %Regularität $g^*_{H,rel}$ = 67 $g^*_{C,rel}$ = 59

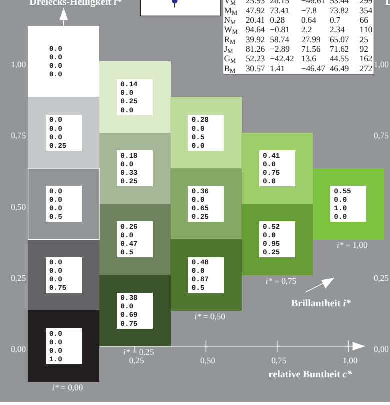

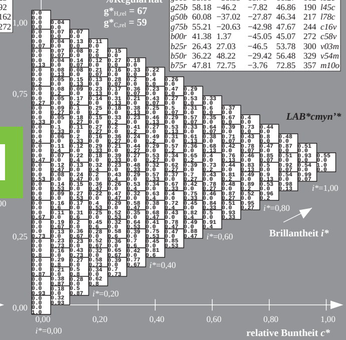

Ein und Ausgabe: Farbmetrisches Drucker-Reflektiv-System ORS20_95, L*=20_95 für relativen CIELAB-Buntton $h^* = lab^*h^* = h_{ab}/360$ = 0.402 u^*_e = *j75g* *LAB*cmyn'**

Daten für jede Farbe:
*lab*tch** und *lab*icu**
Bunttontexte:
u^*_e = *j75g* u^*_d = *y85l*
Kontrastreduzierungsfaktor:
c_R = 1.0
Dreiecks-Helligkeit t*

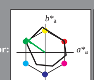

Daten für Maximalfarbe (Ma):
*LAB*LAB**Ma: 59 −58 41
*LAB*LCH**Ma: 59 71 144
*lab*rgb**Ma: 0.25 1.0 0.0
*lab*olv**Ma: 0.14 1.0 0.0
Dreiecks-Helligkeit t*

%Umfang u^*_{rel} = 87 %Regularität $g^*_{H,rel}$ = 67 $g^*_{C,rel}$ = 59